

神奈川県立博物館
研究報告
自然科学24号

神奈川県立生命の星・地球博物館

平成7年3月

目 次

山下浩之・大谷栄治：キンバライトの高温高圧実験：上部マントルにおける流体の化学組成について.....	1
小出良幸：総説：隕石－地球の材料物質としての隕石.....	9
松島義章・川上淳：北海道根室半島の海成沖積層から産出した貝化石の ¹⁴ C年代	39
苅部治紀：インドシナのミナミヤンマ属の覚え書き－6新種および希少種の記載－	47

CONTENTS

YAMASHITA, Hiroyuki & OHTANI, Eiji: High-pressure and High-temperature experiments of Group II kimberlite at 7GPa: Compositions of volatile-rich melts in the upper mantle	1
KOIDE, Yoshiyuki: Review: Meteorites for the Earth's Raw Material	9
MATSUSHIMA, Yoshiyuki & KAWAKAMI, Jun: Radiocarbon Age of the Molluscan Shells from the Holocene Marine Deposits in the Nemuro Peninsula, Eastern Hokkaido	39
KARUBE, Haruki: On the Genus <i>Chlorogomphus</i> (Anisoptera: Chlorogomphidae) of Indochina with Descriptions of Six New Species and Little Known Species	47

キンバライトの高温高圧実験： 上部マントルにおける流体の化学組成について

山下浩之¹⁾・大谷栄治²⁾

1) 神奈川県立博物館・2) 東北大学・理学部

High-pressure and high-temperature experiments of Group II kimberlite at 7GPa : Compositions of volatile-rich melts in the upper mantle

Hiroyuki YAMASHITA¹⁾ & Eiji OHTANI²⁾

1) Kanagawa Prefectural Museum, Naka-ku, Yokohama, Kanagawa 231, Japan

2) Tohoku University, Aoba-ku, Sendai, Miyagi 980, Japan

Abstract. The compositions of melts formed by partial melting of Group II aphanitic kimberlite from The Makganyene mine, South Africa were determined by electron probe micro analyzer (EPMA) and particle induced X-ray emission (PIXE). The experiments were carried out at 7GPa and 900-1450°C by multianvil apparatus. Partial melts were accumulated in the space of diamond powder. The partial melts were characterized by high concentration of H₂O, CO₂ and relatively low SiO₂ and MgO contents and high TiO₂ and LIL elements content compared to the starting material. Highly incompatible elements such as K and Rb tend to concentrate in partial melt. Although Ba has as the same ionic radius as K and Rb, it shows compatible element character. The partial melt compositions are broadly similar to the composition of the fluid inclusion in diamond. The present experiments suggest that the melts characterized by high H₂O, CO₂, K₂O, TiO₂ and LIL content exist in asenosphere and they have close relation to the diamond genesis and the mantle metasomatism.

Key words : kimberlite, mantle fluid, diamond, partial melt, diamond inclusion

はじめに

近年の高圧実験装置の進歩は、マントル鉱物の安定性や結晶構造・密度などの判明を可能にした。特に、マントルを主に構成すると考えられている珪酸塩鉱物については、結晶構造・密度・相転移圧力など詳細な研究がなされている。マントル内における、H₂OやCO₂などの揮発性成分について、MgO-SiO₂-H₂O系やMgO-SiO₂-CO₂系など、2～4成分系で高圧実験がなされており、含水鉱物あるいは炭酸塩鉱物として上部マントルと下部マントル境界付近の圧力まで安定であることがわかっている（例えば Katsura & Ito, 1990 ; Liu, 1986, 1987 ; Kanzaki, 1991 ; Arima & Presnall, 1995など）。地殻やマントルを構成する、玄武岩類やペリドタイトなどについても高圧実験が多数なされているが、これら天然の岩石に揮発性成分を加えた Wetな状

態での高圧実験は少ない。それは、出発物質として揮発性成分の正確なコントロールや実験生成物中の揮発性成分の分析などの問題を抱えているためである。マントル及び地殻内における流体は、マグマの成因に大きな影響を及ぼすほか、元素移動にも大きな影響を及ぼす。Tatsumi et al. (1986) は、スラブ物質組成に数種の微量元素（特にLIL元素）を加え、1～4 GPaの圧力下で生成した流体中への微量元素の移動から、島弧火成活動との関係について論じている。また、Ryabchikov & Boettcher (1980) はフロゴパイト+(カンラン石)組成を出発物質に用いて、圧力1～3GPa、温度1050～1100°Cの範囲で、フロゴパイトの分解によって生じる流体(H₂O)へのK₂Oの溶解度について論じている。

マントル内部に相当する圧力での実験岩石学的研究はあ

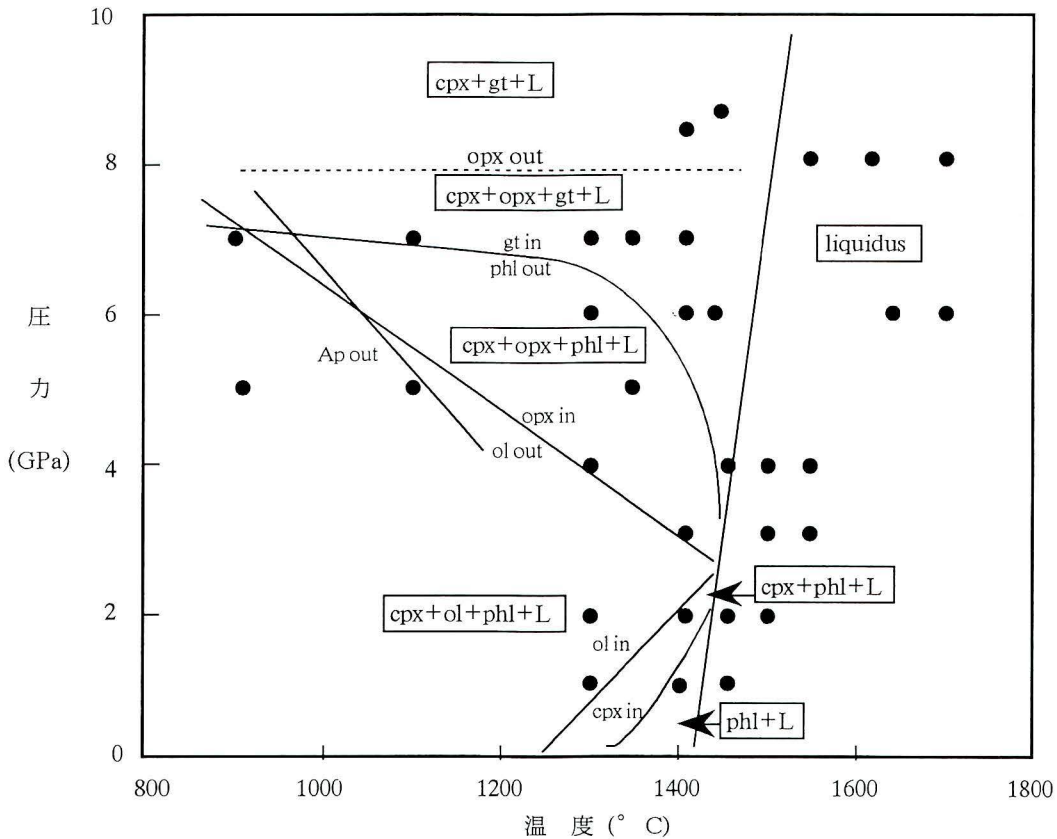


図 1. Group II 無斑晶キンバライトの P-T 図。

cpx : 単斜輝石 ; opx : 斜方輝石 ; gt : ガーネット ; ol : カンラン石 ; phl : フロゴパイト ; ap : アパタイト ; L : 液。点線は推定。

3GPa 以下の圧力域の実験は、ピストンシリンダー高圧発生装置（横浜国立大学教育学部地学教室）を使用した。

まりなされておらず、この圧力域での流体の研究についてはダイヤモンドの包有物やマントルゼノリスの研究によるものが多い。ダイヤモンドの包有物中の流体については、Navon et al. (1988) によって、 K_2O , CO_2 に非常に富み、 SiO_2 , MgO に乏しい流体について報告している。また、マントルメタソマティズムについては、マントルゼノリスの岩石学的研究により成果が多数あげられており、Menzies et al. (1987) による、Ti と Fe に富む Fe - Ti rich type と、 $K, Rb, LREE$ に富む K rich type とに分類されている。いずれのタイプのメタソマティズムもフルイドあるいはメルトが密接に関連している。このように、マントル内部に揮発成分に富む流体が存在することは明確である。

一方、マントル起源の火山岩であるキンバライトは、 H_2O , CO_2 などの揮発性成分や、 K_2O , LIL , $LREE$ を多量に含む。山下 (MS) は、Group II 無斑晶および斑晶キンバライトを出発物質に用いて 8GPa までの高圧実験を行った。8GPa では、無斑晶キンバライトでは $cpx+gt+L$ の鉱物組み合いで表され、斑晶キンバライトでは $ol+cpx+opx+gt+L$ の鉱物組み合いで表された。また、Ringwood et al. (1992) は Group I キンバライトを出発物質に用いて 16GPa までの高圧実験を行っているが、結果は

$ol+Cl$ (clinoenstatite) + $gt+pv+$ (cpx) + (Carbonate phase) + L の鉱物組み合いで表された。Edgar & Charbonneau, 1993 でも無斑晶キンバライトを出発物質に用いて 10GPa までの高圧実験を行っており、10GPa では $ol+gt+L$ という結果を得ている。いずれの結果も高压下では、 H_2O , CO_2 , K_2O に安定な鉱物は存在せず、キンバライトのメルトにはこれらの元素が非常に濃集することが予想されるが、メルトあるいはフルイドの組成は明らかになっていない。本研究では Group II 無斑晶キンバライトを出発物質に用いて高温高压実験を行い、ダイヤモンド粉末法を用いて部分融解によって生じたメルトを集積し、組成決定することを目的とする。

出発物質

出発物質は南アフリカ・マクガニン鉱山に産出する、Group II 無斑晶キンバライトを使用した。実験に使用したキンバライトの化学組成を表 1 に示す。キンバライトマグマは化学的特徴として、 SiO_2 に乏しく、 MgO , K_2O , H_2O , CO_2 , LIL 元素・ $LREE$ に富むことがあげられる。特に Rb, K, Ba などの LIL 元素は、primitive mantle と比較して 200~500 倍も濃集している。今回の実験は、微量元素の

表1. 出発物質の化学組成

Sample No.	173/24/K19/57
Major element (wt%)	
SiO ₂	40.90
TiO ₂	1.00
Al ₂ O ₃	5.28
FeO	8.43
MnO	0.24
MgO	18.44
CaO	9.37
Na ₂ O	1.22
K ₂ O	5.92
P ₂ O ₅	1.09
CO ₂	6.70
H ₂ O	1.94
Total	100.48
XCO ₂	0.59
Trace element (ppm)	
Nb	99
Zr	288
Y	35
Sr	1302
Rb	256
Th	25
Pb	39
Ga	11
Zn	94
Cu	38
Ni	638
Cr	1438
V	185
Ba	3763

メルト中への挙動を見ることが主たる目的であるが、LIL元素が濃集するキンバライトのメルトはこれらの元素が濃集することが予想され、出発物質として最適であると思われる。実際のキンバライトマグマは、噴出の際にガスとしてかなりのH₂O, CO₂が抜け出ていると考えられている。しかし、今回の実験ではこれらのH₂O, CO₂については考慮していない。図1は山下ほか(1994)による、出発物質のP-T図である。Group II無斑晶キンバライトは、1300°Cにおいて圧力の上昇に伴いphl+L→ cpx+phl+L→ cpx+ol+phl+L→ cpx+opx+phl+L→ cpx+opx+gt+L→ cpx+gt+Lと変化し、8GPa以上ではエクロジャイトの鉱物組み合わせと平衡に存在する。6~7GPa付近でphl+cpx=gt+Lの反応でフロゴバイトが分解しガーネットが安定になる。

この反応は、非常に圧力依存性が高く、このことはSudo & Tatsumi(1990)の結果ともほぼ一致している。また、この圧力は、McKenzie(1989)によるリソスフェアとアセノスフェアの境界の圧力と一致する。そして、これより高圧域では1300°C以上でK₂O, H₂Oを含む安定な鉱物相は存在しない。なお、Sudo & Tatsumi(1990)ではフロゴバイトと单斜輝石の反応により、9.3GPa以上の圧力で角閃石が生成することが報告されているが、今回の8GPaまでの実験では角閃石は確認されなかった。

実験方法

実験は、東北大学理学部MA-8型高圧発生装置を使用した。今回の実験圧力は7GPaなので、一辺が2.6cmのタンゲステンカーバイト製のアンビルを用い、TEL(Truncation Edge Length)=12mmを使用した。Bi I-II(2.5GPa)およびBi III-V(7.75GPa)を用いた圧力測定では、それぞれ130tonと590tonで相転移が見られたことから、今回の実験圧力の7GPaは515tonに相当するものとして実験を行った。実験に使用したセルの断面図を図2に示す。圧力媒体は一辺が18mmのパイロフィライトを使用した。その内側に、断熱材としてZrO₂のスリーブを用いた。ヒーターにはグラファイトを用い、中央部に肉厚をつけることによって、温度勾配を10°C/mmにおさえた。熱電対はPt-Pt13Rh、電極にはTaを使用した。カプセルにはPt, Pt+graphite, Auの3種類を用いた。Ptカプセルでは、メルト中のFeを吸ってしまうため、後半の実験からPtカプセルの内側にグラファイトカプセルを用いた。ダブルカプセルを使用することによって、PtによるFeの吸収を抑えた。AuカプセルではFeの吸収はほとんど認められなかった。メルトの集積実験には、Hirose & Kushiro(1993)を参考にダイヤモンド粉末を用いて行った。ダイヤモンド粉末は、約3ミクロンのものを使用した。カプセル内のダイヤモンド粉末の量比は、メルトの組成に影響を与えることが、Hirose & Kushiro(1993)の報告の中で指摘されているが、今回の実験ではカプセル内に3~5割ほどダイヤモンド粉末を封入した。ダイヤモンド粉末の量による圧力効果がおよぼすメルトの組成への影響については、今後検討しなければならない課題である。

分析方法

実験生成物の分析には、横浜国立大学教育学部地学教室のEPMA(JEOL-JSM5300)、および東北大学サイクロトロンラジオアイソトープセンターのPIXE(Particle Induced X-ray Emission)を使用した。実験生成物は、カプセルごと樹脂(Technovit 4004)で固めポリッシュを行った。ポリッシュの際、水を使用するとメルトが溶脱してしまうので、エタノールを使用した。

EPMAでは、メルトと共に存在する鉱物(单斜輝石、斜方輝石、ガーネット)およびメルトについて化学分析を行った。測定条件は、加速電圧15kV・資料電流 1.54×10^{-10} である。メルトは、ダイヤモンド粉末の粒間に存在し、その面積は数ミクロンと非常に小さいためメルトのみ分析を行うことは不可能である。そのため、ダイヤモンド粉末ごとメルトを分析し、後に100%に規格化した。Rb, Srについては含有量が非常に微量なため、EPMAでは検出が不可能なのでPIXEによる分析を試みた。PIXEは、サイクロトロン加速器からの陽子をサンプルに当て、発生する特性X線スペクトルを検出するというものである。メリットとしては、ppmオーダーでMg以降の元素をほとんど分析することが

TEL=12mm Cell Assembly

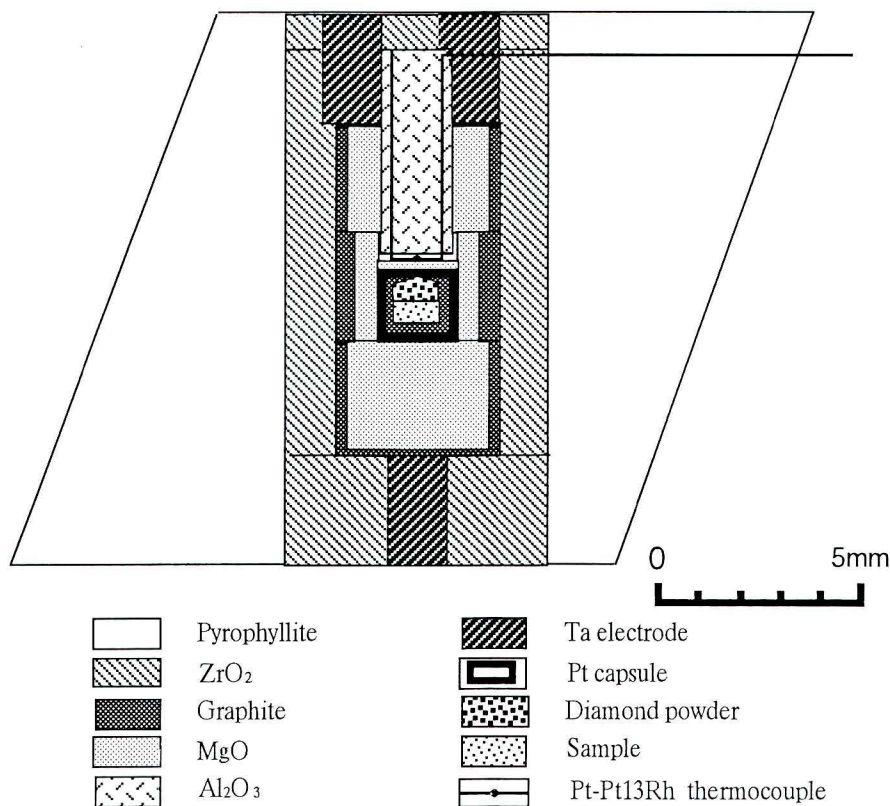


図2. MA-8型高圧発生装置による実験で使用したセルの断面図。

可能である。PIXEでは、EPMAで測定不可能なメルト中の元素について、カプセル内よりメルトを集積したダイヤモンド粉末を取り除き、ダイヤモンド粉末ごと分析を行った。いずれの機器による分析もダイヤモンド粉末ごとメルトの分析を行っているので、厳密に定量分析をしたとは言いたがたい。

実験結果

実験は、圧力7GPa、温度900~1450℃の範囲で9点行った。実験結果を表2に示す。

すべての条件下でH₂O、CO₂、K₂Oを含む安定な鉱物は見られなかった。また、1100℃以上ではほとんどがcpx+opx+gt+Lの鉱物組み合わせであった。1100℃の実験は、270分と1440分の2回を行い、実験時間の違いによるメルトの組成変化を調べた。結果は、組成の差は見られず、270分でも平衡に達しているものと考えられる。

一部の実験生成物については、EPMAとPIXEの両方の分析装置を用いて分析を行ったが、ダイヤモンド粉末の容積が少ないものに関しては同じ条件で2度実験を行いそれぞれの装置で分析を行った。

EPMAによる化学組成分析結果ならびに、ダイヤモンド粉末に集積されたメルトのBSI(Back Scattered Image Photograph)をそれぞれ表3、図3、図4に示す。図3は

ダイヤモンド粉末とキンバライトソリダスの境界部付近である。ダイヤモンド粉末の粒間に白く明るく見えるのがメルトである。キンバライトソリダス中の暗く大きな結晶は斜方輝石、白く明るい細かな結晶はガーネットである。図4は図3のダイヤモンド粉末の部分を拡大したものである。黒い部分がダイヤモンド粉末で、その粒間に白く明るいメルトが集積されているのが良く分かる。いずれも1400℃の実験生成物で、部分融解度が大きいためメルトが目立つのが特徴である。EPMAによる化学分析では、ダイヤモンド粉末とメルトを含む一定のエリア($120\text{ }\mu\text{m} \times 90\text{ }\mu\text{m}$)を面分析し平均値を求めた(表3)。この方法では、絶対値は得られないため、CO₂、H₂O、Cを除いた元素で100%に規格化している。メルトは、SiO₂、MgOに乏しく、K₂O、TiO₂に非常に富むことが判明した。EPMAによる分析では、Sr・Rbなどの元素は分析することはできなかった。また、PtカプセルとPt+graphiteのダブルカプセルの実験では、Feの含有量に大きな差が見られた。

表中のH₂O、CO₂は、実際に測定することは不可能である。そこで、1100~1400℃の範囲ではP₂O₅がすべてメルトに分配されるものとして、melt fraction:Fを求め、推定を行った。

$$L/S = 1 / (F + D * F \cdot D)$$

表2. 実験結果

Run No.	Press (GPa)	Temp (°C)	Time (min)	Mineral Assembly	Capsule
Apdia-6	7.0	1450	35	cpx+opx+gt+L	Pt
Apdia-2	7.0	1400	30	cpx+opx+gt+L	Pt
Apdia-4	7.0	1400	20	cpx+opx+gt+L	Pt
Apdia-7	7.0	1350	60	cpx+opx?+gt+L	Pt+graphite
Apdia-1	7.0	1300	60	cpx+opx+gt+L	Pt
Apdia-8	7.0	1100	270	cpx+opx+gt+L	Pt+graphite
Apdia-9	7.0	1100	1440	cpx+opx+gt+L	Pt+graphite
Apdia-13	7.0	900	200	ol+gt+ap+pv+L	Au

cpx = 単斜輝石, opx = 斜方輝石, gt = ガーネット, ol = カンラン石, ap = アパタイト, pv = ペロブスカイト, L = 液

表3. ダイヤモンド粉末により集積されたメルトの化学組成 (100%に規格化)

Run No.	Apdia-13*	Apdia-9*	Apdia-1	Apdia-7*	Apdia-2
Temp (°C)	900	1100	1300	1350	1400
SiO ₂	3.34	9.08	28.79	36.17	28.88
TiO ₂	0.17	2.24	2.21	1.22	1.96
Al ₂ O ₃	1.05	0.89	2.74	4.88	2.85
Cr ₂ O ₃	0.00	0.00	0.00	0.00	0.11
FeO	4.57	4.44	2.39	6.72	2.03
MnO	0.17	0.00	0.00	0.00	0.00
MgO	7.77	10.93	14.69	13.31	13.34
CaO	9.88	7.05	8.70	6.89	8.74
Na ₂ O	3.16	1.94	0.71	1.26	0.98
K ₂ O	28.09	29.16	11.15	9.34	10.17
P ₂ O ₅	0.40	3.79	3.11	2.26	3.35
BaO	0.40	0.40	0.82	---	1.03
H ₂ O	9.21	6.75	5.54	4.03	5.97
CO ₂	31.79	23.33	19.14	13.92	20.60
Total	100.00	100.00	100.00	100.00	100.00

CO₂ and H₂O calculated by K₂O or P₂O₅

* Pt and Graphite double capsule

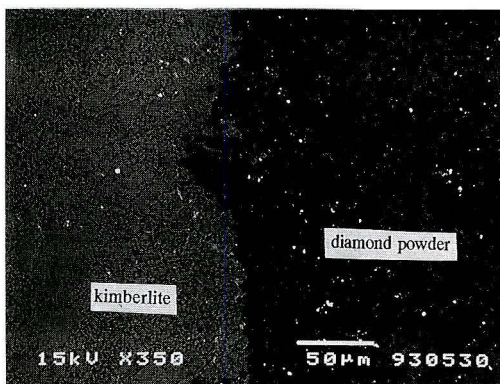


図3. 実験生成物のBSI写真(全体).

左側はキンバライトソリダス。右側がダイヤモンド粉末。ダイヤモンド粉末中の白く明るい部分が部分融解によって生じたメルト。

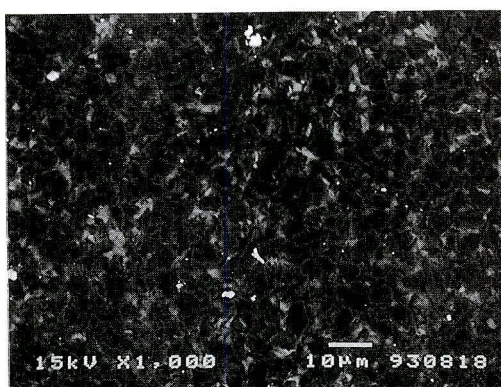


図4. 実験生成物のBSI写真(拡大).

図3のダイヤモンド粉末の部分を拡大したもの。
白い部分がメルト。黒い部分がダイヤモンド。

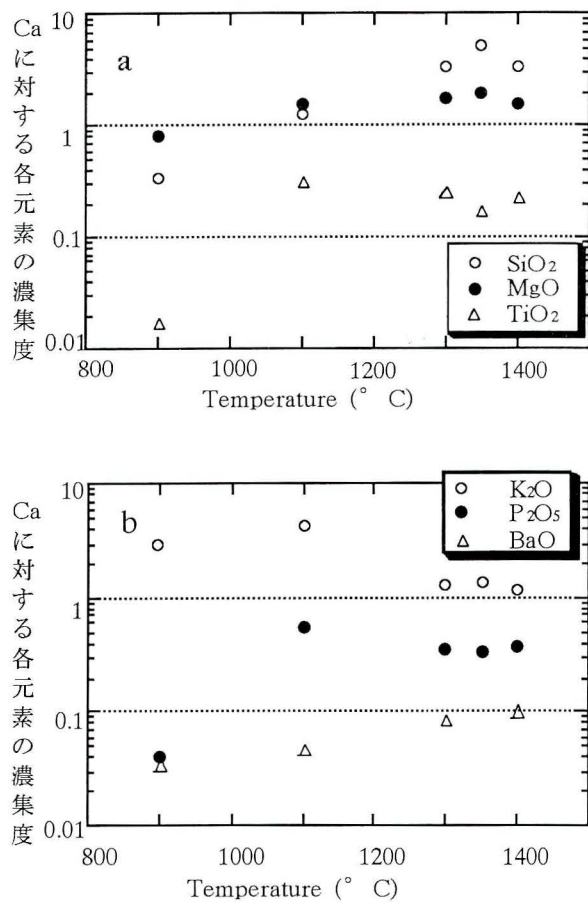


図5. a : メルト中の SiO_2 , TiO_2 , MgO の濃集と温度との関係.
b : メルト中の K_2O , P_2O_5 , BaO の濃集と温度との関係.
分析はEPMAで行った。ダイヤモンド粉末ごと分析を行っているので、絶対濃度は分からなかったため Caで一度規格化してから対比を行った。

L: メルト中の元素含有量 S: 出発物質中の元素含有量
F: melt fraction D: 分配係数

また, 900°Cの実験に関してはアパタイトが安定であるために P_2O_5 では計算できないので, K_2O で代用して計算を行った。

図5-a, 5-bは、温度に対する各元素のメルト中への含有量を比較したものである。各々の元素は、温度変化が最も少ないCaで一度規格化しており、相対比で示されている。 SiO_2 は温度とともに含有量が増えているため、ほぼ部分融解度と比例していると思われる。 MgO にも似たような傾向が見られた。 TiO_2 と P_2O_5 に関しては900°Cの実験を除いて低温のものほどメルトに濃集する傾向が見られた。900°Cに関してはペロブスカイトが晶出するために著しく含有量が減少したものと思われる。 K_2O も TiO_2 と同様に部分融解度が小さいものほどメルトに濃集する傾向が見られた。しかし、Kと似たイオン半径を持つBaは、部分融解度が大きいほどメルトに濃集する傾向が見られた。Baはマントルメタソマティズムをうけたフロゴパイトに多量に含まれる

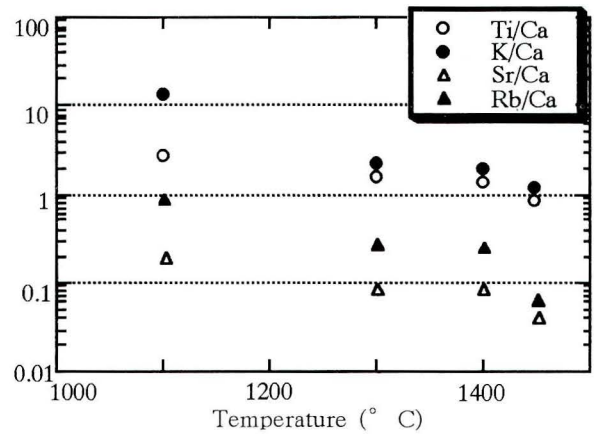


図6. メルト中の Ti, K, Sr, Rb の濃集と温度との関係.
分析はPIXEで行った。ダイヤモンド粉末ごと分析を行っているので、絶対濃度は分からなかったため Caで一度規格化してから対比を行った。

ことが報告されており (Arima, 1988), Baのメルトへの濃集は、フロゴパイトの分解が大きく関与していると考えられる。

PIXEによる分析結果も一度 Caで規格化してから、温度との相関を検討した (図6)。PIXEによる分析も、ダイヤモンド粉末と一緒にメルトの分析を行っているので相対値をとらざる得ない。 TiO_2 , K_2O についてはともに部分融解度が小さいほどメルトに濃集するEPMAでも見られた傾向が見られた。PIXEによる分析で注目すべきはRbとSrであるが、ともに部分融解度が小さいものほどメルトに濃集する傾向が見られた。

考察

1. ダイヤモンドに包有される流体との比較

Navon et al. (1988) はダイヤモンドに包有される、 H_2O , CO_2 , K_2O に富み SiO_2 に乏しい流体について報告を行っている。ダイヤモンドは非常に安定な鉱物なので、マントル中で物質を一度取り込んでしまえば、その物質はまわりの物質と反応することなく、その後安定に存在する。図7はダイヤモンド包有物の流体と実験結果のメルトを、Alと出発物質で規格化したものである。今回の実験結果のメルトは、Navon et al. (1988) のものと非常によく似ている。特に、1300°Cのメルトは最も似ており、 MgO と P_2O_5 を除く他の元素が、流体の組成範囲の中に入っている。7GPa, 1300°CはKaapvaal cratonの地温 (Boyd & Gurney, 1986) とほぼ一致しており、マントル中に H_2O , CO_2 , K_2O に富むメルトが存在する可能性は高い。また、この条件はダイヤモンドの安定領域にあたる。ダイヤモンド包有物の流体は、ダイヤモンドと平衡に存在し、かつダイヤモンドは成長したのであるから、流体とダイヤモンドの成因とは密接な関係がある可能性がある。Arima et al. (1992) は、リキダス域でのキンバライトメルトからのダイヤモンドの結晶化と

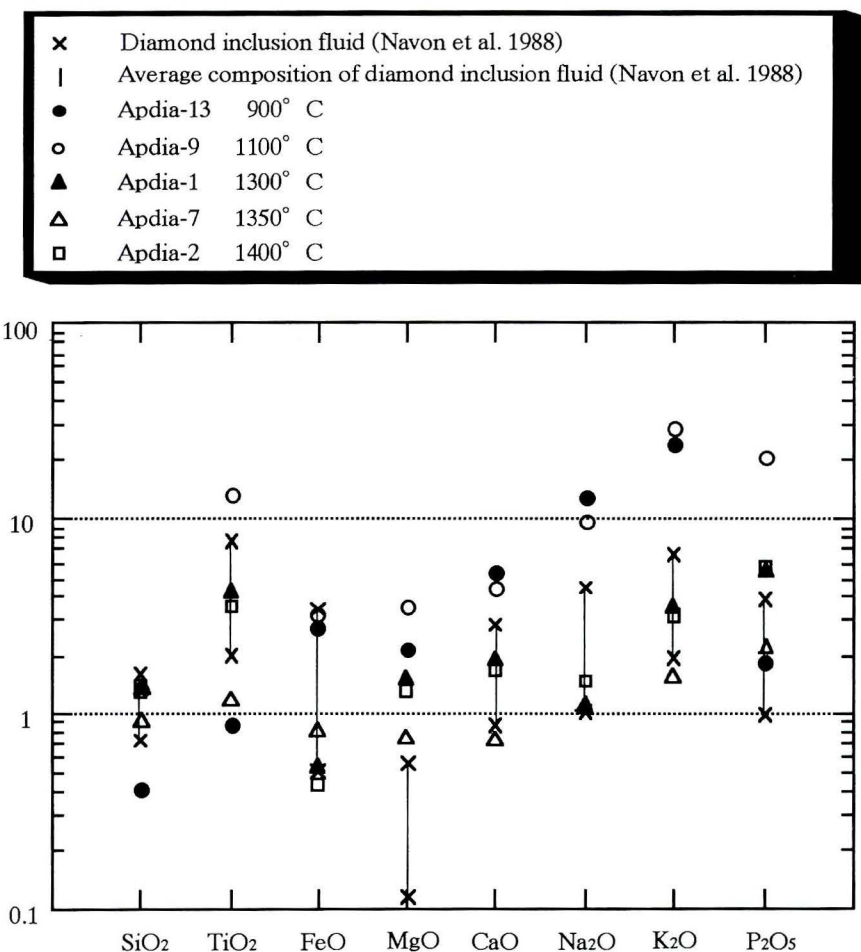


図7. メルトとダイヤモンド包有物の流体の関係。

メルトとダイヤモンド包有物の流体を、Alと出発物質のGroup II 無斑晶キンバライトで規格化した。

メルトはEPMAによる分析値を使用した。

成長を報告している。今回は、一部の実験でカプセルの中に約200ミクロンほどのダイヤモンドを入れ、SEMで表面観察を行ったが変化は見られなかった。

なお、Scherauder & Navon (1994) は、ダイヤモンドに包有されるメルトを定量的に分析し CO_2 に富むメルトは CaO , FeO , MgO , P_2O_5 に富み、 H_2O に富むメルトは SiO_2 , Al_2O_3 , K_2O に富む傾向を見いだしたが、今回の実験により生成したメルトはどちらの傾向も示さない。

2. アセノスフェアにおける K_2O と H_2O について

マントル深部、特にアセノスフェアにおいて H_2O の挙動については近年多数の高圧実験がなされており、特に $\text{MgO}\text{-SiO}_2\text{-H}_2\text{O}$ の実験では、マントル中に存在する可能性のあるいくつかの含水鉱物が発見されており、現在もなお精力的な研究が続けられている。 K_2O が存在する場合、地殻付近の低圧域では K_2O と H_2O は、角閃石や雲母類中に安定に存在する。リソスフェア、すなわち6GPa付近までは K_2O と H_2O はフロゴパイト中に安定に存在する。山下ほか(1994) では、この圧力を越えると $\text{phl} + \text{cpx} = \text{gt} + \text{L}$ の反応で

K_2O と H_2O に安定な鉱物は存在しない。また、Sudo & Tatsumi (1990) では、この圧力から 11~12GPa にかけて $\text{phl} + \text{cpx} = \text{amp}$ (K-amp) + $\text{gt} + \text{fo} + \text{Fluid}$ の反応が起こることを指摘している。この場合の fluid は $\text{K}_2\text{O} + \text{H}_2\text{O}$ であり、いずれの実験結果も K_2O と H_2O を含む流体が生じる。一方、Boettcher (1980) は、3GPa・1100°Cにおけるフロゴパイトと平衡に存在する水を含む流体が、25wt% もの K_2O を溶解することを実験的に示した。

今回の実験では残念ながら、6GPa 以上の高圧下における K_2O の、 H_2O を含む流体への溶解度を求ることはできなかったが、溶解度は非常に高いことが予想される。また、K と似たイオン半径を持つ Rb や他の LIL 元素に関しては、今回の実験からメルト中に濃集することがわかった。

CO_2 に関しては、マグネサイト (MgCO_3) として上部マントルと下部マントルの境界付近まで安定に存在することが実験的に示されている (Katsura & Ito, 1990)。キンバライト中の炭酸塩鉱物については、6GPa 付近までの圧力域では安定に存在するが、それ以上の圧力下での実験はなされていない。しかし、炭酸塩鉱物の場合はフロゴパイトとは逆

に温度依存性が高く、圧力よりも温度との関係が重要になる。すなわち、ソリダスを越えると CO_2 はメルト中に非常に富む可能性がある (Eggler, 1989)。6GPa以下の圧力で、フロゴパイトが安定な領域の場合、流体あるいはメルトは、 H_2O よりも CO_2 に富むと考えられる。フロゴパイトが安定な領域でのメルトの組成決定、LIL 元素の分配については現在検討中である。

現段階では、天然のマントルメタソマティズムを受けたゼノリスとの比較は困難である。ただし、Menzies et al. (1987) によるマントル交代作用の分類では、Fe, Tiに富む Fe - Ti rich type よりも、K, Rb, LREE に富む K-rich type に似ている。しかし、実際の天然に産出するゼノリスに見られるマントルメタソマティズムとさらに詳しく比較するには、実験生成物のメルトの微量元素・希土類元素の分析値が不可欠である。マントルメタソマティズムを考えるにあたっての重要な微量元素・希土類元素の分析は今後の課題である。

本稿の執筆にあたり、横浜国立大学教育学部地学教室の有馬真教授、東北大学理学部地球物質科学科の大沼晃助教授・加藤工博士には終始一貫してご指導いただいた。東北大学理学部地球物質科学科地球惑星物性学講座の大学院生の方々には実験にあたり御世話になった。ここに記して御礼申し上げる。なお、本研究の調査費の一部は、文部省科学研究費一般 C 萌芽的研究課題番号 06804030、および神奈川県立博物館総合研究の調査研究費「地球熱史」による。

- Arima, M., 1988. Barium-rich phlogopite in a mantle derived xenolith of the Upper Canada Mine kimberlite, Ontario, Canada : Implications for Ba-reservoir in the upper mantle. *Jour. Assoc. Min. Petr. Econ. Geol.*, 83 : 217-231.
- Arima, M., M. Akaishi, S. Yamaoka & H. Kanda, 1992. Diamond synthesis in the graphite kimberlitic melt system. 29th. IGC. Abstract, 3 : 686, Kyoto.
- Arima, M. & D. C. Presnall, 1995. Melting relationships in the join diopside-magnesite at 7GPa. Japan Assoc. Mineral. Petrol. Econ. Abstract, 36 : Sendai.
- Boyd, F. R. & J. J. Gurney, 1986. Diamonds and the African Lithosphere. *Science*, 232 : 472 - 477.
- Edgar, A. D., M. Arima, D. K. Baldwin, D. R. Bell, S. R. Shee, W. Skinner & W. C. Walker, 1988. High-pressure-high temperature melting experiments on a SiO_2 -poor aphanitic kimberlite from the Wesselton mine, Kimberly, South Africa. *Amer. Mineral.*, 73 : 524-533.
- Eggler, D. H., 1989. Kimberlites : how do they form? . *Kimberlite and*

- related rocks
- 1 : 489-504.
 - Hirose, K. & I. Kushiro, 1993. Partial melting of dry peridotite at high pressures : Determination of compositions of melts segregated from peridotite using aggregates of diamond. *Earth Planet. Sci. Lett.*, 114 : 477-489.
 - Kanzaki, M., 1991. Stability of hydrous magnesium silicates in the mantle transition zone. *Phys. Earth Planet. Inter.*, 66 : 307-312.
 - Katsura, T. & E. Ito, 1990. Melting and subsolidus phase relations in the MgSiO_3 - MgCO_3 system at high pressures : implications to evolution of the Earth's atmosphere. *Earth Planet. Sci. Lett.*, 99 : 110-117.
 - Liu, L., 1986. Phase transformations in serpentine at the high pressures and temperatures and implications for subducting lithosphere. *Phys. Earth Planet. Inter.*, 42 : 255-262.
 - Liu, L., 1987. Effects of H_2O on the phase behaviour of the forsterite-enstatite system at high pressure and temperatures and implications for the Earth. *Phys. Earth Planet. Inter.*, 49 : 142-167.
 - Mckenzie, D., 1989. Some remarks on the movement of small melt fractions in the mantle. *Earth Planet. Sci. Lett.*, 95 : 53-72.
 - Menzies, M., N. Rogers, A. Tindle & C. Hawkesworth, 1987. Metasomatic and enrichment processes in lithospheric peridotites, an effect of asthenosphere-lithosphere interaction. In Menzies, M. A. & C. J. Hawkesworth, eds., Mantle metasomatism, pp. 313-361. Academic Press, London.
 - Moore, R. O. & J. J. Gurney, 1985. Pyroxene solid solution in garnets included in diamond. *Nature*, 318 : 553-555.
 - Navon, O., D. Hutcheon, G. R. Rossma & G. J. Wasserburg, 1988. Mantle derived fluids in diamond micro-inclusions. *Nature*, 335 : 784-789.
 - Ringwood, A. E., S. E. Kesson, W. Hibberson & N. Ware, 1992. Origin of kimberlite and related magmas. *Earth Planet. Sci. Lett.*, 133 : 521-538.
 - Ryabchikov, I. D. & A. L. Boettcher, 1980. Experimental evidence at high pressure for potassiac metasomatism in the mantle of the earth. *Amer. Mineral.*, 65 : 915-919.
 - Schrauder, M. & O. Navon, 1994. Hydrous and carbonatitic mantle fluids in fibrous diamonds from Jwaneng, Botswana. *Geochim. Cosmochim. Acta*, 58 : 761-771.
 - Sudo, A. & Y. Tatsumi, 1990. Phlogopite and K-amphibole in the upper mantle : Implication for magma genesis in subduction zones. *Geophys. Res. Lett.*, 17 : 29-32.
 - Tatsumi, Y. & N. Nakamura, 1986. Composition of aqueous fluid from serpentinite in the subducted lithosphere. *Geochemical Journal*, 20 : 191-196.
 - Tatsumi, Y., D. L. Hamilton & R. W. Nesbitt, 1986. Chemical characteristics of fluid phase released from a subducted lithosphere and origin of arc magmas : Evidence from high-pressure experiments and natural rocks. *J. Volcanol. Geotherm. Res.*, 29 : 293-309.
 - 山下浩之・大谷栄治・有馬真・大沼晃助, 1994. マントル内における火成活動に伴う流体の役割 . 地球惑星科学関連学会 1994年合同大会講演要旨集 , p251, 仙台 .

総説：隕石 - 地球の材料物質としての隕石 -

小出良幸

神奈川県立博物館

Review : Meteorites for the Earth's Raw Material

Yoshiyuki KOIDE

Kanagawa Prefectural Museum, Naka-ku, Yokohama, Kanagawa 231, Japan

Abstract. Discoveries of the isotopic anomaly, extinct radionuclides and presolar grains in meteorites lead to reveal the previous and early history of the Solar system. The meteorites play an important role in interpretation of not only the solar nebula origin, but also the planet origin. Especially, the chemical, physical and mineralogical informations of the meteorites constraint the origin of the Earth. This paper reviews the basic data and theory on the meteorites, and shows the reasons why the meteorites are the raw materiel of the Earth.

Key Words : Meteorite, the Earth's Raw Material, the Earth's Evolution

I はじめに

今世紀後半に入って、地球以外の惑星や彗星、太陽などを詳しく調べるために、人類の分身ともいえる探査機が多数打ち上げられた。探査機のあるものは、月や金星、火星に着陸して、表面物質の組成や、生命の有無を調べることができるようになった。このような分身達によって、太陽系に関する情報が爆発的に増えてきた。我々の地球が属する太陽系の情報が増えてきたにもかかわらず、「地球はどうしてできたか」という、昔からある非常に素朴な疑問にはまだ答えは出でていない。

人類は、地表でている試料を自由に採集し、分析できる。また、少しではあるが、地球深部の試料も入手可能である。地表の岩石から、地球初期の様子を知るのは難しい。地球誕生の様子を知るには、地球初期の試料を入手すればよい。現在、最古の岩石は39.6億年前、最古のジルコンは42億年前のもので、それより古い試料は得られていない。45.5億年前の地球誕生時の試料は、入手できない。しかし、間接的なデータから、地球の初期を推定することは可能である（小出、1992）。隕石や冥王代に形成された岩石、後の地質時代からの外挿、計算機実験によるシミュレーション、惑星探査による他の惑星の情報との比較（比較惑星学）、高温高圧実験での再現などから間接的に探されている。そのうち、隕石は、直接分析ができる地球外物質として重要で

ある。

隕石は、比較的最近まで宇宙空間にあり、地球に落ちてきたものである。つまり、本当の地球の材料物質ではない。しかし、地球の材料物質としての重要性を秘めている。本論文では、隕石がなぜ地球初期を考えるのに重要なのかを明らかにし、総括的な隕石のレビューをおこなう。隕石は、神奈川県立博物館で系統的に収集し、今後の研究材料とする予定なので、このような総括は重要であると考える。

本研究は、文部省科学研究費一般C萌芽的研究（課題番号06804030）、東京地学協会研究調査助成、および神奈川県の調査研究費「地球熱史」の援助をいただいた。また、横浜国立大学大学院生真貝恵美子女史と中嶋勝治氏には、文献収集・データ整理で助力をいただいた。

II 地球の材料物質としての隕石

隕石は、地球を作ったものと同等のもので、地球の材料物質の研究には欠かせないものとなっている。ここでは、なぜ隕石が地球の材料物質として重要なのかを検討する。

1 クレーター

月には多くのクレーターがある。最近の惑星探査で、すべての地球型惑星にも多くのクレーターがあることが明ら

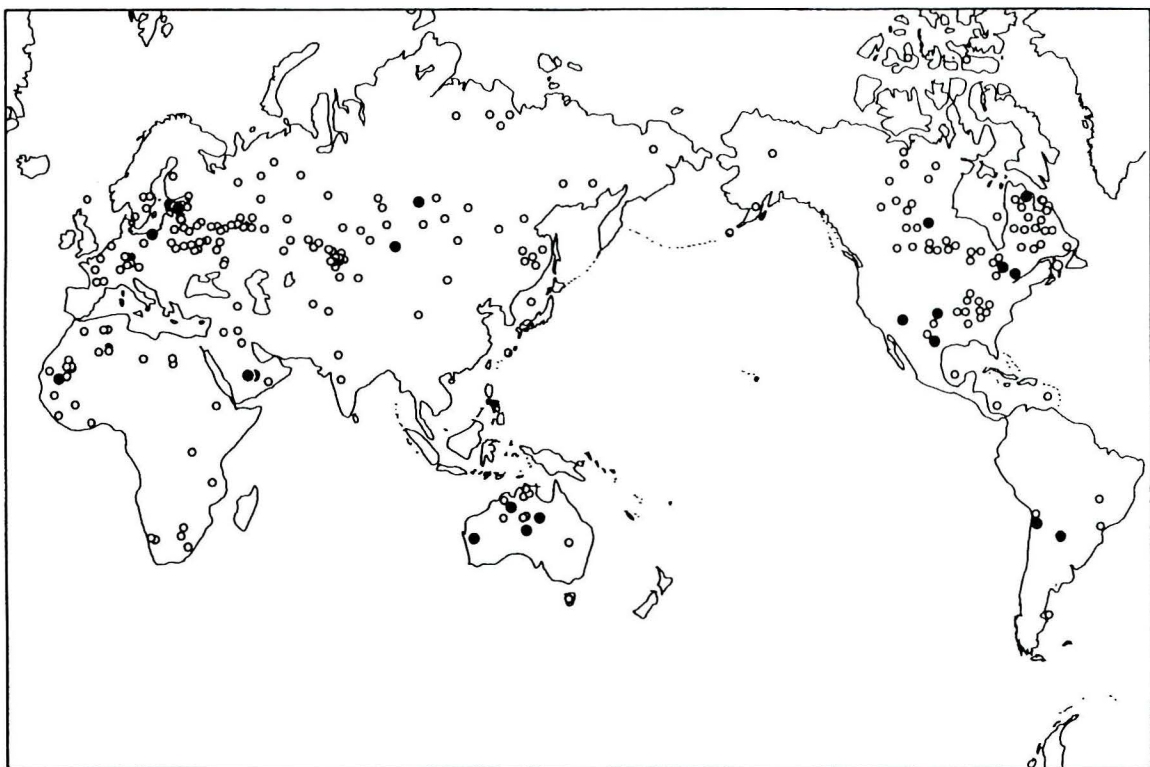


図1. クレーターの分布図。

データは, Graham et al. (1985) による。黒丸 (●) は, 確実なクレーターで白丸 (○) は推定されているもの。

かになってきた。クレーターは惑星だけでなく、衛星、彗星にも発見された。マイクロクレーターと呼ばれるミクロノーダーの極微小クレーターまで発見されている。

クレーターは、数は少ないが地球にも発見されている。ただ、地球は、大気があるため、古いクレーターは風化して不明瞭になり、やがて消滅していく。また、プレートテクトニクスによる造山運動のため地上のクレーターは、急速に消滅していく。人工衛星による探査で新たなクレーターが発見されている。地上のクレーターは、図1のようだ、大陸の各地で発見されている。

クレーターの成因に関して、火山説と隕石の衝突説があった。クレーターと呼べるものの中には、明らかに火山起源であると考えられるものがある。しかし、調査の結果、クレーターの多くは、隕石の衝突起源であることがわかつた。クレーターが隕石の落下によるものだという証拠は、クレーターの形態、高圧鉱物の出現、隕石物質の出現、重力異常などがあげられる。

クレーターは、一般にその形態から判別される。クレーターは、円から楕円のくぼみで、ときとして中央丘や多重リングを形成することがある。サイズはさまざままで、直径が数十メートルから数百キロメートルまである (Graham et al., 1985)。また、隕石が落下中に分解したために、クレーターが単独ではなく、2個から数個が一緒に形成されることがある。

隕石の衝突の様子も、衝突実験や計算機実験かなりよくわかつた。隕石が衝突したとき、まず大地を衝撃波が

走り抜ける。同時に地表近くの岩石と隕石は、破壊されたり、飛び散る (Ahrens, 1989)。クレーター内あるいは付近に隕石物質が存在することは、クレーターの隕石起源の重要な証拠となる。

衝撃波の走り抜けた痕跡は、shattercone として岩石に刻み込まれる。破壊された岩石は breccia となる。衝突の時の高温高圧によって、衝撃変成作用がおこる。変成の程度によって、石英が変形した程度のものから、石英の高圧鉱物である coesite, stishovite などに代表される変成鉱物が形成されることもある。また、高温によって岩石が溶け、glass が形成されることがある。このような衝撃で溶けたりあるいは部分溶融した岩石は、impactite と呼ばれる。衝突の規模の大きいときは火成作用を誘発することもある。Canada の Sudbury はその代表的な例である。

図1に示したクレーターの分布図では、確定されたクレーター (●) と疑わしいもの (○) とに区分してプロットした。クレーターの分布には、ムラがある。このような分布にはいくつかの原因が考えられる。

クレーターは、大陸の古い岩石の分布する地域から発見される。新しい岩石の地帯は、造山帯で造山運動によって古いクレーターが消されと考えられる。また、地球上に一定の確率でクレーターができるとすると、古い大陸の面積が多いため、クレーターも多くなる。

クレーターが見つかりにくい要因として、植生と調査の偏りが考えられる。熱帯付近の植生が豊かなところでは、クレーターが発見されにくく、分布図上でも少ない。また、

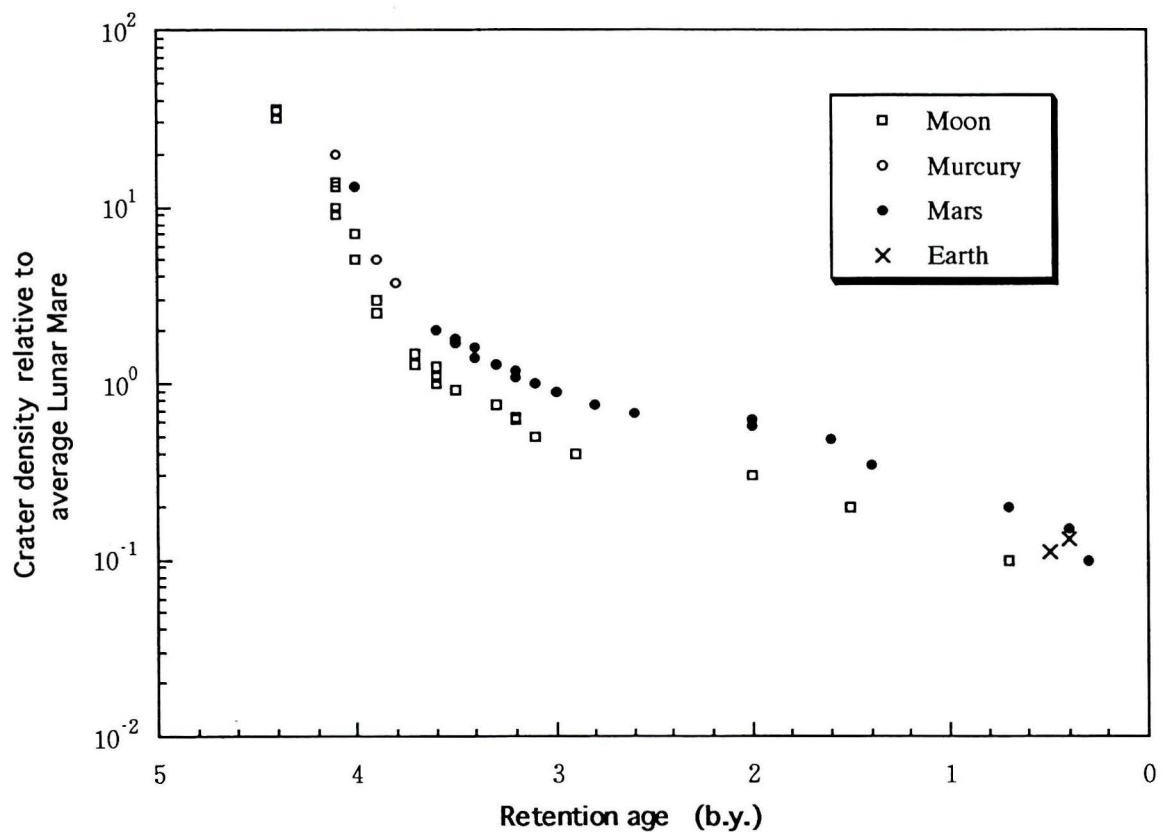


図2. クレーターの形成時期と密度。

縦軸は月のクレーター平均密度との比を示し、横軸は、現在を0年にした。データは、Basaltic Volcanism Study Project (1981) による。

人口密度の小さいところでも分布は少ない。人工衛星による探査がおこなわれても、小型のものは人が地上の調査によって発見することが多いからである。それ以外のムラは、クレーターの調査が行き届いているかどうかの違いを反映している。

地球以外の星では、地表は大小のクレーターで覆い尽くされている。このような地球以外の星のクレーターの研究から、クレーターの衝突頻度は、一定でないことがわかつてている。図2は、クレーターの密度を示している。詳しく調査された月、水星、火星そして地球のデータがプロットされている。月と火星を比べてみると、火星のクレーター密度は月のものより多い。このような系統的变化は惑星の軌道と隕石の供給源の違いによるものと思われる。いずれにしても、古い時代ほど隕石の落下は多いことがわかる。45億年以降クレーターの形成は指数関数的に減少していく。これは、惑星や衛星の形成が45億年頃に一斉におこなわれ、惑星や衛星の材料物質は、短い期間内でほとんど使い尽くされたからだと考えられる。

2 テクタイト

テクタイト(tekタイト)は、丸から回転楕円体あるいは滴状の形態をしたガラス質の岩石である。回転対称体なので、溶けたものが冷却するときに回転していたことがわかる。

色は、黒色から緑色や黄色を帯びたものまで発見されている。Moldaviteは透明感のある緑色で、多くのものは黒色から褐色を呈する。テクタイトは、平均的には数グラム程度であるが、時には最大3.2kgに達するものも発見されている(Bates & Jackson, 1987)。

かつて、テクタイトは、火山起源や地球外起源があった。テクタイトは、黒耀石に外見が似ているため、火山起源説がいわれた。しかし、同種のテクタイトが層準に関係なく1地域に広くバラバラに見つかること、一般的のテクタイトはSiO₂含有量が68~82wt%で、H₂O含有量が0.005wt%，多くても0.02wt%と非常に少ないとことなどから、火山説は否定された。同じ頃、地球外と火山との折衷的な月の火山起源説がいわれた。月の火山起源説では、月の巨大なクレーターが形成されたときに飛び出した物質と考えられた。証拠として、ある種のテクタイトが超音速飛行の空気抵抗によって磨耗された形態を持つことがあげられていた。その他、月に他の小天体の衝突、あるいは第2の小さな月への小天体の衝突による説など、各種のものが提示された。

月の岩石やテクタイトの分析によって、その起源が明らかになった。まず、テクタイトと月の岩石の分析や比較によって、月起源説が否定された。一番大きな否定的証拠は、テクタイトの年代測定の結果であった。北アメリカのテクタイトは3400~3500万年、チェコスロバキアのものは1500万

年、象牙海岸のものは 100 万年、オーストラリアのものは 71~73 万年前という測定値がだされた。このような若い年代に活動した火山は月にはないため、月をもとにした起源説は否定された。

地域毎のテクタイトが、どの衝突クレーターに対応するかまでわかつてきた。チェコスロバキアのテクタイトは Ries クレーターで、象牙海岸のものは Ashanti クレーターに由来するものであると考えられている。

現在では、テクタイトは、地球の岩石が、隕石の衝撃によって溶けて飛び散ったものだと考えられている。つまり、テクタイトは、「地球からきた隕石」と考えられるようになった。

3 落下した隕石

1912 年、南極のアデリーランドで最初の 1 個の隕石が発見された。その後、南極での隕石の発見はなく、再び隕石が発見されるのは、1961 年のことである。1974 年、日本がやまと山脈で 663 個におよぶ大量の隕石を発見して以来、隕石の発見数は一気に増え始めた。1981 年 1 月までに、南極隕石は、12,000 個に達した（矢内、1991）。隕石の数は、南極以外で発見されていた 2,000 個から、一気に 20,000 個に増した。そして現在も南極での隕石の探索は、断続ながら続けられ、発見数は増え続けている。

南極隕石の重要性は、数の多さのみならず、試料の新鮮さ、そして稀な隕石が発見されたことである。南極隕石は、地球物質の汚染が一番少ない隕石で、各種有機物の検出がなされている。また、稀な隕石として、今まで 1 個しか記載のなっかた lodoranite が 2 個見つかったり、月起源の隕石も発見された（国立極地研究所、1987）。地球上で発見された隕石には、火星起源といわれている隕石、SNC と呼ばれるものがあった。この隕石が、本当に火星起源であるかどうかという疑問はぬぐいきれなかった。しかし、月起源の隕石が南極から発見されたことから、SNC の火星起源がより信憑性を帯びるようになった。それは、すでに人類が持ち帰った月の試料との比較研究から、月起源であることが確認されたからである。つまり、他の星から物質が飛び出し、地球にくることはあり得ることになったのである。従って、SNC は、火星起源であると多くの研究者は考えている。このように、隕石を対象にする限り、隕石の起源あるいは母天体がどこであるかは、最後まで疑問が残るところである。しかし、隕石研究のメリットは、他の星からのサンプル・リターンと比べ、桁違いに、安価で安全な試料であるといえる。

南極では、大量の隕石が発見されているが、それは隕石の集積機構があるためだと考えられている。集積機構とは、南極の雪の上に落ちた隕石が、埋没し、氷床として移動し、最終的に、山脈などで氷床が蒸発し、隕石だけが残るというメカニズムである（Yanai, 1978；矢内、1981）。

南極の隕石は、かなり忠実に落下した隕石の頻度を示していると考えられる。南極の iron meteorite は、1% に満た

ない。落下した隕石と比べるとさらに少なくなっている。この差は、南極が特異な地域であるためかもしれない。南極のような高緯度地帯と多くの大陸のある低緯度地帯では、隕石の種類に差があるかもしれない。あるいは、南極特有の隕石の集積機構が、iron meteorite には、必ずしも有効ではなく、大型の iron meteorite は、氷とともに移動しにくい、あるいは上昇しにくいのかもしれない。

一般に隕石というと、iron meteorite を想像しがちだが、隕石には stony meteorite も多数ある。

隕石種ごとの落下頻度を表 1 にまとめた。表で、Fall としたものは、落下が確認されたもので、Find は、落下が確認されずに隕石だけが発見されたものである。発見された隕石の頻度は、iron meteorite は、40% を占める。隕石というと iron meteorite を想像するが、あながち間違った印象ではない。しかし、地球に落下する隕石は、必ずしもこのようないくつかない。

Fall のデータを見てみると、iron meteorite は、5% 弱にすぎない。地表で隕石と認識しやすいのは、地球の岩石とはおおきく異なる iron meteorite である。金属鉄は、地表では非常に稀なものであるため、研究者でなくとも容易に発見することができる。また、隕石の探索に金属探知器を利用することによって、iron meteorite はより発見されやすくなる。このような理由で iron meteorite がたくさん発見されている。

正確な種類毎の落下頻度は、Fall のデータと南極隕石のデータに依らなければならない。落下した隕石の頻度 (Fall) では、stony meteorite が 94% を占める。そのうち achondrite が 8% 弱で、87% は chondrite である。また、南極隕石では、99% が stony meteorite である。その内 achondrite は 3% 弱と非常に少なく、stony meteorite は 96% と非常に多くなっている。

いずれにしても、iron meteorite は、稀な隕石である。これは、地球外の隕石の供給地には、iron meteorite が非常に少ない物質であることを示している。

地表に隕石が、年間どれくらいの量降ってくるのかを正確には求められていない。しかし、このような隕石の落下頻度、あるいは隕石の分類群に基づいた頻度を求めることが可能である。その方法は簡単である。裸氷帶のある一定の面積を、何年か後に再調査して、隕石を採集すればよい。

南極の隕石収集の調査によると、裸氷帶の 2km²を 4 年後に調べてみると、新たに 17 個の隕石が発見された。平均すると 1km²当たり年間 2 個程度の隕石が見つかることになる（国立極地研究所、1987）。この比は、隕石が氷床によって氷の表面に露出する比率を示すのだが、解けた氷床の堆積当時の広さと、堆積速度が見積もることができれば、単位面積・単位時間での隕石の平均落下頻度が求めることが可能である。

地球に落ちてくる隕石の大部分が stony meteorite であるということは、隕石の供給地には、iron meteorite や stony-iron meteorite は少ないと考えなければならない。また、

表 1. 隕石種ごとの落下頻度.

Type	Total	%	Fall	%	Find	%	Antarctica	%
Stony	1813	69.44	853	94.25	960	56.27	8010	99.20
Chondrite	1681	64.38	784	86.63	897	52.58	7783	96.38
C	67	2.57	35	3.87	32	1.88	134	1.66
LL	96	3.68	66	7.29	30	1.76		
L	669	25.62	319	35.25	350	20.52		
H	681	26.08	276	30.50	405	23.74		
E	24	0.92	13	1.44	11	0.64		
others	7	0.27	3	0.33	4	0.23		
Achondrite	132	5.06	69	7.62	63	3.69	227	2.81
Aubrite	11	0.42	9	0.99	2	0.12		
Diogenite	15	0.57	9	0.99	6	0.35		
Eucrite	55	2.11	25	2.76	30	1.76		
Howardite	24	0.92	18	1.99	6	0.35		
Ureilite	17	0.65	4	0.44	13	0.76		
others	10	0.38	4	0.44	6	0.35		
others	137	5.25	72	7.96	65	3.81		
Stony-iron	73	2.8	10	1.10	63	3.69	16	0.20
Mesosiderite	32	1.23	6	0.66	26	1.52		
Pallasite	39	1.49	3	0.33	36	2.11		
Lodranite	2	0.08	1	0.11	1	0.06		
Iron	725	27.77	42	4.64	683	40.04	49	0.61
IAB	107	4.1	6	0.66	101	5.92		
IC	11	0.42	0	0.00	11	0.64		
IIAB	68	2.6	5	0.55	63	3.69		
IIC	7	0.27	0	0.00	7	0.41		
IID	15	0.57	3	0.33	12	0.70		
IIE	14	0.54	1	0.11	13	0.76		
IIF	5	0.19	1	0.11	4	0.23		
IIIAB	197	7.55	8	0.88	189	11.08		
IIICD	21	0.8	2	0.22	19	1.11		
IIIE	13	0.5	0	0.00	13	0.76		
IIIF	6	0.23	0	0.00	6	0.35		
IVA	56	2.14	3	0.33	53	3.11		
IVB	12	0.46	0	0.00	12	0.70		
others	193	7.39	13	1.44	180	10.55		
Sum	2611		905		1706		8075	
Unclassified							770	
Doubtful	173		54		21			
Grand Total	2784		959		1727		8845	

Total と Fall, Find のデータは Graham et al. (1985) による。南極隕石は現在 14,000 個見つかっている。ここでは、分類が明らかにされている 1912 年から 1986 年のデータを使った (National Institute of Polar Research, 1987)。量比 (%) は、各種の隕石の個数を Sum の個数で割ったものである。

stony meteorite の中でも、achondrite より chondrite が多いというのは、隕石の供給地の環境を考える上でも非常に重要な束縛条件になる。後述のように、形成年代や化学組成、鉱物組み合わせなどから、ある種の隕石は地球の起源物質であると考えられる。あるいは、隕石と地球は同じようなプロセスで形成されたと考えられている。隕石が、地球の材料物質の名残であるとすると、地球の材料物質は、一般的に抱く「隕石=鉄」というイメージとはほど遠い、石が地球を作ったということになる。

各種の隕石の履歴を調べることは、惑星形成の時代を調べることを意味する。別の言葉でいえば、隕石は「惑星の化石」といえる。

4 隕石のふるさと

隕石は、形成以来、地球に落ちてきたときの大きさのまま宇宙空間にあったわけではなく、ある時にどこかの小天体から飛び出したものである。このようなプロセスは、化学的に解明可能である。

宇宙には宇宙線が満ちている。宇宙線は、物質を貫通できる距離が非常に短かい。母天体から大量の隕石サイズの破片が飛び出したとき、隕石の割れ目は、初めて宇宙線の照射を受けることになる。隕石が母天体から飛び出し、宇宙線にさらされ、地球に捕らえられるまでの期間を、照射年代と呼ぶ。

宇宙線の照射を受けると原子に破碎反応がおきる。破碎反応によって2次宇宙線が生成され、べつの破碎反応を引き起こす。宇宙線によって形成される放射性核種で、半減期の短いものは、放射性核種の生成速度と崩壊速度が平衡に達する。このような核種と、もう一つ、破碎反応ができる安定核種か半減期が長い放射性核種の比を用いることによって、宇宙線にさらされた年代がわかる。

その結果、大部分の stony meteorite は、3500万年以下の短い年代で、連続的な頻度分布を示す。もっとも長いものでも、9000万年程度である (Nagao et al., 1983)。stony meteorite は、地球に落下するときに、表面付近の古い部分が、大気との摩擦のために削剥したと考えられている (Chapman, 1981)。

一方、iron meteorite は、照射年代の頻度にいくつかのピークがみられる。ピークは、1億年以下のもの、2億年、4億年、6億年、9億年頃である。古いものでは、14億年のものまである。iron meteorite のこのようなピークは、隕石を供給した小天体に大規模な衝突がおこった時期を示していると考えられる (Chapman, 1981)。

隕石の落下軌跡から、隕石の軌道を求めることができる。原理的には2カ所以上の地点で落下の軌跡が得られれば、隕石の軌道が計算できる。今まで多数の隕石の落下が目撲されているが、隕石の軌道が求められているのは、非常に少なく、現在までで5個しかない。Lost City (H5), Pribram (H5), Innisfree (LL5), Dhajala (H3-4), Peekskill (ordinary chondrite, H6) である。

1992年にU.S.A.のNew Yorkに落下した Peekskill は、つい最近求められたものである (Brown et al., 1994)。多くの目撲者の中には、ビデオでとらえた人が少なくとも 14人もいた。このような豊富なデータから Peekskill の軌道は求められた。

5つの隕石の軌道を見てみると、当然のことながら地球を横切る軌道を持つ。つまり近日点は地球より内側 (< 1 AU) にある。遠日点は、小惑星の主ベルト内や主ベルトを横切るものである。現在確認されている隕石の軌跡から、いずれも小惑星帯に由来するものと考えてよい (Chapman, 1981)。

小惑星の表層物質は、反射光のスペクトルから推定できる。小天体の表層物質は、各種の鉱物や隕石の反射スペクトルと小天体のものを比較することによって推定されている (Wetherill & Chapman, 1988)。

表2に、小惑星の反射スペクトルによる区分を示した。このようにして分類された小惑星は、小惑星帯に均質に分散するのではなく、class 毎にその軌道は違っている (図3)。

小惑星は、主な隕石と対比できる (表2)。carbonaceous chondrite は、Class C, T, K の小惑星で主ベルトの外側 (2.5 ~ 3.5AU) に分布する。achondrite は、Class A, Q, R, V, E で主ベルトではなく、ユニークな小惑星で、ベルトにある。しかし、隕石の大部分を占める ordinary chondrite は、主ベルトではなく、地球を横切ったり近づいたりする軌道を持つアポロ・アモール群の隕石である。stony-iron meteorite や iron meteorite は、Class M, S の小惑星でやはり主ベルトにある。

主ベルトの小惑星は、ほとんど (70 %) は carbonaceous chondrite 類似の表面を持っている。ここ的小惑星は、粘土鉱物や炭質物をもつ低温で形成された C1 から C2 の carbonaceous chondrite でできているが、C2 carbonaceous chondrite の表面物質をもつ小惑星はベルトの外ほど多くなる傾向がある。ordinary chondrite タイプの小惑星は、小惑星帯の主ベルトにはほとんど見られない。地球に近づく軌道を持つために、隕石の落下頻度の大部分を占めるということは説明しやすい。アポロ・アモール群小惑星は、短寿命である。どこからか、アポロ・アモール群への小惑星の供給が必要である。主ベルトからの供給か彗星がその供給源であるかの2説がある。いずれにしても、問題は、隕石の頻度分布と全小惑星の頻度分布は大きく異なることである。

III 隕石の多様性

人類は月に行き、試料を手に入れた。人類は、次のターゲットとして、火星の試料を入手しようとしている。しかしながら、地球外の物質を現地に行って入手するのは、莫大な費用と人材を必要とし、危険を伴う。隕石は、人類が手に出来る数少ない地球外物質である。現在でもその重要性は、増すことはあれ減ることはない。ここでは、隕石の基本的な特徴、分類、岩石記載そして化学組成をまとめる。

表 2. 小惑星の分類.

Low-Albedo (< 0.1) Classes

- Class C common in the outer part of the main belt, classified into B, F, G
CI, CM chondrites
- Class D rare in the main belt,
 and dominant beyond the 2:1 resonance with Jupiter at 3.24 AU
 surface of kerogen-like materials
no meteoritic analogues
- Class P common near the outer edge of the main belt
 surface of probably C-rich material
no meteoritic analogues
- Class T rare and of unknown composition
altered carbonaceous chondrites
- Class K CV and CO chondrites

Moderate-Albedo classes

- Class A rare type
 surface of olivine and weak pyroxene feature
brachinites
- Class M common in the main belt
 surface of Fe-Ni metal
iron meteorites
- Class Q unique to 1862 Apollo and possibly two other Earth-approaching asteroids
ordinary (H, L, and LL) chondrites
- Class R unique to 349 Dembowska
 surface of olivine, pyroxene, and some metal
olivine-rich achondrite
- Class S very common in the inner parts of the main belt,
 and among Earth-approaching asteroids
 surface of metal, olivine, and pyroxene
pallasites and some iron meteorites
- Class V unique to 4 Vesta and Amor type 3551 1983 RD
 surface of pyroxene feature
basaltic achondrites

High-Albedo (> 0.3) Class

- Class E uncommon type
enstatite chondrites

分類は、Albedo と表面の反射スペクトルでおこなわれている。各 Class の小惑星帯で占める地域を示した。また表面物質とその類似隕石も示した。データは Wetherill & Chapman (1988) と Taylor (1992) による。

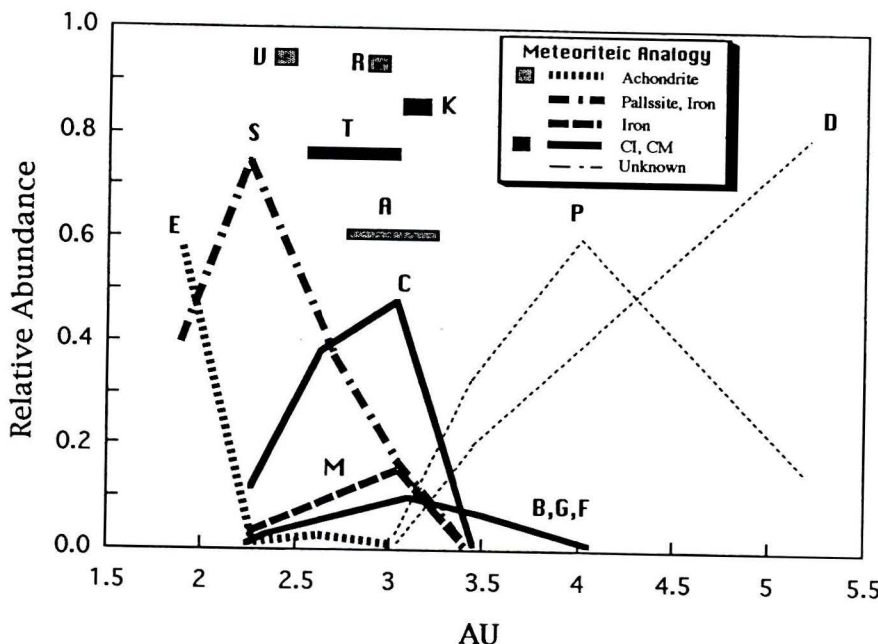


図 3. 小惑星の相対比と軌道半径.
 Taylor (1992) による。

隕石は、その岩質や鉱物組み合わせ、化学組成、組織などの違いにより、いくつかのタイプに区分される。一番最初の区分は、構成鉱物種による分類である。

隕石の造岩鉱物は、olivine（カンラン石）、pyroxene（輝石）、plagioclase（斜長石）からなる珪酸塩鉱物と、Ni-Fe合金からできている。珪酸塩鉱物と金属の量比から、珪酸塩鉱物を主とするの stony meteorite（石質隕石）、珪酸塩鉱物と金属からなる stony-iron meteorite（石鉄隕石）および金属からなる iron meteorite（鉄隕石あるいは隕鉄）に大別される。

1 Stony Meteorite

Stony meteorite は、chondrule（コンドリュール、顆粒）を含む chondrite と、含まない achondrite の大きく 2 種に分かれる。

chondrite は、化学組成が太陽大気に類似しているものがあったり、chondrule が残っていたりして、物理的・化学的分化を受けていないために未分化（始源的ともいう）と呼ばれる。一方、achondrite は、太陽大気組成とは異なり、物理的・化学的に分離・分化した化学組成を示すことから、分化した隕石という。また、stony-iron meteorite および iron meteorite も分化したものとなる。

i Chondrite

chondrite は、隕石の中ではもっとも多く見られるものである。chondrite の構成は、一般には chondrule と fragment（chondrule の破片、結晶片を含む）、inclusion からなり、その間を matrix が充填している。

chondrite は、化学組成と鉱物種の違いにより、以下のよ

うな 5 つのグループに区分される（表 3）。carbonaceous chondrite（炭素質コンドライト、C と略される）、amphotelite（アンフォテライト、LL と略される）、olivine-hypersthene chondrite（カンラン石-ハイパーサン・コンドライト、L と略される）、olivine-bronzite chondrite（カンラン石-ブロンザイト・コンドライト、H と略される）および enstatite chondrite（エンスタタイト・コンドライト、E と略される）である。

一番金属相が多いのは E タイプで、ついで H, L, LL, C となる。金属相が多い chondrite は、珪酸塩鉱物中の Fe 含有量が少なくなっている。逆に、金属相が少ないものは、珪酸塩鉱物中の Fe 含有量も少なくなっている（図 4）。タイプの違いはさまざまな化学組成にも反映されている。

chondrite の造岩鉱物は、olivine や Ca-poor pyroxene（orthopyroxene, enstatite）、Ca-rich pyroxene（augite, pigeonite）、plagioclase を主とし、spinel, silica などの珪酸塩鉱物と、Ni-Fe 鉱物（kamacite や taenite など）と troilite（FeS）などの非珪酸塩鉱物からなる。

chondrite のうち carbonaceous chondrite は、金属 Fe をほとんど持たず、Fe は珪酸塩鉱物に含まれる。珪酸塩鉱物は、主に serpentine である。Fe の一部は、 Fe^{3+} となり magnetite を形成している。これは、carbonaceous chondrite は、非常に酸化的な条件で形成されたものであることを示している。carbonaceous chondrite には、さらに、 H_2O や炭化水素、有機物も多く含んでいる。carbonaceous chondrite と hypersthene chondrite の中間的な性質のものを amphotelite と呼ぶ。

carbonaceous chondrite と enstatite chondrite は、非常に稀であるの対し、amphotelite と olivine-hypersthene

表 3. chondrite の特徴。

Type	matrix	olivine	pyroxene	Mg/Si	Ca/Si	Fe/Si	Fe ratio	minerals
CI	> 95	serp		1.05	0.064	0.86	0	mt, dl, pyrr, sulf
CM	85~55	serp		1.05	0.068	0.80	0	toch, calc, arag, mt, eps, pent, pyrr
CO	40~30	Fa 60-30		1.05	0.067	0.77	0-0.2	phyllosilicate
CV	50~35	Fa 60-40	Ca-rich (Fs 50-10, Wo 50-45)	1.07	0.084	0.76	0-0.3	ne, sdpent, tr, mt
C4-5	80~50	Fa 40-30	Ca-rich and Ca-poor					pl (An 90-20), mt, pent, pyrr
H3, L3, LL3	5~15	Fa 30-20	Ca-poor (Fs 20-1)	0.77-0.96	0.0035-0.0050	0.52-0.81	0.11-0.83	glass, tr, Fe, Ni, mt
	olivine mode	Fa	Ca-poor pyroxene mode En:Fs:Wo	Ca-rich pyroxene mode En:Fs:Wo	plagioclase mode Or:An:Ab	troilite mode	kamacite mode Co	taenite mode
E	-	-	50-60 98.4:0.3:1.3	- -	5-10 4.0:15.0:81.0	5-10	15-25 -	0
H	33.37	16-20	23-27 81.6:16.8:1.6	4.5 48.8:6.0:45.2	9-10 5.8:12.3:81.9	5-6	15-17 5.2	2-3
L	45.49	23-26	21-25 77.3:20.9:1.8	4.5 47.7:7.6:44.7	9-10 5.6:10.2:84.2	5-6	6-8 10.6	2-3
LL	56.60	27-32	14-18 72.6:25.2:2.2	4.5 46.5:9.6:43.9	9-10 3.6:10.5:85.9	5-6	1-2 32.9	2-4

表の上半分は、carbonaceous chondrite の岩石記載と化学組成の特徴を示した。データは Scott et al. (1988) と Sears & Dodd (1988), 小沼 (1987) による。Fe ratio は、metal 中の Fe を全体の Fe で割ったもの。略号: serp: serpentine; mt: magnetite; dl: dolomite; purr: pyrrhotite; sulf: sulfates; toch: tochilinite; calc: calcite; arag: aragonite; eps: epsomite; pent: pentlandite; tr: troilite; ne: nepheline; sd: sodalite; pl: plagioclase. 表の下半分は、chondrite の岩石記載と化学的特徴を示した。Mode は wt% で示した。Co の含有量は mg/g で示した。データは Van Schmus (1969) と Sears & Dodd (1988), 小沼 (1987) による。

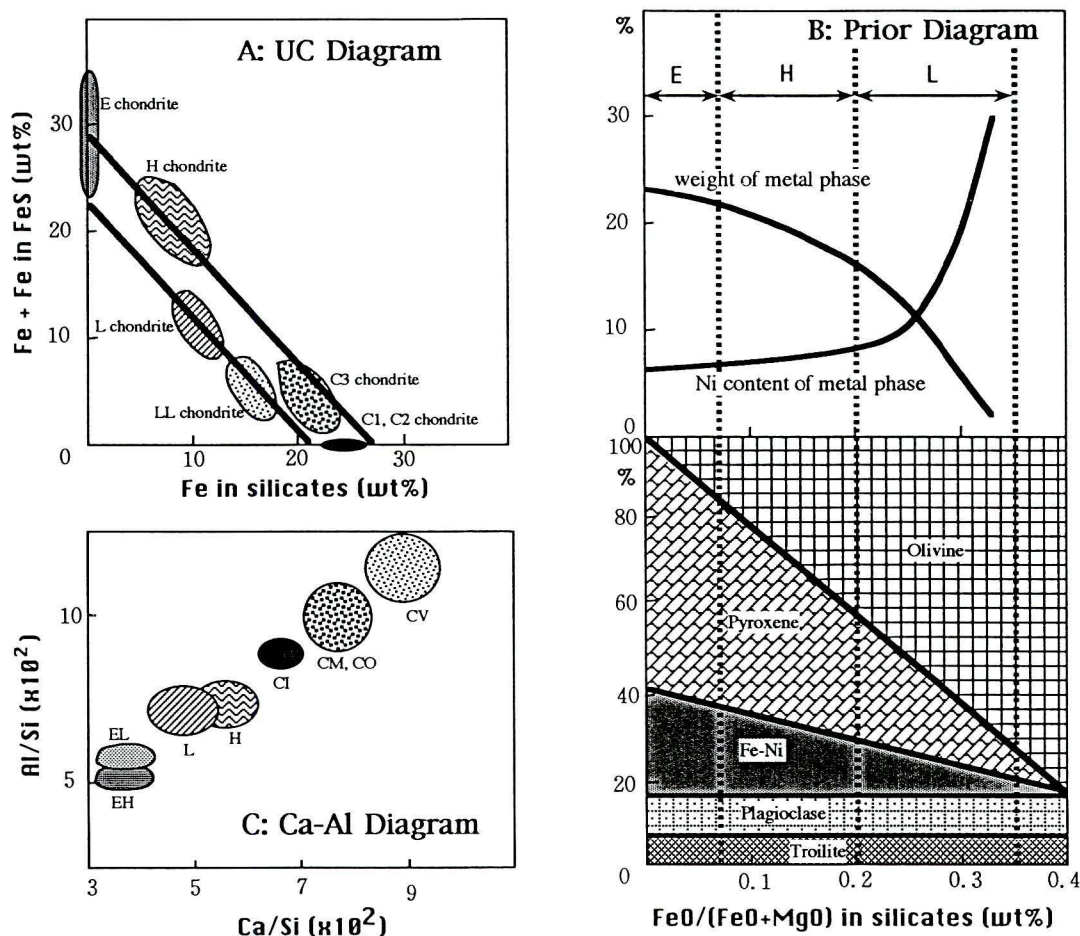


図 4. chondrite の区分図。

A: UC 図, Urey & Craig (1953) を改変 ; B: Prior 図, 小沼 (1987) を改変 ;
C: Ca-Al 図, Wasson (1985) を改変 .

chondrite, olivine-bronzite chondrite の 3 つは、ごくありふれた chondrite なので、まとめて ordinary chondrite (普通コンドライト, ○タイプ) と呼ばれる。

Van Schmus and Wood (1967) は、chondrite の岩石学的な区分をした。同じタイプの chondrite でも、岩石学的な組織が連続的に変化していく。Van Schmus and Wood は、その岩石学的变化に着目して、1 から 6 に区分した (表 4)。chondrule がなくすべて細粒の matrix からなるタイプ 1, chondrule の輪郭の明瞭なタイプ 2 と 3, 輪郭が不明瞭になるに従ってタイプ 4, 5, 6 までの 6 つに区分した。岩石学的タイプの違いは、chondrite 形成後に受けた熱変成の程度の違いを表していると考えられている。タイプ 1 から 6 になるにしたがって、熱変成の程度は強くなる。

この岩石学的タイプは、鉱物の化学組成や結晶構造なども考慮された総合的なものである。すべての chondrite に適用可能な区分法なので、C と E, H, L, LL と組み合わされて利用される (図 5)。タイプ 1 と 2 は、carbonaceous chondrite のみにみられ、それ以外の E, H, L, LL はタイプ 4 から 6 が適用される。このような岩石学的タイプ分け

を、C, E, H, L, LL に続けて書き、chondrite を細分している。

以上の分類に加えていくつかより詳細な分類が提案されている。例えば、衝撃変成作用の程度によって a から f まで細分し、L5c のように今までの分類名後ろにつけ加えるというものがいる (Dodd & Jarosewich, 1979)。あるいは衝撃の程度を熱ルミネッセンスを測定するという定量的な方法などもある (Sears et al., 1982a)。このような分類は必ずしも普及していない。

chondrite は、chondrule の集合である。chondrule は、さまざまな物理化学条件で形成されたものであるため、chondrite 内では一般に chondrule 同士は平衡関係に達していない。逆に、岩石タイプの大きいものは、変成作用が進み平衡に達している。ordinary chondrite や enstatite chondrite を、平衡か非平衡かで区分することがある。carbonaceous chondrite は岩石タイプが 1~4 と小さいために非平衡である。carbonaceous chondrite や ordinary chondrite と enstatite chondrite の非平衡なものは、母天体での変化をあまり受けず、より初期の原始太陽系の情報を保持してい

表 4. chondrite の岩石学的分類.

Petrographic Types	1	2	3	4	5	6
Homogeneity of olivine and pyroxene compositions	-	>5%	>5%	<5%	Uniform	Uniform
Development of Low-Ca pyroxene	-	Predominantly monoclinc	Predominantly monoclinc	Monoclinic	Monoclinic	Orthorhombic
Secondary feldspar	-	Absent	Absent	>20% <2μm	<20% <50μm	>50μm
Igneous glass	-	Clear, isotropic, primary, variable abundance	Clear, isotropic, primary, variable abundance	Turbid if present	Absent	Absent
Ni content in metals	-	<20%	>20%	>20%	>20%	>20%
Taenite	-	absent or very minor	present	present	present	present
Kamacite	-	-	present	present	present	present
Ni content in sulfide	-	>0.5%	<0.5%	<0.5%	<0.5%	<0.5%
Chondrules	None	Very sharp	Very sharp	Well-defined	Readily delineated	Poorly defined
Matrix	All fine-grained, opaque	Much opaque	opaque	Transparent microcrystalline	Recrystallized	Recrystallized
Bulk C Content	~3.5%	1.5-2.8%	0.1-1.1%	<0.2%	<0.2%	<0.2%
Bulk H ₂ O Content	~6%	3-11%	<2%	<2%	<2%	<2%

データは Taylor (1992) のコンパイルを使用した。

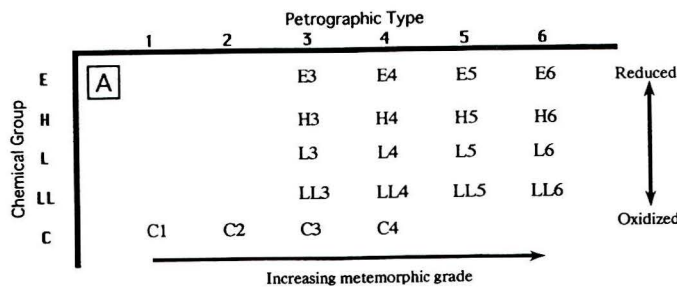


図 5. chondrite の区分と Fe の変化。

A: 岩石タイプと化学的グループによる区分, B: 岩石学的タイプによる chondrite の各相における Fe の量と変化 (杉浦, 1992).

る。一方、平衡は chondrite は、母天体での変成作用や熱の履歴を保存している。

南極隕石には、岩石タイプで 7 (LL7: Y-74160, H7: Y-75008) や、E と H の中間的なもの (ALH-77081, ALH-78230, Y-74063) などユニークな隕石が発見されている (国立極地研究所, 1987)。タイプ 6 と比べると、タイプ 7 は、pyroxene と plagioclase が粗粒になっている。

carbonaceous chondrite

carbonaceous chondrite は、金属相を小量かまったく含まないタイプである。各タイプの代表的な全岩化学組成を表 5 に示した。タイプ毎に主要成分や H₂O や C などの揮発成分、Fe や Ni, FeS などの金属や硫化物などの含有量も差が見られる。Wiik (1956) は、それまで少なかった carbonaceous chondrite の分析値を増やし、その性質を調べた。Wiik は、carbonaceous chondrite は、揮発成分の量によって 3 つのグループに分けた。揮発成分の多い順に、タイプ I, II, III と呼んで区分した。タイプ I は H₂O が 10~20wt%, C が 3~4wt%, タイプ II は H₂O が 2~10wt%, C が

0.5~2wt%, タイプ III は H₂O が <2wt%, C が 0.5wt% 以下となる。carbonaceous chondrite の揮発成分をのぞくと Fe と FeO の含有量の合計は、25~26wt% で H グループに近い。タイプ I, II, III は、1, 2, 3 にほぼ対応する。

carbonaceous chondrite は、代表的な隕石名によって CI (I は Ivuna による), CM (M は Mighei), CV (V は Vigarano) そして CO (O は Ornans) に細分される (Van Schmus & Hayes, 1974; Wasson, 1974)。稀なタイプとして CR (R は Renazzo) がある。

2 つの分類を現在では併用している。隕石名の略号と岩石学的なタイプ分けを統けて書く。タイプ 1 から 4 まである。CI は Wiik の分類によるタイプ I に、CM と CR はタイプ II に、CV と CO はタイプ III に、CV はタイプ II と III にそれぞれ対応する。

このような化学組成の違いのほかに、構成鉱物の違いも認められる。一番の違いは、matrix と chondrule の量の違いである。CI では chondrule はなく、CM, CO, CV の順で chondrule の量が増え、逆に matrix の量が減る (表 3)。

表 5. Carbonaceous Chondrite の主要化学組成。

Type Name	CI Orgueil	CI Tonk	CI Ivuna	CM2 Murray	CM2 Marchison	CM2 Y82042	CM2 Y74662	CM2 B7904	C2 average	CO3 Lance	CO3 ALH77003	CV3 Allende	CV3 ALH77307	C3 average	C4 Y693
SiO ₂	22.56	22.42	22.71	28.69	29.07	25.52	19.18	31.49	28.14	33.23	34.09	34.23	29.83	31.97	33.71
TiO ₂	0.07	0.09	0.07	0.09	0.13	0.15	0.22	0.16	0.18	0.13	0.13	0.15	0.07	0.16	0.25
Al ₂ O ₃	1.65	1.92	1.62	2.19	2.15	1.58	2.38	3.30	2.76	2.93	2.81	3.27	2.06	2.99	3.12
Fe ₂ O ₃	-	-	-	-	-	15.14	-	0	8.61	-	-	-	17.94	3.03	9.60
FeO	11.39	9.40	9.45	21.08	22.39	6.69	22.53	21.91	13.84	24.8	20.42	27.16	9.38	24.06	18.36
MnO	0.19	0.15	0.23	0.21	0.20	0.26	0.22	0.25	0.25	0.20	0.21	0.18	0.20	0.23	0.19
MgO	15.81	13.71	16.1	19.77	19.94	18.79	19.29	23.71	19.45	23.54	23.99	24.63	21.32	23.55	25.26
CaO	1.22	1.34	1.89	1.92	1.89	1.69	1.70	2.22	1.82	2.64	2.23	2.61	1.89	2.06	2.42
Na ₂ O	0.74	3.24	0.75	0.22	0.24	0.48	0.28	0.66	0.24	0.58	0.58	0.45	0.17	0.45	0.45
K ₂ O	0.07	0.36	0.07	0.04	0.04	0.03	0.04	0.04	0.04	0.14	0.06	0.03	0.02	0.05	0.04
P ₂ O ₅	0.28	0.11	0.41	0.32	0.23	0.25	0.23	0.37	0.29	0.32	0.26	0.23	0.30	0.26	0.28
Cr ₂ O ₃	0.36	0.12	0.33	0.44	0.48	0.43	0.52	0.50	0.47	0.49	0.50	0.52	0.47	0.51	0.52
NiO	1.23	0.86	1.34	1.5	1.75	-	0.85	-	-	-	0	-	-	-	-
CoO	0.06	-	0.06	0.08	-	-	-	-	-	-	0	-	-	-	-
Fe	0	0.33	0	0	0.03	-	-	-	-	2.19	6.60	0.17	-	-	-
Ni	0	0.07	0	0	-	0.53	-	1.21	0.85	1.5	1.23	0.36	1.11	0.85	1.18
Co	0	-	0	0	-	0.03	0.059	0.028	0.049	0.07	0.057	0.01	0.043	0.049	0.045
FeS	15.07	16.11	18.38	7.67	7.24	6.90	7.38	11.45	7.68	6.49	4.79	4.03	5.42	-	4.23
NiS	-	-	-	-	-	-	-	-	-	-	-	1.60	-	-	-
CoS	-	-	-	-	-	-	-	-	-	-	-	0.08	-	-	-
C	3.1	2.7	4.83	2.78	1.85	0.068	1.514	-	-	0.46	-	0.29	-	-	0.061
S	-	-	-	-	0.49	-	3.490	-	-	-	-	-	-	-	1.604
H ₂ O	19.89	21.66	18.68	14.42	10.09	6.77	13.26	2.1	15.02	1.4	1.6	<0.1	6.1	3.34	0.1
Volatile	6.96	-	-	0.62	-	-	-	-	-	-	-	-	-	-	-
Ref.	1	2	2	1	3	4	4	4	4	1	4	3	4	4	4

引用. 1: 小沼 (1978) ; 2: Wiik (1956) ; 3: 増田ほか (1991) ; 4: 国立極地研究所 (1987) .

chondrule や鉱物の破片でできた fragment (岩片) も chondrule の増減に伴った変化をする (McSween, 1979; Ikeda, 1982)。

amphotelite (LL)

amphotelite の珪酸塩鉱物は olivine (Fo 68~73 mol%) と hypersthene, Ni と Co に富む金属相を約 7wt% 以下を伴う。 ordinary chondrite のなかでは olivine が一番多い, 逆に, Ca-

表 6. Amphoterites (LL) の主要化学組成。

Type Name	LL3 Chainpur	LL3 Ngawi	LL3 Semarkana	LL4 Dalgety	LL4 Arkansas	LL4 Hamlet	LL4 Soka-Banja	LL6 Y-75258	LL6 Y-74646	LL6 Nas	LL average	LL average
SiO ₂	40.63	40.36	40.16	38.60	41.05	41.43	38.74	40.26	40.96	39.58	40.20	
TiO ₂	0.09	0.10	0.10	0.11	0.14	0.1	0.18	0.15	0.18	0.14	0.14	
Al ₂ O ₃	2.63	2.57	2.23	2.80	2.64	2.3	2.03	3.37	2.23	2.52	2.59	
FeO	16.29	18.14	17.57	12.10	17.43	17.52	25.38	19.02	18.9	19.86	19.42	
MnO	0.32	0.36	0.35	0.28	0.28	0.33	0.36	0.37	0.35	0.34	0.30	
MgO	25.14	25.60	24.86	24.00	25.25	26.5	25.05	25.11	25.7	25.70	25.32	
CaO	1.55	1.83	2.04	2.10	2.12	1.80	1.79	1.72	1.62	1.78	1.77	
Na ₂ O	0.75	0.99	0.96	0.90	1.02	1.20	0.93	0.97	0.84	0.87	0.89	
K ₂ O	0.12	0.09	0.10	0.10	0.07	0.07	0.08	0.13	0.12	0.11	0.16	
P ₂ O ₅	0.36	0.18	0.24	0.19	0.28	0.14	0.34	0.25	0.2	0.25	0.26	
Cr ₂ O ₃	0.70	0.62	0.49	0.48	0.56	0.54	0.57	0.78	0.59	0.58	0.44	
Fe	3.02	0.60	2.05	9.20	2.86	3.07	-	1.96	1.46	1.33	1.65	
Ni	0.96	1.06	1.16	1.40	0.90	0.91	-	1.01	0.99	0.95	0.96	
Co	0.04	0.05	0.05	0.05	0.06	0.04	0.024	0.031	0.06	0.025	0.06	
FeS	6.44	6.08	5.32	6.30	5.81	5.00	3.75	4.59	6.36	5.27	6.04	
H ₂ O	1.1	1.78	1.62	1.00	0.04	<0.01	0.20	0.64	0.13	0.49	-	
Ref.	1	1	1	2	1	2	3	4	5	4	1	

引用. 1: Dodd et al. (1967) ; 2: Easton & Elliott (1977) ; 3: National Institute of Polar Research (1979) ; 4: 国立極地研究所 (1987) ; 5: 小沼 (1978) .

表 7. L Chondrites の主要化学組成。

Type Name	L3 Y-74191	L3 Carrareena	L3 Bishunpur	L4 Rupota	L4 Bjurbole	L4 Barratta	L5 Imm	L5 Ruaba	L5 Ohuma	L6 Leedey	L6 Y-74362	L6 Modoc	L average	L average
SiO ₂	40.09	40.39	40.54	39.53	42.00	40.61	39.63	38.43	40.32	38.63	39.29	39.32	39.88	
TiO ₂	0.24	0.10	0.15	0.12	0.09	0.12	0.08	0.11	0.12	0.14	0.12	0.10	0.10	0.15
Al ₂ O ₃	2.89	1.59	2.23	2.14	2.48	2.63	2.46	2.73	2.19	2.38	2.49	2.39	2.31	
FeO	14.68	14.32	11.89	14.17	15.30	15.63	12.68	13.09	12.43	15.62	14.96	15.13	13.12	
MnO	0.35	0.35	0.32	0.32	0.34	0.33	0.36	0.26	0.34	0.32	0.33	0.33	0.27	
MgO	24.89	26.15	25.06	24.43	26.60	25.32	25.15	23.36	24.94	25.38	27.78	25.52	24.98	
CaO	1.79	3.15	1.83	1.88	2.13	1.56	1.67	1.81	1.82	1.73	1.62	1.85	1.90	
Na ₂ O	0.97	0.67	0.95	0.94	1.12	0.95	0.59	1.07	1.00	0.88	0.93	0.90	0.88	
K ₂ O	0.13	0.09	0.10	0.08	0.12	0.11	0.14	0.10	0.11	0.20	0.1	0.09	0.14	
P ₂ O ₅	0.20	0.22	0.30	0.28	0.06	0.26	0.27	0.07	0.18	0.25	0.3	0.24	0.26	
Cr ₂ O ₃	0.75	0.35	0.51	0.51	0.54	0.46	0.32	0.61	0.52	0.43	0.55	0.52	0.44	
Fe	-	4.55	6.62	6.71	3.07	4.89	9.28	8.45	8.37	6.65	6.68	6.10	7.70	
Ni	0.85	1.10	1.05	1.24	0.91	1.20	1.59	1.24	1.21	1.08	1.3	1.10	1.12	
Co	0.032	0.06	0.06	0.05	0.04	0.08	0.06	0.10	0.06	0.04	0.08	0.08	0.036	0.06
FeS	5.01	6.52	6.47	6.56	5.00	6.25	5.35	7.77	6.42	6.03	6.46	6.04	6.17	
C	-	-	-	0.13	-	-	-	-	0.08	-	0.18	-	-	
H ₂ O	1.18	1.15	1.37	0.69	<0.01	0.30	0.03	<0.10	0.05	0.10	-	0.27	0.34	
Ref.	1	2	2	3	4	2	4	4	5	6	7	6	2	

引用. 1: National Institute of Polar Research (1979); 2: Dodd et al. (1967); 3: Jarosewich & Mason (1969); 4: Easton & Elliott (1977); 5: 増田ほか (1991); 6: 国立極地研究所 (1987); 7: 小沼 (1978) .

poor pyroxene が少ない。kamacite は少なく、Co の含有量が多い (3.29wt%)。表 6 に代表的な amphotelite の全岩化学組成を示した。

olivine-hypersthene chondrite (L)

olivine-hypersthene chondrite の珪酸塩鉱物は olivine (Fo

74~79 mol%) と hypersthene で、7~12wt% の金属相が共存する。化学組成の上では、amphotelite と olivine-bronzite chondrite の中間的なものである。表 7 に代表的な olivine-hypersthene chondrite の全岩化学組成を示した。

表 8. H Chondrites の主要化学組成。

Type Name	H3 Bremervorde	H3 Clovis(No.3)	H3 Tieschitz	H4 Ochansk	H4 Weston	H4 Gamett	H5 Forest City	H5 Guadalupe	H5 Geidam	H5 Richardson	H5 Y-74647	H6 Guarena	H average	H average
SiO ₂	37.64	35.40	36.84	37.45	36.59	37.81	37.07	36.62	39.00	36.62	36.74	35.64	36.52	
TiO ₂	0.10	0.10	0.08	0.08	0.13	0.10	0.15	0.13	0.10	0.17	0.12	0.10	0.13	
Al ₂ O ₃	2.23	2.06	2.40	2.28	2.23	2.20	2.09	2.62	2.40	2.19	2.04	2.00	2.43	
FeO	12.86	17.70	17.54	9.34	11.14	13.76	9.89	11.04	9.46	11.13	10.24	11.71	8.87	
MnO	0.31	0.31	0.34	0.30	0.32	0.30	0.28	0.32	0.31	0.33	0.32	0.28	0.25	
MgO	23.80	22.28	23.79	24.18	22.84	24.37	23.62	24.04	25.00	24.38	23.44	23.73	23.58	
CaO	1.42	1.64	1.61	1.79	1.78	1.64	1.75	1.75	1.84	1.66	1.60	1.76	1.82	
Na ₂ O	1.97	0.64	0.95	0.96	0.95	1.05	0.99	0.91	1.10	0.86	0.90	0.73	0.85	
K ₂ O	0.09	0.07	0.04	0.08	0.14	0.08	0.07	0.07	0.13	0.09	0.09	0.08	0.14	
P ₂ O ₅	0.27	0.33	0.21	0.13	0.32	0.14	0.34	0.31	0.20	0.26	0.27	0.23	0.23	
Cr ₂ O ₃	0.50	0.46	0.73	0.55	0.52	0.76	0.54	0.51	0.41	0.55	0.55	0.46	0.36	
Fe	12.65	5.09	8.10	16.70	14.87	11.59	16.21	15.68	16.19	15.45	16.30	15.80	17.23	
Ni	1.52	1.56	1.71	1.49	1.54	1.18	1.65	1.69	1.38	1.75	1.74	1.70	1.58	
Co	0.10	0.08	0.10	0.07	0.11	0.06	0.10	0.13	0.06	0.04	0.09	0.058	0.09	
FeS	5.95	6.36	5.34	4.82	5.31	3.33	0.521	4.63	2.87	4.87	5.48	5.45	5.35	
C	-	-	-	-	-	-	-	-	-	-	0.02	-	-	
H ₂ O	0.33	3.50	0.95	<0.01	1.08	1.58	0.39	0.57	-	-	0.15	0.29	0.33	
Ref.	1	1	1	2	1	2	3	1	2	4	5	4	1	

引用. 1: Dodd et al. (1967); 2: Easton & Elliott (1977); 3: 小沼 (1978); 4: 国立極地研究所 (1987); 5: 増田ほか (1991) .

表 9. E Chondrites の主要化学組成。

Type Name	EH3 Y-691	EH4 Indurh	EH4 Kota Kota	EL6 Pallister	EL6 Daniel's Kuil	E average
SiO ₂	37.98	35.26	38.70	39.83	32.80	35.23
TiO ₂	0.08	0.06	0.05	-	0.14	0.10
Al ₂ O ₃	1.56	1.45	1.24	2.17	1.54	2.72
Fe ₂ O ₃	0.48	-	-	-	-	-
FeO	-	-	1.33	-	0.14	2.43
MnO	0.25	0.25	0.39	0.02	0.14	0.24
MgO	19.28	17.48	21.10	20.94	20.90	18.90
CaO	0.45	0.95	1.01	0.62	1.50	1.20
Na ₂ O	0.86	1.01	0.90	0.80	0.44	0.79
K ₂ O	0.08	0.11	0.03	0.09	0.06	0.08
P ₂ O ₅	0.46	0.52	0.24	-	0.10	0.46
Cr ₂ O ₃	0.42	0.47	0.35	0.21	0.29	0.44
Fe	22.18	24.13	22.60	22.05	33.09	17.20
Ni	1.86	1.83	1.54	1.68	2.90	1.61
Co	0.09	0.08	0.08	0.08	0.13	0.064
FeS	11.91	14.20	9.46	9.02	6.28	14.54
C	-	0.43	-	0.18	-	-
H ₂ O	-	1.17	-	0.12	0.08	3.96
Ref.	1	2	3	4	3	1

引用. 1: 国立極地研究所 (1987); 2: 小沼 (1978); 3: Easton & Elliott (1977);
4: 増田ほか (1991) .

olivine-bronzite chondrite (H)

olivine-bronzite chondrite は、 olivine (Fo 80~85 mol%) と bronzite を含み、 Ni 含有量 7~1wt% の金属相を 16~21wt% 伴う。 ordinary chondrite のなかでは olivine が一番少ない、逆に、 Ca-poor pyroxene が多い。 kamacite は多く、 Co の含有量が少ない (0.52wt%)。表 8 に代表的な olivine-bronzite chondrite の全岩化学組成を示した。 enstatite chondrite (E)

enstatite chondrite は、 clinoenstatite (FeO をほとんど含まない) が主要な珪酸塩鉱物で、 Ni 含有量の少ない金属相を 13~25wt% 伴う (表 9)。 olivine や Ca-rich pyroxene をほとんど含まない。また、 硅酸塩鉱物中の Fe は少なく、 Fe が金属相や硫化物中に含まれる。そのため、 不透明鉱物の多いもの enstatite chondrite の特徴である。これらの特徴は、 enstatite chondrite が著しく還元的な条件で形成されたことを示している。このような環境は、 地球や月ではないもので、 この隕石固有の鉱物が多数発見されている (武田, 1982)。 enstatite chondrite の揮発成分をのぞくと、 Fe の含有量が多い (35wt%) グループと H グループに近いものと 2つに分かれる。あるいは鉱物種や組成によっても、 2つのグループに区分できる。親鉄元素を多く含む EH タイプと、 親鉄元素の少ない EL タイプに区分できる (Sears et al., 1982b)。 EH タイプは変成度が低く (EH3~5), EL タイプは変成度が高い (EH5~6)。

ii Achondrite

Achondrite は、 stony meteorite のうち chondrite のように

特徴的な組織を持たない (chondruleがない) ために、 地球上の岩石と区別しにくい。 achondrite は、 多様な岩石種が認められる。 achondrite は、 一般には chondrite より粗粒な岩石である。 achondrite の不透明鉱物は、 troilite や chromite (クロム鉄鉱) , ilmenite (チタン鉄鉱) で、 Fe-Ni 合金は含まない。

achondrite は CaO の含有量に基づいて、 Ca-poor (<3wt%) と Ca-rich (>5wt%) タイプに大別される。 Ca の含有量は鉱物組合せの違いとして認められる。 Ca の含有量が多い場合、 plagioclase や clinopyroxene が多くなる。一方、 Ca が少ない場合は、 orthopyroxene や olivine が多くなる。

Ca-rich タイプは、 地球上の玄武岩に似ているため、 basaltic achondrite と呼ばれる。 howardite, eucrite, nakhlite, angrite, shergottite および月起源の隕石 (anorthositic regolith breccia) がある。 Ca-poor タイプは、 aubrite, ureilite, diogenite, chassignite がある。

Ca の含有量に基づいた区分は、 必ずしも、 成因関係を考慮したものではない。そのため、 成因関係を重視したグループにまとめられている。 howardite, eucrite, ureilite は、 3種の頭文字をとって HED と呼ばれる。また、 shergottite と nakhelite, chassignite も成因関係があると考えられ、 SNC とまとめて呼ばれる。表 10 に、 achondrite の特徴的な鉱物と化学組成を示した。

enstatite achondrite (aubrite)

Ca-poor achondrite のうち、 輝石が純粋な enstatite に近い組成のものを、 enstatite achondrite (aubrite とも呼ばれる) という。 aubrite は、 金属鉄を全く含まない。 aubrite は、 非

表 10. Achondrites の特徴.

Type	Mineral Assemblages		Fe# in ol & px	Al ₂ O ₃ (wt%)	CaO (wt%)
HED	Aubrite	Mg-rich en	<0.1	0.2~2	0.6~2
	Diogenite	Fe-rich hy	>0.3	1~3	1~3
	Howardite	opx, pl	>0.3	4~12	4~10
SNC	Eucrite	pg, pl	>0.3	11~13	10
	Ureilite	ol, Ca-poor cpx, Fe-Ni, C	>0.3	0~1	0.1~2
	Shergottite	cpx, pl, (ol)	>0.3	2~6	2~11
SNC	Nakhlite	ol, Ca-rich cpx	>0.3	1~2	15
	Chassignite	ol	>0.3	0.4	2

: olivine と pyroxene の $\text{Fe}^{2+}/(\text{Fe}^{2+}+\text{Mg}^{2+})$ 比. 略号. en: enstatite; hy: hypersthene; ol: olivine; pl: plagioclase; pg: pigeonite; cpx: clinopyroxene; opx: orthopyroxene.

常に還元的な条件で形成され、E chondrite と似ている。aubrite は、E chondrite と成因関係があるとされている。E chondrite が部分溶融して固結し、金属鉄をまったく含まない岩石になったと考えられている（武田, 1982）。表 11 に代表的な aubrite の全岩化学組成を示した。

olivine-pigeonite achondrite (ureilite)

ureilite は、olivine と pigeonite で特徴づけられ、小量の Fe-Ni 合金を含む。結晶粒間に含まれる炭素は、おもに graphite (グラファイト、石墨) であるが、一部 diamond (ダイヤモンド) として存在する。olivine や pyroxene の Fe が還元されて金属 Fe を生じることもある。表 11 に、代表的な ureilite の全岩化学組成を示した。

eucrite

eucrite は、plagioclase (An_{80-97}) と pyroxene を主要な鉱物組み合わせとする。pyroxene は、主として pigeonite からなる。eucrite は、火成岩的組織を持ち、lava から cumulate まで様々な岩相を示す。多くの eucrite は、monomict breccia となっている。表 12 に代表的な eucrite の全岩化学組成を示した。

hypersthene achondrite (diogenite)

hypersthene achondrite (diogenite) は、orthopyroxene を主要な鉱物組み合わせとし、少量の chromite, troilite を含む。plagioclase はきわめて少ない。diogenite の orthopyroxene は、現在の pyroxene の分類法では、

表 11. Achondrites の主要化学組成.

Type	Aubrite	Aubrite	Ureilite	Ureilite	Ureilite	Ureilite	Ureilite	Ureilite	Shergottite	Shergottite	Nakhlite	Chassignite	Angrite	Moon
Name	Bishopville	ALH78113	Havero	Y74659	Y74123	Y790981	Y74130	ALH77257	ALH-77005	Zagami	Nakhla	Chassigny	Angra dos Reis	Y-791197
SiO ₂	57.03	57.16	40.25	42.91	33.21	36.60	42.12	41.12	43.02	50.90	48.27	37.00	43.94	43.14
TiO ₂	-	0.02	0.067	0.14	0.08	0.11	0.12	0.04	0.36	0.73	0.29	0.07	2.39	0.35
Al ₂ O ₃	1.71	0.18	0.26	1.07	0.90	0.52	0.83	<0.1	2.54	5.70	1.45	0.36	8.73	26.01
Fe ₂ O ₃	-	0	-	1.47	3.33	3.12	5.09	-	0.38	-	-	-	-	0.04
FeO	1.27	0.97	14.18	8.83	17.34	15.13	12.52	13.57	18.97	17.30	20.64	27.45	8.56	7.02
MnO	0.19	0.17	0.37	0.42	0.37	0.35	0.35	0.38	0.45	0.50	0.54	0.53	0.08	0.08
MgO	33.51	39.25	38.96	38.78	37.29	34.47	32.34	39.66	29.69	11.40	12.47	32.83	10.05	6.22
CaO	1.50	0.62	0.10	1.71	0.55	0.99	1.98	1.07	2.84	10.50	15.08	1.99	24.51	15.33
Na ₂ O	1.03	0.15	0.039	0.07	0.03	0.07	0.20	0.03	0.37	1.20	0.42	0.15	0.04	0.33
K ₂ O	0.09	0.02	0.012	<0.02	<0.02	<0.02	<0.02	<0.01	0.03	0.10	0.10	0.13	0.01	0.02
P ₂ O ₅	-	0	-	0.14	0.61	0.09	0.08	0.06	0.39	0.48	0.12	0.04	0.13	0.31
Cr ₂ O ₃	-	0.06	0.077	0.64	0.73	0.59	0.75	0.07	1.00	0.38	0.42	0.83	0.29	0.13
NiO	-	-	-	-	0.18	-	-	-	-	-	-	-	-	-
Fe-Ni	0.22	-	3.73	-	-	-	-	-	-	-	-	-	-	-
Fe	-	0	-	-	-	0.21	-	-	-	0.29	-	-	-	-
Ni	-	0.055	-	0.14	-	0.21	0.12	0.08	0.024	0.014	-	-	-	0.018
Co	-	0.003	-	0.003	-	-	-	-	-	<0.001	-	-	-	0.003
FeS	-	0.77	0.52	0.49	0.82	1.95	0.41	<0.01	0.25	<0.1	-	-	1.26	-
C	-	-	-	3.022	-	-	-	3.34	-	-	-	-	-	-
S	-	-	-	0.518	-	-	-	-	-	-	-	-	-	0.41
H ₂ O	-	0.69	-	3.82	4.11	5.71	3.44	0.18	0.28	0.20	-	-	-	0.58
Ref.	1	2	1	2	2	2	2	2	3	1	4	1	2	

引用. 1: 小沼 (1978); 2: 増田ほか (1991), 3: Easton & Elliott (1977); 4: 国立天文台 (1990).

表 12. HED の主要化学組成。

Type Name	Howardite Bununu	Howardite Y7308	Eucrite Juvinas	Eucrite Y75011	Diogenite Johnstown	DiogeniteA Y74013	DiogeniteB Y75032	DiogeniteB Y791000	DiogeniteB Y791199	DiogeniteB Y791200	DiogeniteB Y791422
SiO ₂	48.67	51.07	49.02	48.25	49.83	51.35	51.92	51.50	51.41	51.30	51.62
TiO ₂	0.11	0.22	0.58	1.03	-	0.13	0.40	0.30	0.18	0.30	0.26
Al ₂ O ₃	8.87	4.31	13.39	10.87	2.33	0.89	2.28	1.59	1.45	2.84	2.99
Fe ₂ O ₃	-	0.32	-	1.18	-	-	-	1.50	16.5	0	0.26
FeO	16.04	16.33	17.56	17.77	13.64	16.35	18.35	18.32	18.05	18.48	18.31
MnO	0.53	0.49	0.21	0.54	0.40	0.48	0.55	0.64	0.64	0.58	0.56
MgO	14.20	21.75	6.80	7.55	26.62	26.04	20.99	21.40	21.93	21.81	21.05
CaO	6.77	3.65	10.72	10.21	2.61	1.10	3.31	3.26	2.97	3.25	3.51
Na ₂ O	0.34	0.12	0.40	0.55	0.33	0.04	0.12	0.07	0.10	0.13	0.21
K ₂ O	0.04	0.02	0.17	0.05	0.10	0.02	0.04	0.03	0.04	0.04	0.03
P ₂ O ₅	-	0.03	0.17	0.15	0.03	0.09	0.03	0.08	0.08	0.15	0.03
Cr ₂ O ₃	0.56	0.89	0.31	0.40	1.00	2.49	0.72	0.70	0.80	0.65	0.63
NiO	-	-	-	-	-	0.0064	0.003	-	-	-	-
Fe-Ni	1.07	-	-	-	0.87	-	-	-	-	-	-
Ni	-	0.022	-	0.0038	-	-	-	0.0028	0.0052	0.0072	0.021
Co	-	0.003	-	0.003	-	0.003	0.003	-	-	-	-
FeS	0.96	0.59	0.27	1.06	1.55	0.82	0.30	-	0.67	0.52	0.56
H ₂ O	-	0.39	-	0.18	-	0.40	0.32	1.23	0.66	0.41	0.33
Ref.	1	2	1	2	1	2	2	2	2	2	2

引用. 1: 小沼 (1978); 2: 国立極地研究所 (1987) .

hypersthene ではなく bronzite と呼ばれる組成であることから, hypersthene achondrite という名称は適切ではなく、一般には diogenite と呼ばれる。mono-micte breccia (モノミクト角礫岩) であるが、granular や granoblastic 組織をもつものもある。表 12 に代表的な diogenite の全岩化学組成を示した。南極で発見された diogenite には特異なものが多い。タイプ A と呼ばれるものは、南極隕石のみに発見された種類で、orthopyroxene は完全に再結晶しており、2~5mm の大型の chromite を含むことがある。タイプ B は、diogenite の中でも、最も Fe に富むものである。

howardite

howardite は、plagioclase (An₈₀₋₉₇) と pyroxene を主要な鉱物組み合わせとする。pyroxene は、pigeonite と bronzite である。howardite は、diogenite と eucrite の混合物で、polymict breccia (ポリミクト角礫岩) である。そのためボリミクト状のものを howardite と呼ぶ (武田, 1982)。表 12 に代表的な howardite の全岩化学組成を示した。

shergottite

shergottite は、pyroxene と plagioclase (An₅₀) および小量のカンラン石からなる。pyroxene は、pigeonite と augite である。plagioclase は、衝撃のために溶け、glass が形成され、maskelynite 化している。shergottite は、今まで、4 個しか発見されている。南極隕石の 2 個が発見されるまで、2 個 (Shergotty, Zagami) しかなかった。表 11 に shergottite の全岩化学組成を示した。

nakhlite

nakhlite は、発見されている数は少ないが、clinopyroxene を主要鉱物とする。表 11 に nakhlite の全岩化学組成を示し

た。地球の ultramafic から mafic rock に似た組織を持つ。明らかに、重力下のもとに形成された組織を持つ。

chassignite

chassignite は、Fe に富む olivine を主要鉱物とし、少量の orthopyroxene と chromite を含む。火成岩的な組織を持ち、地球の dunite に類似した淡緑色の岩石である。表 11 に chassignite の全岩化学組成を示した。

angrite

angrite は、1 個しか発見されていない。angrite は、plagioclase と clinopyroxene を主要鉱物とし、少量の olivine と spinel からなる。粗粒の火成岩的組織を持つ。表 11 に angrite の全岩化学組成を示した。

anorthositic regolith breccia

anorthitic regolith breccia は、南極隕石で初めて発見された。今まで、5 個が知られている。1991 年、南極以外から初めて、月隕石が発見された (Hill et al., 1991)。anorthositic regolith breccia には、anorthositic clast を多く含む。fusion crust が、あめ色から緑色で、一般の黒色とは違っている (国立極地研究所, 1987)。FeO/MnO 比が、basaltic achondrite では 30 程度であるのに、南極隕石の anorthositic regolith breccia は、月の高地の岩石と同じ 80 程度である。その他、組織や REE, 希ガス, 酸素同位体, 同位体年代などのデータから、月の高地の岩石に酷似する。以上のようなことから、anorthositic regolith breccia は、月起源の隕石と考えられている。表 11 に anorthositic regolith breccia (Moon と表記) の全岩化学組成を示した。

表 13. Stony-iron meteorites の主要化学組成.

Type Name Part	Pallasite Marjalahti silicate	Mesosiderite Carb Orchard silicate	Mesosiderite Patwar whole	Lodranite Y-74357 whole	Lodranite Y-791493 whole
SiO ₂	40.24	49.59	25.76	37.66	34.90
TiO ₂	0.00	0.52	0.16	0.09	0.05
Al ₂ O ₃	0.01	9.81	5.86	0.20	0.90
Fe ₂ O ₃	0.68	0	-	7.55	6.02
FeO	10.92	15.35	6.86	4.00	6.12
MnO	0.28	0.57	0.31	0.37	0.42
MgO	48.08	13.84	6.88	26.98	29.53
CaO	0.00	6.61	3.63	3.65	1.54
Na ₂ O	-	-	0.19	0.10	0.21
K ₂ O	-	-	<0.01	0.02	0.02
P ₂ O ₅	0.00	0.97	0.14	0.26	0.49
Cr ₂ O ₃	0.47	-	0.26	0.96	0.81
Fe	-	-	33.70	15.15	14.28
Ni	-	-	4.20	0.98	1.13
Co	-	-	0.13	0.083	0.067
FeS	-	-	11.89	1.85	2.10
C	-	-	0.10	-	-
H ₂ O	-	-	-	0.66	1.14
Ref.	1	1	2	3	3

Part は分析部分で, silicate は珪酸塩鉱物のみで, whole は岩石全体の分析値. 引用. 1: 小沼 (1978); 2: Jarosewich & Mason (1969); 3: 国立極地研究所 (1987).

2 Stony-iron Meteorite

Stony-iron meteorite は、基本的には金属 (Fe-Ni合金) の基質部に珪酸塩鉱物を含むボリミクト角れき岩である。Stony-iron meteorite は、珪酸塩鉱物の組み合わせによって区分される。非常に稀なタイプの隕石で、Catalogue of Meteorites では、73個しか記載されていない (Graham et al., 1985)。南極隕石では7個発見されている。表13に、代表的な Stony-iron Meteorite の全岩化学組成を示した。

mesosiderite

mesosiderite は、珪酸塩鉱物が orthopyroxene と pigeonite, plagioclase からなる。珪酸塩鉱物は howardite のものと類似しており、iron meteorite と howardite の混合物である

表 14. Iron と Stony-iron Meteorites の分類.

Type	Frequency (%)	Kamacite Band (mm)	Ni (wt%)	Ga (ppm)	Ge (ppm)	Ir (ppm)
IA (Octahedrite)	17.1	1.0-3.1	6.4-8.7	55-100	190-520	0.6-5.5
IB (Ataxite, Octahedrite)	1.7	0.01-1.0	8.7-25	11-55	25-190	0.3-2.0
IIA (Hexahedrite)	8.3	>50	5.3-5.7	57-62	170-185	2-60
IIB (Octahedrite)	2.6	5-15	5.7-6.4	46-59	107-183	0.01-0.5
IIC (Octahedrite)	1.5	0.06-0.07	9.3-11.5	37-39	88-114	4-11
IID (Octahedrite)	2.6	0.4-0.9	9.8-11.3	70-83	82-98	3.5-18
IIIE (Octahedrite)	2.3	0.1-2	7.5-9.7	21-28	60-75	1-8
Mesosiderite	-	~1	6.1-10.1	8.9-16	37-56	2.2-6.2
Parasite	-	~0.9	7.9-12.9	14-27	29-71	0.01-2
IIIA (Octahedrite)	24.9	0.9-1.3	7.1-9.3	17-23	32-47	0.17-19
IIIB (Octahedrite)	7.0	0.6-1.3	8.4-10.5	16-21	27-46	0.01-0.17
IIIC (Octahedrite)	1.5	0.2-0.4	10-13	11-27	8-70	0.07-0.55
IIID (Ataxite, Octahedrite)	1.1	0.01-0.05	16-23	1.5-5.2	1.4-4.0	0.02-0.07
IIIE (Octahedrite)	1.7	1.3-1.6	8.2-9.0	17-19	34-37	0.05-6
IIIF (Octahedrite)	1.1	0.5-1.5	6.8-7.8	6.3-7.2	0.7-1.1	1.3-7.9
IVA (Octahedrite)	8.3	0.25-0.45	7.4-9.4	1.6-2.4	0.09-0.14	0.4-4
IVB (Ataxite)	2.3	0.006-0.03	16-26	0.17-0.27	0.03-0.07	13-38

データは Wasson (1974) による。

と考えられている。全体的には、polymict breccia の岩相を示す。

pallasite

pallasite は、大型（直径 1cm をこえる）の olivine の斑状組織を示す。olivine は、自形であったり他形であったり、岩片状であったり様々な形態を示すが、その組成が一定である。このような岩石は地球や月では見られない。

Iodranite

Iodranite は、olivine と orthopyroxene, Ni-Fe 合金を含む。Iodranite は、olivine, orthopyroxene, Fe-Ni 合金が 1:1:1 の比で含まれている。また、粗粒完晶質の火成岩石的組織を示す特異なものである（国立極地研究所, 1987）。Iodranite は非常に稀な stony meteorite で、今まで 5 個しか見つかっていない。Iodranite は、南極隕石の 4 個が発見されるまで、1 種 (Lodran) しかなかったものである。

siderophyre

Siderophyre は、pyroxene と silica (SiO_2), Ni-F 合金からなる。pyroxene は、protopyroxene, orthopyroxene で、silica は、tridymite である。Siderophyre は、非常に稀な隕石で、今まで 1 個 (Steinbach) しか見つかっていない。

3 Iron Meteorite

Iron meteorite は、Fe-Ni 合金でできており、少量の troilite (FeS) を伴う。iron meteorite は、主要構成鉱物である Fe-Ni 相の化学組成による区分と組織との 2 つの分類方法がある。

Fe-Ni 相の組織よって、以下の 3 つに細分される。組織による区分は、正六面体構造を持つ kamacite (カマサイト, Fe-Ni の高温の α 相) からなる hexahedrite (ヘキサヘドライト) と、 α 相の kamacite と teanite (テナイト, Fe-Ni の高温の γ 相) の混じった octahedrite (オクタヘドライト), 細かな α 相と γ 相の集合体の plessite (プレッサイト) か、 α 相の martensite (マルテンサイト) からなる ataxite (アタキサイト) の 3 つに区分される。

Octahedrite は、kamacite lamellae の幅によってさらに 6 つに細分される。lamellae の幅が、3.3mm 以上を coarsest octahedrite, 1.3~3.3mm を coarse octahedrite, 0.5~1.3mm を medium octahedrite, 0.2~0.5mm を fine octahedrite, 0.2mm 以下を finest octahedrite, 0.2mm 以下で spindle 状 (紡錘形粒子) のものを plessitic octahedrite という。octahedrite の Fe-Ni 金属は、ゆっくり冷めると Ni の少ない kamacite が板状に分離し、Widmanstatten 組織と呼ばれる特徴的な模様ができる。ataxite は特別な構造を持たない。

このような組織に基づく分類と Ni 含有量に密接な相関がある。hexahedrite の Ni 含有量は 4~6wt%, octahedrite は 6~13wt%, ataxite は 13~20wt% 以上である (4~6wt% の Ni-poor ataxite と呼ばれるものもある)。Ni の含有量が 20wt% を越えることは少ない。

化学組成による区分は、Ni, Ga, Ge および Ir の含有量によって 13 の化学グループに区分される (IAB, IC, IIAB, IIC, IID, IIE, IIF, IIIAB, IIICD, IIIE, IIIF, IVA, IVB)。表 14 に代表的 Iron Meteorite の特徴と、図 6 には Iron

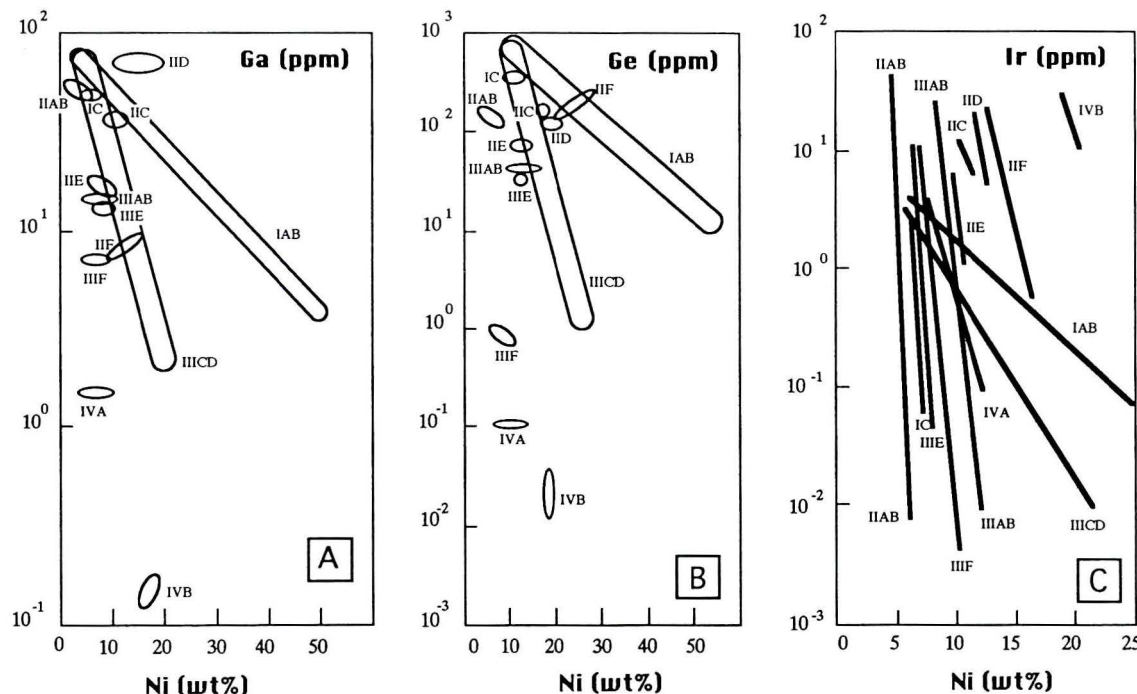


図 6. iron meteorite の化学的特徴。

A : Ni-Ga 図。Ni は wt%, Ga は ppm で示した ; B : Ni-Ge 図。Ni は wt%, Ge は ppm で示した ; C : Ni-Ir 図。Ni は wt%, Ir は ppm で示した。Wasson (1985) を改変した。

meteorite の分類図を示した。化学組成による分類と、組織による分類は一致していない。両分類が、現在でも利用されている。

IV 議論

1 隕石の成因論史

成因論の歴史については、小沼（1987）を参考にした。chondrite には、chondrule があることから、太陽系星雲から直接析出した物質が集まつたものだと考えられている。したがって、chondrite は、太陽系初期の情報をもっているという観点から、隕石の研究では、chondrite を材料にした研究が多い。以下では、chondrite の形成に関する研究史を中心にまとめる。

C chondrite から、LL, L, H, E の順に、FeO の量が減り、逆に Fe の含有量が増えていく。FeS の量は、E chondrite が多いだけで、他の chondrite 間では余り変化しない。隕石では、FeO は珪酸塩鉱物として、Fe は金属相として存在することを意味している。したがって、chondrite の Fe や FeO の量は、珪酸塩鉱物と金属相の量比を反映している。一方、FeS は troilite は、chondrite では、普遍的にあり、E chondriteだけは、他の chondrite より 2 倍程度 troilite が多いと考えられる。

副次鉱物の Ni-Fe 鉱物や troilite の存在は、chondrite が非常に還元的な環境で形成されてたことを示している。鉄は還元条件におかれると珪酸塩よりも金属鉄や硫化鉄として存在しやすくなる。従って還元度が増すと、金属鉄や硫化鉄の量が増え、珪酸塩鉱物の Fe-Mg 固溶体は鉄の乏しいものになる。ニッケルは鉄と似た挙動をし、還元的になると金属相のニッケル含有量は増加する。つまり、C chondrite から、LL, L, H, E の順に、還元的な環境で形成されてことを示している。酸化還元の程度と隕石の起源をめぐって議論が起こった。

隕石のタイプと鉄の量の規則性に最初に気づいたのは、Prior (1916) であった。Fe の量が少なくなるにつれて、金属相の Ni/Fe 比が増加し、苦鉄質珪酸塩の FeO/(FeO+MgO) 比も増加する。FeO/(FeO+MgO) 比が 0~0.1 を enstatite chondrite (後に E chondrite), 0.1~0.2 を bronzite chondrite (後に H chondrite), 0.2~0.35 を hypersthene chondrite (後に L chondrite) と区分した。Prior は、このような規則性は、chondrite が共通のマグマから形成され、初期の極度の還元状態の時には、enstatite chondrite ができ、分化するに従って酸化状態に変化していく H から hypersthene chondrite まで形成されたと考えた。Prior の考え方の特徴として、すべての chondrite は enstatite chondrite 質の還元状態の起源物質から、酸化還元の状態の差によって各種の chondrite が連続的に形成されたという点があげられる。Prior は、chondrite は同一の起源物質からできたと考えたため、Fe 含有量もタイプ毎に違いはないと考えた。また、起源物質は高温から低温へと変化していくことを前提としている。

一方、Urey & Craig (1953) は、金属と FeS 中の Fe と FeO

相関から、Fe の含有量が多いタイプと少ないタイプの 2 種類があることを明らかにした。Fe の含有量が多いタイプ (28wt%) を High Iron Group (後の H chondrite), 少ないタイプ (22wt%) を Low Iron Group (後の L chondrite) と呼んで区分した。Urey & Craig は、Prior がいったような Fe の含有量が一定の起源物質では、このような 2 つのタイプの隕石の起源が説明できないことを示した。H と L の 2 グループの存在は、少なくとも 2 の起源物質が必要であることを意味する。もし、同一の起源物質からできたとするとき、一度どこかで金属相と珪酸塩鉱物相の分化が起こらなければならぬ。Urey & Craig は、H グループと L グループは別々の母天体を起源とし、L グループが始源的で、珪酸塩の蒸発によって H グループが形成されたと考えた。

Wiik (1956) は、carbonaceous chondrite も含めて chondrite の起源を考えた。Wiik は、carbonaceous chondrite のうち、揮発成分がもっとも多いタイプ I (C1 のこと) が始源的なもので、揮発成分が取り除かれることによって、タイプ II (C2), タイプ III (C3) が形成されたと考えた。さらに還元作用によって E chondrite ができたと考えた。

Prior の高温起源説に対し、Urey & Craig や Wiik の説は低温起源説である。このような起源物質が高温が低温かは、その当時の惑星起源に関する流行を反映している。

Ringwood (1959, 1960) は、低温説の立場から隕石の起源を論じた。CI タイプの chondrite に似た起源物質が集積して冷たい母天体が最初に形成されたと考えた。その後、短寿命の放射性元素のエネルギーを熱源として母天体は溶け、激しい火山活動をおこし、そのときに飛び散った溶岩が chondrule を形成したと考えた。母天体の大きさは金属の鉱物相から月程度の大きさがあったとしている。この説にはさまざまな批判がおこった。E chondrite のなかの鉱物には水があると形成されないものがあること (Anders, 1964), 硅酸塩が溶けるような温度には達しないこと (Muller, 1964) などがあげられた。つまり、chondrite は全体として融けることもなかったし、carbonaceous chondrite をのぞくと、かなり乾いた環境で形成されたことが明らかになった。Ringwood のモデルは否定されたが、この母天体という考え方は、後のモデルにも継承された。

Mason (1962) は、CI を最も始原的なものとし、加熱、脱水反応は固相における再結晶作用でおこったとした。しかし、carbonaceous chondrite 以外の chondrite の金属鉄はまわりの珪酸塩鉱物とは非平衡にあること、CI の構成物が非常に異なった環境で別々に生成されたことなどから否定された。

Fish et al. (1960) は、小天体 1 個ですべての隕石を形成するモデルを提唱した。その熱源として ^{26}Al などの半減期の短い放射性核種であった。各種の隕石は、相分離によつて形成されたとした。chondrule は、火山活動が起り、飛び散った溶岩からできたと考えた。このモデルでも、Ringwood と同じ構成物の非平衡性が説明できない。また、E chondrite も作ることはできない。

Urey (1964) のモデルでは、低温で、不揮発性物質と固体水素を材料に月程度のいくつかの初生母体ができる。続くガスの収縮で、初生母体が加熱され、各種の化合物が形成され層ができる。そこに別の天体が衝突し、初生母天体が壊れて小さな液滴ができる、chondruleとなる。非常に複雑なモデルであるが、carbonaceous chondrite や非平衡 chondrite をうまく説明できない。

Wood (1963) のモデルでは、隕石に見られる特異な物質 chondruleは、原始太陽系星雲の中すでに形成されたいたと考えた。このモデルでは、原始太陽系星雲は、還元的な高温星雲から酸化的な低温星雲へと変化していく。星雲の冷却速度が速ければ、chondriteに見られる各種の非平衡現象が説明できる。Woodのモデルで仮定した、原始太陽系星雲の2000K, 1000atmという非常な高温高圧の条件は、天文学者的には考えにくく、特に高圧条件は難しいとされた。そのため、高圧下ではなく、局所的な放電効果による高温だけで溶けて急冷するというモデルに変化していく。

ここまでみた研究史は、現在の隕石成因論の前提となる時代のものである。現在では、天文学や宇宙化学など各種の研究者が隕石から太陽系初期の条件を読みとっている。しかし、このWoodの研究が平衡凝縮論へと導いた。

標準モデル

まだ解明されていない部分も多いが、隕石の起源の標準的なモデルとしては、以下のようになる。

材料は、一つ前の太陽の超新星爆発でほとんどができる。しかし、一部、別の星からきた成分あるいは元素が含まれていた可能性がある。超新星爆発から原始太陽系星雲の間の星間塵に蒸発過程が起こる。しかし、この過程はよくわかつていない。このようなガスからできた原始太陽系星雲は、温度が下がっていく。この時、ゆっくり冷える場合の塵の凝縮過程は平衡凝縮モデルで、熱いガスが急冷する非平衡凝縮モデルの2つがある。このどちらが正しいかはまだ決着が付いていない。

原始太陽系成分ガスでは、元素の特性によって分別がおこる。refractory (難揮発性) 元素、lithophile (親石) 元素、siderophile (親鉄) 元素、volatile (揮発性) 元素に区分される。各元素はこの順により高温で凝縮する。このような元素種毎にさまざまな程度に分別が認められている。

原始太陽系星雲ガスから凝縮した固体物質は、高温凝縮物はCAIになり、珪酸塩成分はchondruleの前駆物質になり、再加熱されchondruleとなる。かなり低温で凝縮したものはmatrixになる。このような物質が集まって、各種隕石の母天体となっていく。

一応の標準モデルはあるが、必ずしも確定したものではなく、この後も大きく変更される可能性がある。

2 chondrite構成物の起源

chondriteは、chondruleと、fragment, matrix, inclusion からなる。各構成物は、同時にできたものではなく、それぞれ固有の起源を持っている。以下に、おのおのを詳しく見

ていく。

fragment

fragmentは、岩片と鉱物片の2種がある。

岩片は、深成岩似た組織を持ち、また、出現頻度もすくない。chondruleと比べて、plagioclaseとdiopsid成分が少ない。olivineとpyroxeneの組成は均質で、pyroxeneは、Mgに富むorthoenstatiteである。Fe/MgとAl/(Al+Na+K)の比、spinelの組成は、chondruleのIPタイプに似ている(国立極地研究所, 1987)。

鉱物片は、細粒でchondruleの破片である(Kimura, 1983)。鉱物種やその量比はchondruleのものに似ている。鉱物片のサイズはchondruleのものより細粒で、chondruleの破碎時に細粒化したと考えられている(国立極地研究所, 1987)。

岩片の起源は、IPタイプのchondrite前駆物質が1200~1500°Cに加熱され、plagioclaseとdiopsidの成分が抜け、ゆっくり冷えてできたと考えられる(Kimura, 1984)。この時、olivineとpyroxeneの組成が均質化される。1000°Cまではゆっくり冷え、それから急冷される。

matrix

matrixは、 μ サイズの珪酸塩鉱物と不透明鉱物、非晶質物質の集まった不透明matrixとその不透明matrixが再結晶した再結晶matrixがある(Huss et al., 1981)。不透明matrixは、Feに富むolivineとNaに富むplagioclase成分からなる(Ikeda et al., 1981)。ordinary chondriteとcarbonaceous chondriteでは、組成が違う。matrixには、低温で凝縮したFeとNaに富む成分だけでなく、高温で凝縮したpyroxeneも含む、非常に非平衡なものである(Nagahara, 1984)。

carbonaceous chondriteのmatrixは数種のphyllosilicateを含む。このようなphyllosilicateは、olivineやpyroxeneの変質作用で形成されたものである(Tomeoka & Buseck, 1982)。

matrixは、高温で凝縮したものと、低温でのガスからの凝縮物、そしてその凝縮物とガスが反応してできたものが混じったものである。このような混合物は、chondruleのような高温にさらされることはなかった。隕石の組織から、matrixはchondruleを取り囲んでいるために、母天体に集積する直前に、chondruleの回りに付着したはずである。

inclusion

carbonaceous chondriteを特徴づけるものとして、CaやAlに富む白色で不定形のinclusion(包有物)やamoeboide olivine inclusion(AOIと略す)が含まれる。前者は、CAI(Ca-Al inclusion, CAIと略す)と呼ばれる。CAIは、perovskite, melilite, spinelやhiboniteなどからなる。細粒か粗粒(5~10cm)か、また構成鉱物の量比によって細分される。inclusionは、ordinary chondriteにも見られるが、carbonaceous chondriteのものに似ている。

CAIは粗粒と細粒の間に区分される(Grossman, 1975; 池田, 1983)。粗粒のinclusionは、fassiteの量によって、AとBの2つにタイプ分けされる。タイプAは、主としてmeliliteからなり少量のpyroxeneを含む。タイプBは、pyroxeneが

多い (MacPherson et al., 1988)。

粗粒の CAI は、一般には、原始太陽系星雲ガスからの高温凝縮物と考えられるが、CAI 中の鉱物に酸素同位体異常が認められ、単純な高温凝縮物とはいえなくなってきた。また CAI 中には、平衡凝縮物というより、蒸発残渣と考えた方がよいものもある。いずれにしても、CAI は基本的には、高温の生成物である。

細粒の CAI は、fassite と spinel の高温凝縮物からできていたものが、後に低温で周囲のガスと反応して、Fe やアルカリ金属を含むようになる (Ikeda, 1982)。AOI も CAI と成因関係を持つが、やはりガスと反応している。

超新星爆発に由来する高温凝縮物が原始太陽系星雲に入り、ガスとの反応で各種の粗粒 CAI ができ、凝縮によってできた fassite や olivine などの凝縮物がガスと反応して、細粒の CAI や AOI を形成したと考えられている (池田, 1983)。chondrule

chondrule は、直径数 mm 程度の粒状の物質で、珪酸塩鉱物からなる。chondrule は、地球の岩石には見られない、隕石特有の組織である。chondrule は、glass (groundmass として存在) と、olivine, pyroxene の組合せからなる。

chondrule は、 SiO_2 の含有量によってほぼ組織が決定される。 SiO_2 が多い chondrule は、glass 質のもので、pyroxene を含む dendritic なもの、olivine からなる porphyritic なものへと変化する。個々の鉱物も激しい zoning を示す。隕石の種類によって (H, L, LL), chondrule の組成の組織のあいだには系統的变化はない (武田, 1982)。隕石間の化学組成の違いは、chondrule が、Fe-Ni 金属や troilite とどの程度の比率で混じっているかによっている。

chondrule は組織と鉱物組合せ、化学組成によって分類されている。組織によって porphyritic (斑状) と non-porphyritic (非斑状) に大別される。両者は、構成鉱物によって porphyritic はさらに porphyritic olivine, porphyritic pyroxene, porphyritic olivine-pyroxene, barred olivine に、non-porphyritic は radial pyroxene, granular olivine-pyroxene, cryptocrystalline に細分される (Gooding & Keil, 1981)。また、chondrule を作った前駆物質の化学組成から分類する方法がある。これは、chondrule 全体の化学組成に依るものである (Ikeda, 1983)。CP タイプは、 $\text{Al}/(\text{Al}+\text{Na}+\text{K})$ の原子比が 0.95 以上、 $\text{K}/(\text{K}+\text{Na})$ の原子比が 0.5 以下、IP タイプは 0.65~0.95, 0.5 以下、SP タイプは 0.4~0.65, 0.5 以下、KF タイプは 0.4~0.65, 0.5 以上という比を持つ。CP タイプは carbonaceous chondrite のみに含まれ、KF タイプは LL chondrite のみに含まれ、IP と SP タイプはすべての chondrite に含まれる。

chondrule の plagioclase 成分は一定であるのに対し、pyroxene と olivine の成分比が大きく変化する。このことは、前駆物質に pyroxene と olivine の成分比の不均質があったことを示している。IP と SP タイプを比べると、IP の方が Mg に富む olivine も主とし、Ca に富む plagioclase を含み、pyroxene と spinel は Al に富む。一方、SP タイプは、Fe に

富む olivine と Na に富む plagioclase を含み。このような化学組成の差は、IP と SP タイプの前駆物質が異なっていた可能性を示している。

chondrule は、その形態や組織が特異であるために、成因に関して多くの議論がなされている。一般的には、温度低下に伴って原始太陽系星雲ガスから固体が直接平衡に凝固し、その後なんらかの作用で加熱溶融し、chondrule になったと考えられている。この根拠は、chondrule 中に融け残り結晶が発見されたことである (Nagahara, 1981; Rambaldi et al., 1983)。

この一般的モデルでは、大きく 2 つのプロセスを経ることになる。(1) : 原始太陽系星雲ガスからの chondrule の前駆物質の凝縮過程、(2) : chondrule の前駆物質の加熱・冷却の過程である。

(1) の冷却過程は、平衡凝縮モデル (Larimer & Anders, 1967) と呼ばれ、温度低下に伴って原始太陽系星雲ガスから固体が直接平衡に凝固したと考えられている。このような凝縮固体が隕石や惑星などを形成したと考えられている。このモデルに基づいて、さまざまな固相の凝縮温度が計算されている (Lord, 1965; Larimer, 1967; Grossman, 1972)。このような平衡凝縮モデルは、隕石内のさまざまな特徴が説明できるため、多くの研究者に採用しているが、しかし、実際にはよくわかっていない。(2) の加熱過程は、実験的に研究されている。加熱の最高到達温度は、Na の蒸発温度から、1000 から 1500°C であると考えられている (Tsuchiyama et al., 1981)。この加熱の原因は、赤道面へ落下中の dust の放電、星雲との衝突、周辺のガス等による加熱 (Cameron, 1966; Wood, 1984 など)、母天体上での衝突による加熱 (Kurat, 1967 ほか)、小物体同士の高速衝突による加熱 (Kieffer, 1975; 池田, 1979 ほか)、太陽系星雲への星間塵の衝突による加熱 (Wood, 1983) などが考えられている。しかし、それが原因かは特定されていない。その後の冷却過程は、chondrule のさまざまな組織を作るためには、 $10^4\text{~}1^\circ\text{C/hr}$ という冷却速度のもとでおこなわれたとされる (Tsuchiyama et al., 1980; Tsuchiyama and Nagahara, 1981; Lofgren & Russell, 1986)。

chondrule から、太陽系の初期の過程が読みとられているが、まだ研究途上で今後の成果が期待される。

presolar grain

presolar grain とは、超新星爆発の元素合成ではなく、別の星からやってきた粒子である。presolar grain は、数 ppm 程度の量しか含まれていないが、carbonaceous chondrite の細粒で低温でできた matrix から見つかる。現在、diamond, SiC と graphite の 3 種が見つかっている。同位体比の異常から、これらの粒子が別の星から来たことがわかる。同位体異常は、C, Si, N, 希ガスなどで認められる。

diamond は、10 Å 程度の非常に小さいサイズだが、量は 400~1800 ppm 程度が多い。Xe や Ne の希ガスで異常が見つかっている (Anders & Zinner, 1993)。このような異常は、超新星爆発でできたものであると考えられている。

SiCは、7ppmの量で、 $0.03\sim10\text{ }\mu\text{m}$ 程度の大きさである。稀に $15\times26\text{ }\mu\text{m}$ の大きいものも見つかっている (Virag et al., 1992)。SiCの30%に、希ガスの同位体異常が見つかった。 ^{21}Ne の含有量から、太陽以前の宇宙線を $1.3\sim20$ 億年間浴びたと考えられている (Lewis et al., 1994)。 $^{12}\text{C}/^{13}\text{C}$ でも、地球(89)より高い値をもつものや、低い値を持つものなど異常な粒子が見つかっている。このような粒子のうち、 $^{14}\text{N}/^{15}\text{N}$ が低いもの(地球は272)をgrain X、高いものをgrain Yと呼んでいる (Anders & Zinner, 1993)。grain YはSi同位体でも異常を示す。このような異常は、いくつかの星からやってきた粒子が混在している可能性がある。多くのSiCはasymptotic giant branch star(漸近巨星分枝星:AGB星と略す)で形成された。 $^{12}\text{C}/^{13}\text{C}$ が低いSiCは、hot bottom burningという過程かJ-type炭素星から来たものと考えられており、grain Xは超新星起源の可能性を示している(甘利, 1993)。grain Yの起源は今のところ不明である。

graphiteは、 $0.8\sim7\text{ }\mu\text{m}$ 程度の大きさで、2ppm以下の量しか含まない。 $^{12}\text{C}/^{13}\text{C}$ は地球の値よりもはるかに広い範囲の値(3~7000)を持つ。 $^{14}\text{N}/^{15}\text{N}$ や $^{16}\text{O}/^{18}\text{O}$ でも広い範囲の値を持つ。また明瞭な過剰の ^{26}Mg をもつ。このような同位体の特徴は、graphiteが、AGB星やWolf-Rayet star, novae(新星)の起源の粒子であることを示している (Amari et al., 1993)。

3 領石の年代

領石の年代を考える場合、測定された年代をなにを意味するのかを注意する必要がある。年代測定は、放射性同位体を用いておこなわれる。このとき、どのような領石の、どの部分を、どのような放射性同位体をもちいて測定したかによって、測定データの解釈が異なってくる。なぜなら、領石には、地球の火成岩とは違って、さまざまな事件の情報がそのまま保存されているからである。

その事件とは、T0:太陽系外成分の形成、T1:核合成の終わり、T2:高温凝縮固体(CAI)の形成、T3:chondruleの形成、T4:matrixの形成、T5:母天体の形成、T6:母天体の火成作用、変成作用および化学的分離、T7:母天体同士の衝突、T8:母天体からの離脱、T9:地球への落下が考えられる。このような事件を見分けるためには、使う領石のどの部分を分離して測定するか、またどのような同位体を測定するを選択しなければならない。そして、目的とするデータの精度に見合う測定技術がともなえば、このような事件が見えてくるはずである。

領石の形成期間

T1からT2の間つまり、元素合成から領石の形成までの期間は、I-Xeの同位体で推定できる。

^{129}I が β 崩壊して ^{129}Xe が形成される。その半減期は1570万年である。Iはハロゲン元素で、Xeは希ガスである。Iは固体相に取り込まれやすい元素である。一方、希ガスは反応性に乏しく、気体のまま存在するため領石には入りにくい元素である。元素合成の時から長い時間経過すれば、領

石の中にIは取り込まれることなく、放射起源の ^{129}Xe は無いはずである。ところが、余分の ^{129}Xe が領石から発見された。このことから元素合成から固体の形成まで非常に短い期間に形成されたことになる。形成期間は1億年のオーダーである。

元素合成モデルの精度あるいは値の見積もりによって形成年代は、小さいながらも変化する。その元素合成のモデルの誤差をなくすために、ある領石の同位体組成を基準に用いることによってその誤差が消せる。基準の領石として、Bjurbole(L4)が使われる。この領石の形成年代の1000万年前から2000万年後の約3000万年間に領石は固化したことがわかる。これは領石のタイプをとわず、どの領石もこの範囲内にはいる (Swindle & Podosek, 1988)。

さらに、半減期の短い消滅核種である ^{26}Al が発見された (Gray & Compston, 1974)。 ^{26}Al は β 崩壊して ^{26}Mg になる。その半減期は、72万年である。Allende領石中のCAIに消滅核種の ^{26}Al からできた ^{26}Mg が発見された。この発見によって、元素合成から固体の凝縮まで、数100万年程度という非常に短い形成期間となった。

このような、元素合成から固体の形成までの非常に短い期間は、太陽系形成モデルに大きな束縛条件を与える。

形成年代

領石の形成年代は、放射性同位体、主としてRb-Sr, Sm-Nd, U-Th-Pb, Ar-Ar, K-Arなどの系が利用されている。表15に領石の形成年代の測定データをまとめた。最近では、分析技術の向上によって、そのほかの同位体系が開発され、利用されつつある。

事件を、意識した分析がなされるようになったのは、最近である。表に示した多くの年代データは、漠然と形成年代を求めるものである。その事件は、T1~T6までを示し、このような事件が測定の誤差範囲以内で起こっていれば、見分けられないので、形成年代と考えて問題ない。求められた年代は、第一近似として、太陽系の始まりころを示しているといえる。

chondriteの形成年代は、データは45億年前ころに集中するが、ばらつきは大きい。その原因是、測定誤差、あるいは領石の形成年代にばらつきがある、もともと形成年代という1つのものが定められない、同位体組成が固結後変化したなどが考えられる。

Rb-Sr系とU-Th-Pb系は、地球上での汚染や変質による変化を受けやすい。Rb-Sr系はばらつきが大きく、U-Th-Pb系では、ほかの年代測定と比べて古くなる傾向がある。またK-ArやAr-Ar法は、熱の影響を受けやすく、形成年代をよりも母天体形成以降の事件を残している可能性がある。

U-Th-Pb系では、2種類のU-PbとTh-Pb, Pb-Pbの組合せで4種の年代が求めることができる。このような年代がすべて一致したものが一致年代と呼ばれる。Angra dos Reisの一致年代から、 45.5 ± 0.3 億年前という年代が得られた (Tatsumoto et al., 1973)。また、同じ領石のSm-Nd系でも、 45.5 ± 0.4 (Lugmair & Marti, 1977), 45.6 ± 0.3 億年前

表 15. Meteorites の形成年代.

type	Name	Rb-Sr	Sm-Nd	$^{207}\text{Pb}/^{206}\text{Pb}$	$^{206}\text{Pb}/^{238}\text{U}$	$^{207}\text{Pb}/^{235}\text{U}$	Ar-Ar K-Ar	References
Chondrite								
C2	Murray			4.511				1
C3	Allende			4.496				1
C3	Allende CAI			4.559				2
E4	Indurh	4.56						3
E5	St. Sauveur	4.46						4
H3	Tieschitz	4.53						5
H5	Beardsley			4.574				1
H5	Plainview			4.529				1
H5	Richardson			4.558				1, 6
H5	Pultusk			4.657				6
H6	Guarena			4.56				7
L5	average			4.552				8
L6	Peace River	4.56						9
L6	Modoc			4.530				1
L6	Bruderheim			4.634	4.542	4.581		6
LL5	Krahenberg	4.700						10
LL5	Olivenza	4.63						11
LL6	St. Severin	4.530						8, 12
Angrite								
	Angra dos Reis	4.557	4.552	4.58	4.65			1, 2, 13, 14, 15, 16
SNC								
	Shergottite	0.165						21
	Nakhla	1.27	1.27		1.3		1.3	17, 18, 21
	Chassignite						1.4	21
Aubrites								
	Norton Country	4.59						19, 20
Eucrites								
	Nuevo Laredo			4.529	4.63	4.65	3.2	1, 21
	Sioux County	4.19		4.526	4.54	4.29		1, 5
	Passamonte		4.56	4.573	4.87	4.68		22, 23
	Ibitira	4.54	4.46	4.556	4.624	4.684		2, 5, 8, 12, 24, 25
	Bereba	4.13		4.415	4.08	3.93		5, 12, 26
	Stannern	3.7	4.48	4.329	4.4	4.2	3.7	12, 27
	Juvinas	4.55	4.46	4.541	4.65	4.14	3.9	12, 21, 28, 29, 30, 38
	Moana		4.58					31
	Petersburg						4.4	32
	Morristown		4.47					25
	Acapulco		4.60					25
	ALH-765		4.52				3.50	33, 34
	Y-75011		4.55					35
Howardites								
	Kapoeta	3.75		4.524	4.77	4.35	4.32	12, 21, 36
Diogenites								
	Jonstown	4.396						38
	Tatahouie	4.395						38
Mesosidelite								
	Estherville	4.542	4.533	4.555	4.560			39
Iron								
IIE	Colomera	4.61						37

複数データーがある場合は、平均値で示した。引用。1: Tatsumoto et al. (1973); 2: Tilton (1988); 3: Gopalan & Wetherill (1971); 4: Minster et al. (1979); 5: Minster et al. (1976); 6: Tilton (1973); 7: Wasserburg et al. (1969); 8: Taylor (1992); 9: Gray et al. (1973); 10: Kemp & Muller (1969); 11: Sanz & Wasserburg (1969); 12: Manhes et al. (1975); 13: Chen & Wasserburg (1981); 14: Wasserburg et al. (1977); 15: Lugmair & Martin (1977); 16: Jacobsen & Wasserburg (1984); 17: Papanastassiou et al. (1974); 18: Gale et al. (1975); 19: Bogard et al. (1967); 20: Minster & Allegre (1976); 21: Basaltic Volcanism Study Project (1981); 22: Unruh et al. (1977); 23: Nakamura et al. (1976); 24: Chen & Wasserburg (1985); 25: Prinzhofer et al. (1992); 26: Birck & Allegre (1978); 27: Lugmair & Scheinin (1975); 28: Manhes et al. (1984); 29: Allegre et al. (1975); 30: Lugmair (1974); 31: Torigoe (1983); 32: Podosek & Hunkele (1973); 33: Kaneoka (1981); 34: Nakamura et al. (1983); 35: Nyquist et al. (1986); 36: Papanastassiou et al. (1974); 37: Sanz et al. (1970); 38: 高橋 (1994); 39: Brouxel & Tatsumoto (1991)。

(Jacobsen & Wasserburg, 1984) の一致した年代を得た。各種の方法や各地の研究室で得られた一致した年代は、隕石の形成年代を示していると考えられる。

精度よいデータで考えると、chondrite では 45.55 億年前 (Taylor, 1992), achondrite も 45~44 億年前 (国立極地研究所, 1987) の年代を示す。どの隕石も、最古の形成年齢は 45.5 ± 0.1 億年 (Unruh, 1982) を示す。これは、どの隕石の T1~T6 の事件も、短期間に形成されたことを意味する。

T2 にあたる CAI の年代は、 45.59 ± 0.05 億年 (Chen & Wasserburg, 1981) が得られている。CAI 中の perovskite 粒子の年代は、Allende では 45.65 ± 0.34 億年前, Marchison では 45.69 ± 0.26 億年前 (Ireland et al., 1990) を示す。CAI と全岩の形成年代の違いは誤差の範囲内であるが、高温で凝縮する CAI の年代がやや早い可能性がある。

K-Ar と Ar-Ar 法では、45.5 億年より若い年齢が多くの隕石で報告されている。これは、元素の性質を反映している。気体の核種を含む同位体組成は、熱の変化を受けて変化しやすく、変成・火成作用や母天体同士の衝突、つまり事件 T6 から T7 によって容易にリセットされる。逆に、このようすは気体の同位体組成から、母天体での T6 と T7 事件を読みとることが可能である。

K-Ar と Ar-Ar 法の年代測定のデータには、どの隕石タイプについても、45~43 億年と 40 億年前、30 億年前にピークが見られる。また、隕石種毎に固有の年代のピークをもつ。L chondrite は 7~8 億年前にピークをもち、LL chondrite は 13 億年前にピークをもつ (国立極地研究所, 1987)。共通した年代のピークは太陽系の共通の事件を、隕石種毎の年代ピークはその隕石種の母天体だけの事件を反映しているはずである。

45~43 億年前の年代のピークは、母天体ができてすぐ加熱の時期があったことを示している。この加熱によって、母天体を作る隕石の岩石タイプが 3 から 6 へと、あるいは非平衡から平衡へと進む変化が起こったと考えられる。また、大きな母天体では、火成作用をおこし大規模な化学分化がおこり、achondrite が形成された。つまり、T6 の事件である。

T7 の母天体同士の衝突の事件は、衝突の時にできた melt の年代測定で求めることができる。Rb-Sr の年代測定で、LL chondrite の 11.97 ± 0.54 億年前 (Nakamura & Okano, 1985) が、L achondrite で 4.61 ± 0.11 億年前 (Nakamura et al., 1990) が得られている。

T8 の母天体からの離脱は、T7 の母天体同士の衝突によって起こる。そのため T7 の最後が T8 の事件となる。事件 T8 は、前述の宇宙線照射年から求められている。iron meteorite から見ると、14 億年前、9 億年前、6 億年前、4 億年前、2 億年前、1 億年前以内のピークがあり、大規模な衝突がこのころ起こったと考えられる。

T9 の落下以降の年齢も宇宙線照射の停止した年代として求めることができる。宇宙空間にあったときは放射性核種の形成と崩壊が平衡に達していたのが、地球に落下すると

宇宙線の照射がとまり、平衡が崩れ、放射崩壊のみが進む。落下年代の決定には、 ^{14}C , ^{36}Cl , ^{81}Kr がよく使われるが、他にも ^{10}Be , ^{26}Al , ^{53}Mn からも推定できる。このような同位体を利用して落下年代を求めることができる。

若い形成年代

事件 T6, つまり母天体内での火成作用での一番最近のものは、地球に見られる。地球以外での活動は、前述のクレーター密度から推定できる。しかし、隕石からも非常に若い年代が発見されている。

achondrite の SNC は、一連の成因関係があると考えられている。その一番の特徴は、shergottite (Nyquist et al., 1979), nakhla (Papanastassiou & Wasserburg, 1974; Gale et al., 1975), chassignite (Lancet & Lancet, 1971) とともに、年齢が若いことである。shergottite は、6 億 5000 万~1 億 6500 万年前の年代を示すが、nakhlite も chassignite も 13 億年前の形成年代を示す。SNC のこのような若い年代は、1 億年前くらいまで、その母天体で火成作用があつたことを示している。小惑星の小さな天体では、熱の供給源や保存を考慮すると、45 億年前以来火成作用を続けることは不可能である。SNC を作った天体は、ある程度大きいものである。小惑星帯ではそのようなものはない。月では、約 30 億年前に活動を停止しているため、SNC の母天体とはならない。クレーター年代学によれば、火星は、数億年前くらいまで活動していたと考えられる (Basaltic Volcanism Study Project, 1981)。年代の比較研究からは、SNC は火星の起源と考えるの一番矛盾がない。

若い年代だけでなく、SNC が火星からきた根拠として、以下のものがあげられる。マグマから重力のもと (大きい天体) で形成された火成岩的な組織を持つこと、Ca-rich pyroxene や olivine などの高圧下 (大きい天体) でのマグマ形成を示唆する鉱物組成をもつこと、酸化度の高い鉱物と含水鉱物をもつこと、chondrite にはみられない微量元素組成を持つことなどがある (武田, 1991)。また、惑星探査機 Viking 1, 2 や phobos 2, Mars 5 などの火星の表面の化学組成分析から、SNC 似た組成を検出している。このようなことから、SNC は現在、火星起源と考えられている。

SNC の情報から、火星の履歴を推定されている (Jagoutz, 1991)。この推定によれば、43 億年前に火成作用によって分化した。このときにつくできた reservoir から、1.3 から 0.16 億年前に活動した SNC は形成された。asthenospheric mantle は低 U/Pb, Rb/Sr, やや高い Sm/Nd 比、高い Fe, 挥発成分含有量を持ち、lithosphere は高い U/Pb, Sm/Nd, 中程度の Rb/Sr 比を持ち、crust は高い Rb/Sr, 低い Sm/Nd, 中程度の U/Pb 比を持つ。

このような火星像は、まだ検証されていないが、SNC の火星起源から科学的根拠をもつた火星の起源と進化を推定できるようになった。

4 化学的特徴

同位体組成は、年代を決定するだけでなく、隕石の特徴

を表すのにも重要な情報になる。 $^{87}\text{Sr}/^{86}\text{Sr}$ の初生値は、0.69876～0.69995 の比較的広い変動幅をもつ（表 16）。 $^{143}\text{Nd}/^{144}\text{Nd}$ は均質な 0.512638 という値をもつ。このような値は chondritic uniform reservoir (CHUR) と呼ばれ、隕石の基準値とされている。隕石は、Sr 同位体組成は、Nd 同位体組成に比べて不均質であるといえる。これは、母天体での変化の程度を示しているのか、原始太陽系の不均質さを示しているかは不明である。しかし、結晶作用や変成作用、特に変質作用で、Rb-Sr の方が、Sm-Nd の方より変動しやすい要因はある。このような要因のため Sr 初生値の変動幅が大きいのであると考えられる。

表 16 には、最近開発されている Hf や Os の初生値を示したが、均質なのかあるいは不均質があるのかは不明である。一方、Pb の同位体は古くから分析され、primordial lead として iron meteorite や troilite から求められている。

このような隕石の同位体組成から、原始太陽系星雲ガスの平均的な情報得られる。この情報からは、星雲ガスの均質性が確かめることができる。データには均質性を示すものと、不均質を示すものの両方がある。

同位体異常が最初に発見されたのは、酸素の同位体である。地球や月で予測される酸素同位体とは明らかに違った

データ CAI から発見されて以来、各種の元素で同位体異常が発見された。同位体異常のが発見されたは、Mg, Si, Ca, Ti, Cr, Ba などである。このような異常の多くは CAI のような高温凝縮物からであった。同位体異常の原因是、消滅核種と太陽系外からの混入が考えられる。

消滅核種は、 10^6 ～ 10^8 年程度の半減期の短い放射性核種のことでも、現在の太陽系からは完全になくなってしまつた核種である。 $^{26}\text{Al} \rightarrow ^{26}\text{Mg}$ (半減期 : 1.07×10^6 yr), $^{53}\text{Mn} \rightarrow ^{53}\text{Cr}$ (半減期 : 5.3×10^6 yr), $^{107}\text{Pd} \rightarrow ^{107}\text{Ag}$ (半減期 : 9.47×10^6 yr), $^{129}\text{I} \rightarrow ^{129}\text{Xe}$ (半減期 : 2.31×10^7 yr), $^{244}\text{Pu} \rightarrow \text{Xe}$ (半減期 : 1.18×10^8 yr), $^{146}\text{Sm} \rightarrow ^{142}\text{Sm}$ (半減期 : 1.49×10^8 yr), $^{146}\text{Sm} \rightarrow ^{142}\text{Nd}$ (半減期 : 1.03×10^8 yr) が発見されている。このような消滅核種から、超新星爆発で合成される元素の様子をかいま見ることができる。また、前述のように消滅核種から、超新星爆発から固体の凝縮までの期間を推定している。また、太陽系の主要元素である ^{26}Al は、母天火成作用や変成作用の熱源となったと考えられる元素もある。

一方、酸素同位体は、異常は、明らかに地球上で考えられる値と違ったもので、別の成分（太陽系以外の成分）との mixing を考えなければ説明できない（図 7）。このような

表 16. Meteorites の初生同位体比。

Precise initial $^{87}\text{Sr}/^{86}\text{Sr}$ ratios		Ref.		
Allende CAI	0.69881 ± 0.00002	1		
H6 (mineral isochron)	0.69995 ± 0.00015	2		
H (whole rock isochron)	0.69876 ± 0.00040	3		
L4 (Chondrule isochron)	0.69959 ± 0.00024	4		
LL (whole rock isochron)	0.69882 ± 0.00008	4		
E (whole rock isochron)	0.69880 ± 0.00037	5		
Angrite (Angra dos Reis)	0.69897 ± 0.000015	6		
Primordial isotopic ratios		Ref.		
Chondritic Reservoir	$^{176}\text{Hf}/^{177}\text{Hf}$	0.28286		
Primordial Os	$^{176}\text{Os}/^{176}\text{Os}$	0.807 \pm 0.006		
Basaltic Achondrite Best Initial (BABI)	$^{87}\text{Sr}/^{86}\text{Sr}$	0.69899 ± 0.00004		
Chondritic Uniform Reservoir (CHUR)	$^{143}\text{Nd}/^{144}\text{Nd}$	0.512638		
Mean Solar System Initial	$^{87}\text{Sr}/^{86}\text{Sr}$	0.69897 ± 0.000015		
Primordial Lead	$^{206}\text{Pb}/^{204}\text{Pb}$	$^{207}\text{Pb}/^{204}\text{Pb}$	$^{208}\text{Pb}/^{204}\text{Pb}$	Ref.
average Canyon Diablo & Henbury	9.50	10.36	29.49	11
average Canyon Diablo troilite	9.61	10.39	29.87	12
average Canyon Diablo, Burgavli & Arros troilite	9.74	10.70	30.28	13
average primordial lead	9.56	10.42	29.71	14
average primordial lead	9.346	10.218	28.96	15
Canyon Diablo troilite	9.307	10.294	29.476	16
Canyon Diablo troilite	9.3066	10.293	29.475	17

引用 (Ref.). 1: Podosek et al. (1991); 2: Wasserburg et al. (1969); 3: Minster & Allegre (1979); 4: Minster & Allegre (1981); 5: Minster et al. (1979); 6: Taylor (1992); 7: Patchett et al. (1981); 8: Luck & Allegre (1983); 9: Papanastassiou & Wasserburg (1969); 10: Wasserburg et al. (1981); 11: Patterson (1955); 12: Chow & Patterson (1961); 13: Stariketal. (1961); 14: Murthy & Patterson (1962); 15: Oversby (1970); 16: Tatsumoto et al. (1973); 17: Chen & Wasserburg (1983).

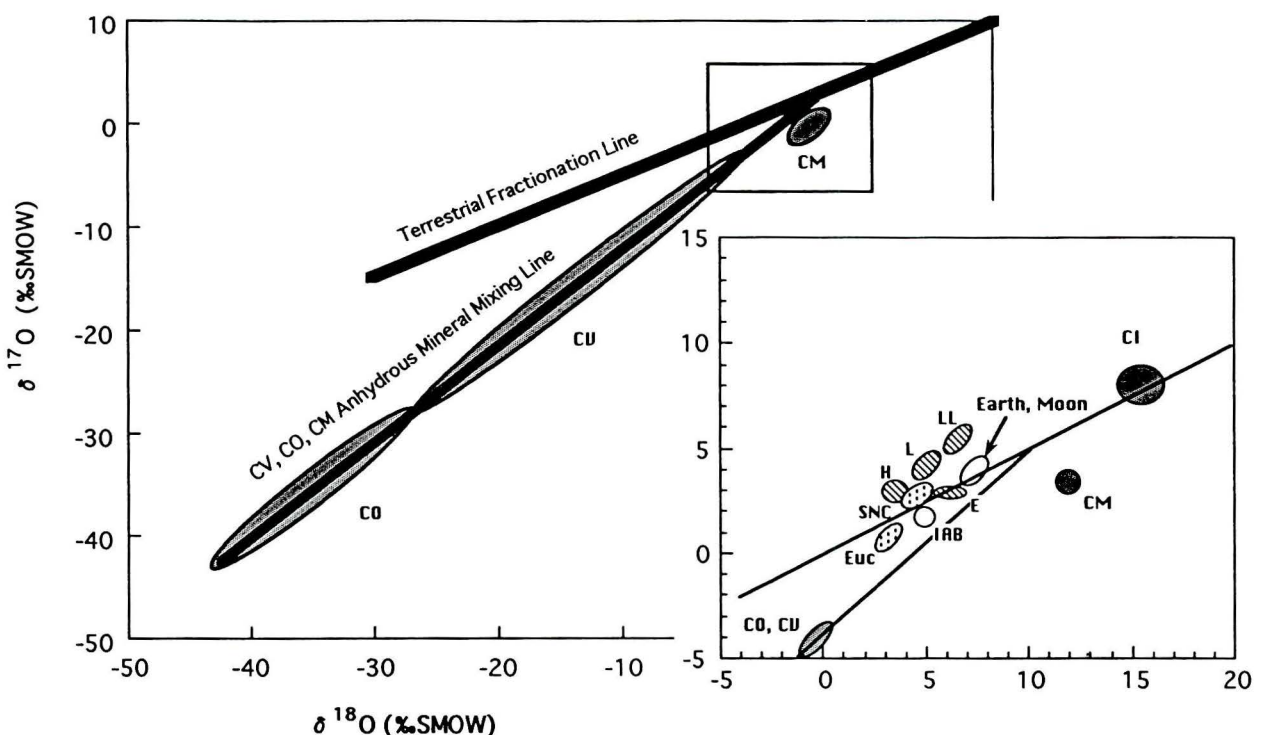


図7. 酸素同位体比の図。
Wasson (1985) を改変した。

同位体組成の異常は、presolar grainに認められるものと共に通しており、1つの超新星爆発以外の別の元素合成場を仮定しなければならない。

隕石には、原始太陽系星雲の歴史だけでなく、その材料になったもう一つ前のいろいろな星の情報も含まれている。

5 母天体

隕石の起源を考えるとき、母天体 (parent body) という考え方方がされる。母天体とは隕石がもとあった天体、地質学の言葉で言えば「隕石の後背地」のことである。また、母天体には、太陽系初期に形成されたとされる微惑星や原始惑星 (小出, 1994) と同等の意味あいも加味されている。隕石の母天体を知ることは、太陽系の初期に形成された微惑星や原始惑星の実態を知ることにつながる。隕石は、形成以来、地球に落ちてきたときの大きさのまま宇宙空間にあったわけではなく、ある時にどこかの小天体から飛び出したものである。

母天体=小惑星 (小天体) とはいきれない。なぜなら、小惑星は現存する天体だが、母天体は隕石が示す形成年代頃の微惑星や原始惑星を強く意識されたものである。母天体のおもな分化あるいは火成作用、変成作用は、45億年前頃にすでに終了している。45.5億年前から現在まで、小天体同士の衝突が激しくおこり、母天体も初期の微惑星や原始惑星とは変化している。現在の小惑星はその成れの果といえる。

母天体は、隕石の種類数だけあればよいのだが、分類上

成因関係があつたり、組成が漸移するようなタイプは、別々の母天体を考える必要はない、1つの母天体から一連の隕石が来たと考えることができる。そうなれば、いたずらに母天体の数を増やすことなく、いくつかの母天体で、すべての隕石の起源が説明できるかもしれない。このような考えで、母天体というものが想定されている。

carbonaceous chondrite 母天体

主ベルトの小惑星の多くはcarbonaceous chondrite類似の表面を持っている。C2の表面物質をもつ小惑星はベルトの外ほど多くなる傾向がある。対応できる小惑星がたくさんあるため、carbonaceous chondrite種と小惑星の対比から、具体的に母天体の推定が可能である。現在、最も大きなCタイプの小惑星は、直径450kmである。しかし、carbonaceous chondriteには熱変成を受けたものがあることから、もっと大きなCeresやPallasのような直径1000kmほどの小惑星が必要である。また、このような小惑星では初期に脱ガスが起こり、水による変質も起こったと考えられる。

ordinary chondrite 母天体

ordinary chondriteの母天体には、Andersonのモデルがある。このモデルは、高変成を受けたタイプ6を中心にあり、変成度の低いタイプ3が表面にあるというものである。L chondriteの頻度分布から推定した体積比から、母天体の層構造が求められている。変成の熱源は、半減期の短い放射性元素 (²⁶Alなど) の崩壊によるものだとされている。

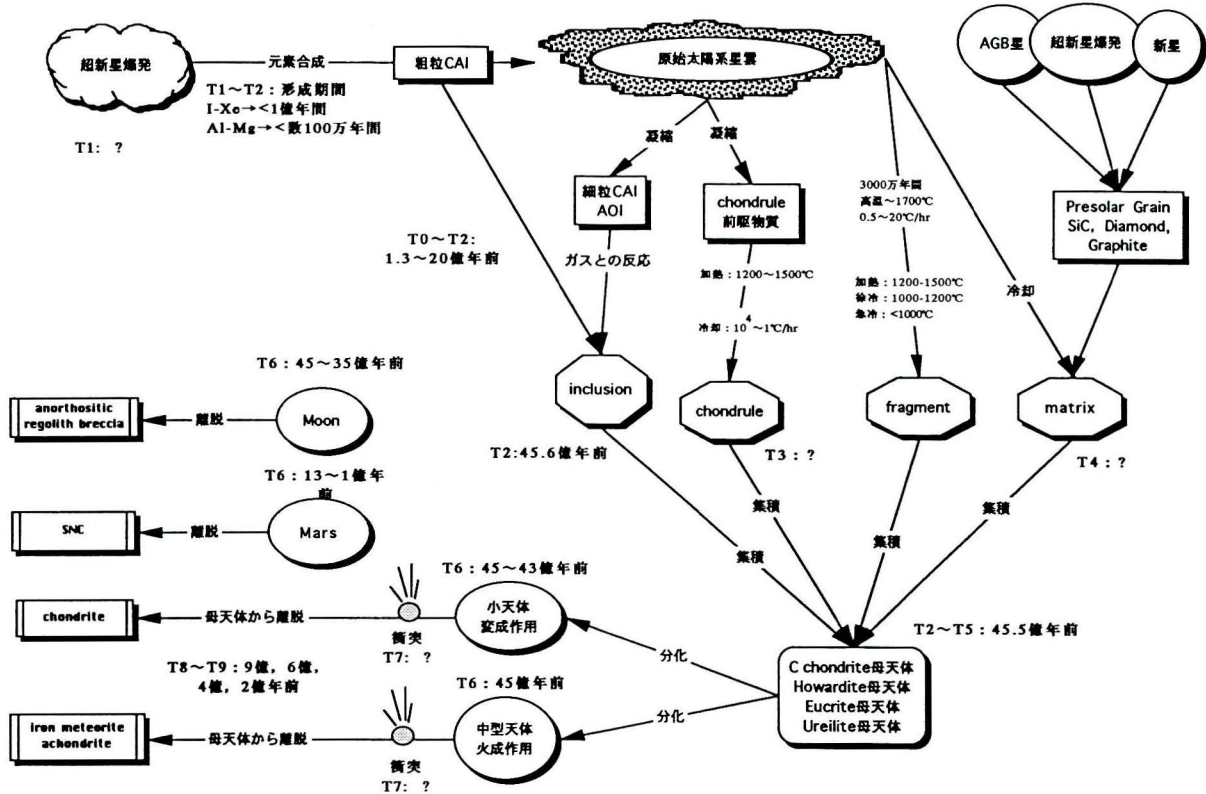


図8. 隕石の履歴.

howardite 母天体

HED achondrite の母天体である。HEDは、試料も多く、母天体のモデルはたくさん提唱されている。この母天体は、層構造をしている。各層に対応する隕石がある。母天体の地殻は、上部から、表層 eucrite, 普通 eucrite, cumulative eucrite, diogenite, 普通 diogenite のいう岩石で構成されていて考えられている（武田, 1982）。表層の岩石は、polymict breccia になっている。このような polymict breccia が howardite である。eucriteについては、揮発成分の少ない起源物質から、溶融の程度の違いによっていくつかの primary magma ができ、結晶分化によって各種の深成岩や火成岩でき、それが eucrite になるという考えがある (Stolper, 1977)。HEDと多くの stony-iron meteorite は成因関係があると考えられている。mesosiderite 中の珪酸塩鉱物は、HED のものと非常に類似する。

ureilite 母天体

ureilite は、炭素の存在、酸素の同位体、全岩組成から、carbonaceous chondrite の成因関係があるとされている。また、ureilite は地球の超塩基性岩に類似するため、地球のマントルの起源を考える上でも重要である。珪酸塩鉱物の回りを炭素が埋めるという組織を持つながら、chondrite より、Fe, Ca, Alを抜いていくというプロセスを考えなければならない。1200°Cを越える高温を保ちながら、炭素と珪酸塩鉱物中のFeが平衡を保つような酸素分圧にならなければならぬ。このような条件を満たすのは非常に難しいもの

である。このような過程は普通のマグマの結晶分化作用では形成できな。いくつかのモデルが出されているが、複雑な過程を作らなくてはならず、まだ確定的なモデルはできていない（国立極地研究所, 1987）。

aubrite 母天体

極端に還元された achondrite は、E chondrite の成因関係がある分化した岩石である。つまり aubrite は、E chondrite から形成されたと考えられる。この母天体の中心部には、Fe-Ni の核を持つとされている。微量元素から、中心核の iron meteorite は IAB であるとされている。aubrite の酸素同位体は、地球・月の分化線に乗り、HED とは違うと考えられている。このような母天体は、小惑星 Nysa に類似するとされている。中心には Hertha のような金属鉄核があるとされている。

iron meteorite の母天体

iron meteorite は、表 14 のように、15 のグループはいくつかにまとめられている。IA と IB (IAB と略される), IIA と IIB (IIAB と略される), IIIA と IIIB (IIIAB と略される), IIIC と IIID (IIICDB と略される) は成因関係があるとされる。いずれにしても、iron meteorite は多くのグループに細分されることは、その起源が複雑であることを示す。iron meteorite は、単純に母天体の核部分だと考えられていたが、実際には、微惑星から原始惑星へと成長するときのさまざまな段階を残している。IVB は、1270K の宇宙存在度を持つガスから凝縮、集積し、2 次的な分化作用を受けずに

残ったものである。IAB は部分的に溶け始めた状態を保持したまま凍結された。母天体内で、鉄が濃集して溶融金属核になる初期の段階のものである。IVA は、母天体内の金属鉄の部分溶融のさまざまな段階を凍結している。これは核内での出来事ではなく、金属鉄が部分的に溶け濃集成長したが核まで沈降できない状態を示している。推定される冷却速度がさまざまであることから、母天体内のさまざまな深さにできた金属鉄のプールを見ていると考えられる。IAB の一部、IIAB、IIC、IID、IIIAB は上述のすべての過程を経て形成されたもので、各種の小天体の核を形成していたと考えられる。このような iron meteorite の特徴は、金属鉄のみが先に集積して後に stony meteorite が集まるという不均質集積のモデルでは説明できない。均質集積した隕石物質が、金属鉄と珪酸塩鉱物との分離が起つたと考えられる。

V まとめ

今まで述べてきたことから、隕石形成のあらすじを考えると次のようになる（図 8）。

隕石の起源となったほとんどの元素は、超新星爆発によって作られた。原始太陽系星雲には、AGB 星や新星あるいは他の超新星爆発などで作られた presolar grain を含んでいた。超新星爆発から固体の凝縮までは、1 億年～数 100 万年程度の期間でおこる。今から 45.6 億年前頃に CAI などの高温物質が凝縮する（Chen & Wasserburg, 1981）。その後 1000 万年程度で、隕石の前駆物質がすべて固化し閉鎖系にはいる。つまり、隕石は集合し、各種の小天体つまり母天体を形成する。45～44 億年ころ、大きい天体では、achondrite のような岩石を形成する火成作用が、小さい天体では熱変成作用が起る。その後、衝突による変成や溶融を受け、最後の衝突で母天体から離脱して、宇宙空間をさまよい、やがて地球に落下する。

このような、隕石の形成史が考えられる。最近までの研究史を眺めてみると、隕石の研究の目的の多くは、太陽系の初期の段階である。地球の材料物質として位置づけて眺められることがほとんどない。今後、地球初期への関心が高まるにつれて隕石の重要性はますます高くなるであろう。

文献

- Ahrens, T. J., J. D. O'Keefe & M. A. Lange, 1989. Formation of atmosphere during accretion of the terrestrial planets. In Atreya, S. K. et al., eds., *Origin and Evolution of Planetary and Satellite Atmospheres*, pp. 328-385. Univ. Arizona Press, Tucson.
- Allegre, C. J., J. L. Birck, S. Fourcade & M. P. Semet, 1975. Rubidium-87/strontium-87 age of Juvinas basaltic achondrite and early igneous activity in the solar system. *Science*, 187: 436-438.
- 甘利幸子, 1993. 隕石中の SiC : 同位体比とその起源. 日本惑星科学会誌, 2: 73-77.
- Amari, S., P. Hoppe, E. Zinner & R. S. Lewis, 1993. The isotopic compositions and stellar sources of meteoritic graphite grains. *Nature*, 365: 806-809.
- Anders, E., 1964. Origin, age, and composition of meteorites. *Space Sci. Rev.*, 3: 583-714.
- Anders, E. & E. Zinner, 1993. Interstellar grains in primitive meteorites : diamond, silicon carbide, and graphite. *Meteoritics*, 28: 490-514.
- Basaltic Volcanism Study Project, 1981. *Basaltic Volcanism on the terrestrial planets*. 1276 pp. Pergamon Press, New York.
- Bates, R. L. & J. A. Jackson, 1987. *Glossary of geology*. 3rd edition. 788 pp. Amer. Geol. Institute, Virginia.
- Birck, J. L. & C. J. Allegre, 1978. Chronology and chemical history of the parent body of basaltic achondrite studied by the ^{87}Rb - ^{87}Sr method. *Earth Planet. Sci. Lett.*, 39: 37-51.
- Bogard, D. D., D. S. Burnett, P. Eberhardt & G. J. Wasserburg, 1967. ^{87}Rb - ^{87}Sr isochron and ^{40}K - ^{40}Ar ages of the Norton County achondrite. *Earth Planet. Sci. Lett.*, 3: 179-189.
- Brouxel, M. & M. Tatsumoto, 1991. The Estherville mesosiderite : U-Pb, Rb-Sr, and Sm-Nd isotopic study of a polymict breccia. *Geochim. Cosmochim. Acta*, 55: 1121-1133.
- Brown, P., Z. Ceplecha, R. L. Hawkes, G. Wetherill, M. Beech, & K. Mossman, 1994. The orbit and atmospheric trajectory of the Peekskill meteorite from video records. *Nature*, 367: 624-626.
- Cameron, A. G. W., 1966. The accumulation of chondritic material. *Earth Planet. Sci. Lett.*, 1: 93-96.
- Chapman, C. R., 1981. The nature of asteroids (小惑星は隕石の母体か) . 別冊サイエンス 豊富と隕石, pp. 90-101. 日本経済新聞社. 東京.
- Chen, J. H. & G. J. Wasserburg, 1981. The isotopic composition of uranium and lead in Allende inclusions and meteoritic phosphates. *Earth Planet. Sci. Lett.*, 52: 1-15.
- Chen, J. H. & G. J. Wasserburg, 1983. The least radiogenic Pb in iron meteorites. (Abstract) 14th Lunar and Planet. Sci. Conf., 103-104.
- Chen, J. H. & G. J. Wasserburg, 1985. (Abstract) , *Lunar Planet. Sci.*, XVI: 119-120.
- Chow, T. J. & C. C. Patterson, 1961. Lead isotopes in manganese nodules. *Geochim. Cosmochim. Acta*, 17: 21-31.
- Dodd, R. T. & E. Jarosewich, 1979. Incipient melting in and shock classification of L-group chondrites. *Earth Planet. Sci. Lett.*, 44: 225-340.
- Dodd, R. T., W. R. Van Schmus & D. M. Koffman, 1967. A Survey of the unequilibrated ordinary chondrites. *Geochim. Cosmochim. Acta*, 31: 921-951.
- Easton, A. J. & C. J. Elliott, 1977. Analyses of some meteorites from the British Museum (Natural History) collection. *Meteoritics*, 12: 409-416.
- Gale, N. J., J. W. Arden & R. Huchunson, 1975. The chronology of the Nakhla achondritic meteorite. *Earth Planet. Sci. Lett.*, 26: 195-206.
- Gooding, J. L. & K. Keil, 1981. Relative abundances of chondrule primary textural types in ordinary chondrites and their bearing on conditions of chondrule formation. *Meteoritics*, 16: 17-43.
- Gopalan, K. & G. W. Wetherill, 1971. Rubidium-strontium studies on the black hypersthene chondrites : Effects of shock and reheating. *Jour. Geophys. Res.*, 76: 8484-8492.
- Graham, A. L., A. W. R. Bevan & R. Hutchison, 1985. Catalogue of Meteorites (4th edition) . 460 pp., Univ. Arizona Press., Tucson.
- Gray, C. M. & W. Compston, 1974. Excess ^{26}Mg in the Allende

- meteorites. *Nature*, 251 : 495-497.
- Gray, C. M., D. A. Papanastassiou & G. J. Wasserburg, 1973. The identification of early condensates from the solar nebula. *Icarus*, 20 : 213-219.
- Grossman, L., 1972. Condensation in the primitive solar nebula. *Geochim. Cosmochim. Acta*, 36 : 597-619.
- Grossman, L., 1975. Petrography and mineral chemistry of Ca-rich inclusions in the Allende meteorite. *Geochim. Cosmochim. Acta*, 39 : 433-454.
- Hill, D. H., W. V. Boynton & R. A. Hagg, 1991. A lunar meteorite found outside the Antarctic. *Nature*, 352 : 614-617.
- Huss, G. R., K. Keil & G. J. Taylor, 1981. The matrices of uncalibrated ordinary chondrites : Implication for the origin and history of chondrites. *Geochim. Cosmochim. Acta*, 45 : 33-51.
- Ikeda, Y., 1982. Petrology of the ALH-77003 chondrite (C3). *Mem. Natl. Inst. Polar Res., Spec. Issue*, 25 : 34-65.
- 池田幸雄, 1983. アエンデ隕石と原始太陽系. 鉱物学雑誌, 16 : 91-101.
- Ikeda, Y., M. Kimura, H. Mori & H. Takeda, 1981. Chemical compositions of matrices of uncalibrated ordinary chondrites. *Mem. Natl. Inst. Polar Res., Spec. Issue*, 20, 124-144.
- Ikeda, Y., 1983. Major element chemical compositions and chemical types of chondrules in unequilibrated E, O and C chondrites from Antarctica. *Mem. Natl. Inst. Polar Res., Spec. Issue*, 30 : 122-145.
- Ireland, T. R., W. Compston, I. S. Williams & I. Wendt, 1990. U-Th-Pb systematics of individual perovskite grains from the Allende and Marchison carbonaceous chondrites. *Earth Planet. Sci. Lett.*, 101 : 379-387.
- Jacobsen, S. B. & G. J. Wasserburg, 1984. Sm-Nd evolution of chondrites and achondrites, II. *Earth Planet. Sci. Lett.*, 67 : 137-150.
- Jagoutz, E., 1991. Chronology of SNC meteorites. *Space Sci. Rev.*, 56 : 13-22.
- Jarosewich, E. & B. Meson, 1969. Chemical analyses with notes on one mesosiderite and seven chondrites. *Geochim. Cosmochim. Acta*, 33 : 411-416.
- Kaneoka, I., 1981. ^{40}Ar - ^{39}Ar ages of Antarctic meteorites : Y-74191, Y-75258, Y-7308, Y-74450 and ALH-765. *Mem. Natl. Inst. Polar Res., Spec. Issue*, 20 : 250-263.
- Kemp, W. & O. Muller, 1969. The stony meteorite Krahenberg, its chemical composition and the Rb-Sr age of the light and dark portions. In P. M. Millman, ed., *Meteorite Research*, pp. 418-428. Reidel, Holland.
- Kieffer, S. W., 1975. Droplet chondrules. *Science*, 189 : 333-340.
- Kimura, M., 1983. Chemical and petrologic relations of the constituent units in ALH-77249 meteorites (L3). *Mem. Natl. Inst. Polar Res., Spec. Issue*, 30 : 146-167.
- Kimura, M., 1984. Coarse-grained lithic fragments in unequilibrated ordinary chondrites. 8th Symp. Antarctica Meteorites, Tokyo, Natl. Inst. Polar Res., 46-47.
- 小出良幸, 1992. マントルの同位体的多様性 - マントル進化へのアプローチ. 地学雑誌, 101 : 159-192.
- 小出良幸, 1994. 総説 : 地球の生成場にまつわるモデルとその束縛条件. *Bull. Kanagawa prefect. Mus. (Nat. Sci.)*, 23 : 51-86.
- 国立極地研究所, 1987. 南極の科学 6. 南極隕石. 440 pp. 古今書院, 東京.
- 国立天文台, 1990. 理科年表 平成3年版. 1049 pp. 丸善, 東京.
- Kurat, G., 1967. Zur Entstehung der Chondren. *Geochim. Cosmochim. Acta*, 31 : 491-502.
- Lancet, M. W. & K. Lancet, 1971. Cosmic-ray and gas-retention ages of the Chassigny meteorite. *Meteoritics*, 6 : 81-86.
- Larimer, J. W., 1967. Chemical fractionations in meteorites-I. Condensation of the elements. *Geochim. Cosmochim. Acta*, 31 : 1215-1238.
- Larimer, J. W. & E. Anders, 1967. Chemical fractionation in meteorites-II. Abundance patterns and their interpretation. *Geochim. Cosmochim. Acta*, 31 : 1239-1270.
- Lewis, R. S., S. Amari & E. Anders, 1994. Interstellar grains in meteorites : II. SiC and its noble gases. *Geochim. Cosmochim. Acta*, 58 : 471-494.
- Lofgren, G. & W. J. Russell, 1983. Dynamic crystallization of chondrule melts of porphyritic and radial pyroxene composition. *Geochim. Cosmochim. Acta*, 50 : 1715-1726.
- Lord, H. C., 1965. Molecular equilibria and condensation in a solar nebula and cool stellar atmospheres. *Icarus*, 4 : 279-288.
- Luck, J.-M. & C. J. Allegre, 1983. ^{187}Re - ^{187}Os systematics in meteorites and cosmological consequence. *Nature*, 302 : 130-132.
- Lugmair, G. W., 1974. Sm-Nd ages : a new dating method (abstract). *Meteoritics*, 9 : 369.
- Lugmair, G. W. & K. Marti, 1977. Sm-Nd-Pu timepieces in the Angra dos Reis meteorite. *Earth Planet. Sci. Lett.*, 35 : 273-284.
- Lugmair, G. W. & N. B. Scheinin, 1975. Sm-Nd systematics of the Stannern meteorites (abstract). *Meteoritics*, 10 : 447-448.
- MacPherson, G. J., D. A. Wark & J. T. Armstrong, 1988. Primitive material surviving in chondrites : Refractory inclusion. In Kerridge & M. S. Matthews, eds., *Meteorites and the early solar system*, pp. 746-807. Univ. Arizona Press, Tucson.
- Manhes, G., C. J. Allegre & A. Provost, 1984. U-Th-Pb systematics of the eucrite "Juvina" : Precise age determination and evidence for exotic lead. *Geochim. Cosmochim. Acta*, 48 : 2247-2264.
- Manhes, G., M. Tatsumoto, D. Unruh, J. L. Birck & C. J. Allegre, 1975. Comparative ages of basaltic achondrites and early evolution of the solar system. *Lunar Planet. Sci. VI* : 546-547.
- Mason, B., 1962. *Meteorites*. 72 pp. John Wiley & Sons, New York.
- 増田彰正・中川直哉・田中剛, 1991. 宇宙と地球の化学. 253 pp. 大日本図書株式会社, 東京.
- McSween, H. Y., 1979. Alteration in CM carbonaceous chondrites inferred from modal and chemical variations in matrix. *Geochim. Cosmochim. Acta*, 43 : 1761-1770.
- Minster, J. F. & C. J. Allegre, 1976. ^{87}Rb - ^{87}Sr history of the Norton County enstatite achondrite. *Earth Planet. Sci. Lett.*, 32 : 191-198.
- Minster, J. F. & C. J. Allegre, 1979. ^{87}Rb - ^{87}Sr dating of L-chondrites : effects of shock and brecciation. *Meteoritics*, 14 : 233-234.
- Minster, J. F. & C. J. Allegre, 1981. ^{87}Rb - ^{87}Sr dating of LL chondrites. *Earth Planet. Sci. Lett.*, 56 : 89-106.
- Minster, J. F., J. L. Birck & C. J. Allegre, 1976. ^{87}Rb / ^{87}Sr constraints on the primitive chronology of meteorites (abstract). *Meteoritics*, 11 : 336-337.
- Minster, J.-F., L.-P. Ricard & C. J. Allegre, 1979. ^{87}Rb - ^{87}Sr chronology of enstatite chondrites. *Earth Planet. Sci. Lett.*, 44 : 420-440.
- Murthy, V. R. & C. C. Patterson, 1962. Primary isochron of zero age for meteorites and the earth. *Jour. Geophys. Res.*, 67 : 1161-1167.

- Nagahara, H., 1981. Evidence for secondary origin of chondrules. *Nature*, 292 : 135-136.
- Nagahara, H., 1984. Matrices of type 3 ordinary chondrites - primitive nebular records. *Geochim. Cosmochim. Acta*, 48 : 2581-2595.
- Nagao, K., K. Ogata, N. Takaoka & K. Saito, 1983. Rare gases studies of sixteen stony meteorites from Antarctica. *Mem. Natl. Inst. Polar Res., Spec. Issue.*, 30 : 349-361.
- Nakamura, N., T. Fujiwara & S. Nohda, 1990. Young asteroid melting event indicated by Rb-Sr dating of the Point of Rocks meteorites. *Nature*, 345 : 51-52.
- Nakamura, N. & O. Okano, 1985. 1,200-Myr impact-melting age and trace-element chemical features of the Yamato-790964 chondrite. *Nature*, 315 : 563-566.
- Namakura, N., M., Tatsumoto, P. D. Munes, D. M. Unruh, A. P. Schwab & T. T. Wildeman, 1976. 4.4 b.y.-old clast in Boulder 7, Apollo 17 ; A comprehensive chronological study of U-Pb, Rb-Sr and Sm-Nd methods. *Proc. Lunar Sci. Conf.*, 7th, 2309-2333.
- Namakura N., M. Tatsumoto & D. Coffrant, 1983. Sm-Nd isotopic systematics and REE abundance studies of the ALH-765 eucrite. *Mem Natl. Polar Res., Spec. Issue*, 30 : 323-331.
- National Institute of Polar Research, 1979. Catalog of Yamato Meteorites. Compiled by Yanai, K. 188 pp. Tokyo.
- National Institute of Polar Research, 1987. Photographic Catalog of the Antarctic Meteorite. Compiled by Yanai Y. & H. Kojima. 298 pp. Tokyo.
- Nyquist, L. E., H. Takeda, B. M. Bansal, C.-Y. Shin, H. Wiesmann & J. L. Wooden, 1986. Rb-Sr and Sm-Nd internal isochron ages of a subophitic basalt clast and a matrix sample from the Y75011 eucrite. *Jour. Geophys. Res.*, 91 : 8137-8150.
- Nyquist, L. E., J. Wooden, B. Bansal, H. Wiesmann, G. McKay & D. Bogard, 1979. Rb-Sr age of the shergotty achondrite and implications for metamorphic resetting of isochron ages. *Geochim. Cosmochim. Acta*, 43 : 1057-1074.
- 小沼直樹, 1978. 第3章 始原惑星物質：隕石, 岩波講座地球科学 13. 東京, 89-150.
- 小沼直樹, 1987. 新装版宇宙化学. 247pp. 講談社, 東京.
- Oversby, V. M., 1970. The isotopic composition of lead iron meteorites. *Geochim. Cosmochim. Acta*, 34 : 65-75.
- Papanastassiou, D. A., R. S. Rajan, J. C. Hunke & G. J. Wasserburg, 1974. Rb-Sr ages and lunar analogs in a basaltic achondrite ; Implications for early solar system chronologies. *Lunar Sci. V* : 583-585.
- Papanastassiou, D. A. & G. J. Wasserburg, 1969. Initial strontium isotopic abundances and the resolution of small time differences in the formation of planetary objects. *Earth Planet. Sci. Lett.*, 5 : 361-376.
- Patchett, P. J., O. Kouvo, C. E. Hedge & M. Tatsumoto, 1981. Evolution of continental crust and mantle heterogeneity : Evidence from Hf isotopes. *Contrib. Mineral. Petrol.*, 78 : 279-297.
- Patterson, C. C., 1955. The $^{207}\text{Pb}/^{206}\text{Pb}$ ages of stone meteorites. *Geochim. Cosmochim. Acta*, 7 : 151-153.
- Podosek, F. A., E. K. Zinner, G. J. MacPherson, L. L. Lundberg, J. C. Brannon & A. J. Fahey, 1991. Correlated study of initial $^{87}\text{Sr}/^{86}\text{Sr}$ and Al-Mg isotopic systematics and petrologic properties in a suite of refractory inclusions from the Allende meteorite. *Geochim. Cosmochim. Acta*, 55 : 1083-1110.
- Podosek, F. A. & J. C. Hunke, 1973. $^{40}\text{Ar}-^{39}\text{Ar}$ chronology of four calcium-rich achondrites. *Geochim. Cosmochim. Acta*, 37 : 337-384.
- Prinzhof, A., D. A. Papanastassiou & G. J. Wasserburg, 1992. Samarium-neodymium evolution of meteorites. *Geochim. Cosmochim. Acta*, 56 : 797-815.
- Rambaldi, E. R., R. S. Rahan, D. Wang & R. M. Housley, 1983. Evidence for relict grains in chondrules of Qingzhen, an E3 type enstatite chondrite. *Earth Planet. Sci. Lett.*, 66 : 11-24.
- Ringwood, A. E., 1959. On the chemical evolution and densities of the planets. *Geochim. Cosmochim. Acta*, 15 : 257-283.
- Ringwood, A. E., 1960. Some aspects of the thermal evolution of the Earth. *Geochim. Cosmochim. Acta*, 20 : 241-259.
- Sanz, H. G. & G. J. Wasserburg, 1969. Determination of an internal $^{87}\text{Rb}-^{87}\text{Sr}$ isochron for the Olivenza chondrite. *Earth Planet. Sci. Lett.*, 6 : 335-345.
- Scott, E. R., D. J. Barber, C. M. Alexander, R. Hutchison & J. A. Peck, 1988. Primitive material surviving in chondrites : Matrix. In Kerridge & M. S. Matthews, eds., Meteorites and the early solar system, pp. 718-745. Univ. Arizona Press, Tucson.
- Sears, D. W., J. N. Grissman & C. L. Melcher, 1982a. Chemical studies of type 3 chondrites-I : Metamorphism related studies of Antarctic and other type 3 ordinary chondrites. *Geochim. Cosmochim. Acta*, 46 : 2471-2481.
- Sears, D. W., G. W. Kallemeyn & J. T. Wasson, 1982b. The compositional classification of chondrites : II. The enstatite chondrite groups. *Geochim. Cosmochim. Acta*, 46 : 597-608.
- Sears, D. W. G & R. T. Dodd, 1988. Overview and meteorite classification. In Kerridge & M. S. Matthews, eds., Meteorites and the early solar system, pp. 3-34. Univ. Arizona Press, Tucson.
- 杉浦直治, 1993. 隕石. 清水幹夫編, 惑星の科学, pp. 146-181. 朝倉書店, 東京.
- Starik, I. E., F. E. Strike & A. N. Yelizarova, 1961. Comparative leachability of some isotopes. *Akad. Nauk SSSR Kom. Operedeleniyu Absolyut. Vozrasta Geol. Formatsii Byull.*, 4 : 160-165.
- Stolper, E. M., 1977. Experimental petrology of eucritic meteorites. *Geochim. Cosmochim. Acta*, 41 : 587-611.
- Swindle, T. D. & F. A. Podosek, 1988. Iodine-xenon dating. In Kerridge & M. S. Matthews, eds., Meteorites and the early solar system, pp. 1127-1146. Univ. Arizona Press, Tucson.
- 高橋和也, 1994. 分化した隕石の化学的・年代的研究. 地球化学, 28 : 73-84.
- 武田弘, 1982. 惑星の物質科学. 150 pp. 東京大学出版会. 東京.
- 武田弘, 1991. 失われた原始惑星. 216 pp. 中公新書 1005. 東京.
- Tatsumoto, M., R. J. Knight & G. J. Allegre. 1973. Time differences in the formation of meteorites as determined from the ratio of lead-207 to lead-206. *Science*, 180 : 1279-1283.
- Taylor, S. R., 1992. Solar system evolution. 307 pp. Cambridge Univ. Press, New York.
- Tilton, G. R. 1973. Isotopic lead ages of chondritic meteorites. *Earth Planet. Sci. Lett.*, 19 : 321-329.
- Tilton, G. R. 1988. Age of the Solar system. In Kerridge & M. S. Matthews, eds., Meteorites and the early solar system, pp. 259-275. Univ. Arizona Press, Tucson.
- Tomeoka, K. & P. R. Buseck, 1982. An unusual Fe- and O-rich layered material in chondrules and aggregates of carbonaceous chondrites.

- Lunar Planet. Sci., XIII : 803-186.
- Torigoe, N. 1988. Meteoritic chronology. Progress of Theoretical Physics Supplement, 96 : 16-36.
- Tsuchiyama, A. & H. Nagahara, 1981. Effects of precooling thermal history and cooling rate on the texture of chondrules : A preliminary report. Mem. Natl. Unst. Polar Res., Spec. Issue, 20 : 175-192.
- Tsuchiyama, A., H. Nagahara & I. Kushiro, 1980. Experimental reproduction of textures of chondrules. Earth Planet. Sci. Lett., 48 : 155-165.
- Tsuchiyama, A., H. Nagahara & I. Kushiro, 1981. Volatilization of sodium from silicate melt spheres and its application to the formation of chondrules. Geochim. Cosmochim. Acta, 45 : 1357-1367.
- Unruh, D. M., 1982. The U-Th-Pb age of equilibrated L chondrites and a solution to the excess radiogenic Pb problem in chondrites. Earth Planet. Sci. Lett., 58 : 75-94.
- Unruh, D. M., N. Nakamura & M. Tatsumoto, 1977. History of the Pasamonte achondrite : Relative susceptibility of the Sm-Nd, Rb-Sr and U-Pb systems to metamorphic events. Earth Planet. Sci. Lett., 37 : 1-12.
- Van Schmus, W. R., 1969. The mineralogy and petrology of chondritic meteorites. Earth Sci. Rev., 5 : 145-184.
- Van Schmus, W. R. & J. M. Hayes, 1974. Chemical and petrographic correlations among carbonaceous chondrites. Geochim. Cosmochim. Acta, 38 : 47-64.
- Van Schmus, W. R., & J. A. Wood, 1967. A chemical-petrologic classification for the chondritic meteorites. Geochim. Cosmochim. Acta, 31 : 747-765.
- Virag, A., B. Wopenka, S. Amari, E. Zinner, E. Anders & R. S. Lewis, 1992. Isotopic, optical and trace element properties of large single SiC grains from Marchison meteorite. Geochim. Cosmochim. Acta, 56 : 1715-1733.
- Wasserburg, G. J., S. B. Jacobsen, D. J. DePaolo, M. T. McCulloch & T. Wen, 1981. Precise determination of Sm/Nd ratios, Sm and Nd isotopic abundances in standard solutions. Geochim. Cosmochim. Acta, 45 : 2311-2323.
- Wasserburg, G. J., D. A. Papanastassiou & H. G. Sanz, 1969. Initial strontium for a chondrite and the determination of a metamorphism or formation interval. Earth Planet. Sci. Lett., 7 : 33-43.
- Wasserburg, G. J., F. Tera, D. A. Papanastassiou & J. C. Hunecke, 1977. Isotopic and chemical investigations on Angra dos Reis. Earth Planet. Sci. Lett., 35 : 249-316.
- Wasson, J. T., 1974. Meteorites : Classification and properties. 316 pp. Springer-Verlag, New York.
- Wasson, J. T., 1985. Meteorites : Their record of early solar-system history. 267 pp. Freeman, New York.
- Wiik, H. B., 1956. The chemical composition of some stony meteorites. Geochim. Cosmochim. Acta, 26 : 279-289.
- Wetherill, G. W. & C. R. Chapman, 1988. Asteroids and meteorites. In Kerridge & M. S. Matthews, eds., Meteorites and the early solar system, pp. 35-67. Univ. Arizona Press, Tucson.
- Wood, J. A., 1983. Formation of chondrules and CAIs from interstellar grains accreting to the solar nebula. Mem. Natl. Inst. Polar Res., Spec. Issue, 30 : 84-92.
- Wood, J. A., 1984. On the formation of meteoritic chondrules by aerodynamic drag heating in the solar nebula. Earth Planet. Sci. Lett., 70 : 11-26.
- Yanai, K., 1978. Yamato-74 meteorites collection, Antarctica, from November to December 1974. Mem. Natl. Inst. Polar Res., Spec. Issue, 8 : 1-37.
- 矢内桂三, 1981. 10 南極の隕石. 別冊サイエンス 豊星と隕石, pp. 128-139. 日本経済新聞社. 東京.
- 矢内桂三, 1991. 南極隕石 : 現状とこれからの研究. 鉱物学雑誌, 20 : 123-132.

北海道根室半島の海成沖積層から産出した貝化石の¹⁴C年代

松島義章¹⁾・川上 淳²⁾

1)神奈川県立博物館・2)根室市博物館開設準備室

Radiocarbon Age of the Molluscan Shells from the Holocene Marine Deposits in the Nemuro Peninsula, Eastern Hokkaido

Yoshiaki MATSUSHIMA¹⁾ & Jun KAWAKAMI²⁾

1)Kanagawa Prefectural Museum, Naka-ku, Yokohama, Kanagawa 231, Japan

2)The Preparative Office of Nemuro Municipal Museum, Nemuro-shi, Hokkaido 087, Japan

Abstract. A radiocarbon dating was made for the molluscan shells (*Ruditapes philippinarum* (Adams et Reeve)) collected from the upper part of the Holocene marine deposits of the Hattari River, Nemuro Peninsula, Eastern Hokkaido. The molluscan shells were contained in a sandy silt bed, at few meters below the surface altitude -2~ -3 above. The age obtained (5470 ± 110 y. B. P.) is consistent with the former estimation that the marine bed in the Hattari River alluvial plain was accumulated during the culmination stage of the Jomon Transgression.

Key Words: Nemuro Peninsula, Radiocarbon Age, Jomon Transgression

1.はじめに

筆者らは北海道東部地域、特に、根室半島の完新世における沿岸海況変遷を、海成沖積層の貝化石と貝塚遺跡出土の貝類から解明しようという目的で調査を進めている。今回、根室市市街地西方のハッタリ川低地で行われていた根室市の下水道工事に伴い、掘削された海成沖積層より貝化石を採集することができた。その貝化石はマガキ(*Crassostrea gigas*)をはじめアサリ(*Ruditapes philippinarum*)、ホソウミニナ(*Batillaria cumingii*)など内湾の干潟群集構成種よりなり、この中には現在の北海道では全く生息していない温帯種のウネナシトマヤガイ(*Trapezium liratum*)などが含まれていた。そこで、これらの貝類が生息していた年代を明らかにしようという目的で、マガキやウネナシトマヤガイと共にアサリを試料にして¹⁴C年代測定を行なった。その結果、明らかになつた¹⁴C年代測定値は、 5470 ± 110 年前の縄文海進最盛期であることが分った。ここに根室半島ハッタリ川低地にみられる海成沖積層の貝化石年代とその意義について述べる。

この研究を進めるにあたり根室市役所建設部建設係田中保博係長、根室市教育委員会文化財係菊地幹夫係長(当時)には情報と資料の提供をいただいた。貝化石の撮影は神奈川県立歴史博物館の井上久美子主査にお願いした。ここに記して心より感謝の意を表する。本研究には、平成2~4年度文部省科学研究費補助金総合研究(A)「日本列島における海岸環境の変遷」(研究代表者:小池一之、課題番号 02302091)およ

び平成3年度一般研究(C)「貝類からみた完新世日本列島沿岸域の環境変遷」(研究代表者:松島義章、課題番号 03640661)の一部を使用した。

2.¹⁴C年代測定結果

測定値: 5470 ± 110 y. B. P. (3520 B. C.)

測定番号: GaK - 16994

測定者: 木越邦彦(学習院大学)

測定試料: アサリ *Ruditapes philippinarum* (Adams et Reeve)

採集年月日: 1992年12月16日

採集者: 川上 淳

採集地: 北海道根室市西浜町1 ハッタリ川左岸(北緯43°19'12", 東経145°34'26", 海抜約-2~-3 m, 図1 *印)。本地点は国道44号線からハッタリ川の上流に沿って約150m入った左岸に位置する。

試料の産状: 試料のアサリを含む貝化石は、ハッタリ川左岸低地で下水道工事のため数m掘下げられ、そこより搬出された泥の中から採集した。そのため化石の正確な産出深度は明らかでなかった。しかし、幸にもこの付近は根室総合運動公園が計画されており、地盤が軟弱なため10本の地質ボーリング調査が行われていた(根室市・北海道開発試験センター、1990)。そこで、そのコア資料と報告書を調べることができた。調査の結果は、この低地で海成層が分布するのはハッタリ川

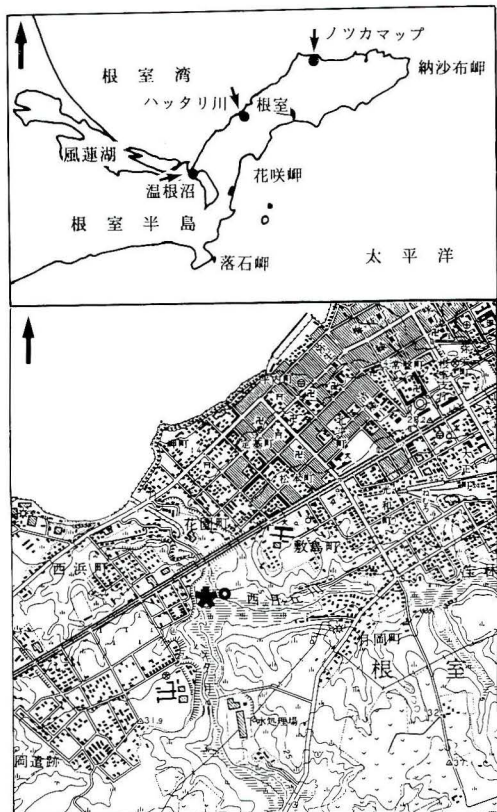


図1. 根室市ハッタリ川低地の調査地点。

* : 本報告地点 ; ○ : 沖積層ボーリング地点 (図2) ;
●温根沼 : 松島 (1992) ; ●ナツカマップ : 前田ほか
(1986) .

と支流の西月ヶ岡川沿いの地表高度がおよそ2~6mの範囲となっている。そこでは表層から厚さ1.6~3.7mの泥炭層が広く発達し、その下位に貝化石を含む軟弱な砂質シルト層が分布する。なお、ボーリング資料から明らかになった海成層の上限高度は-0.57m、貝化石はマガキヒメシラトリガイ (*Macoma incongrua*)である。今回採集した貝化石は、地表から3~4m下のシルト層中のものである。産出した種類は巻貝類が9種、二枚貝類が12種の合計21種である。それらは多量のマガキを特徴種として、ウネナシトマヤガイ、ホソウミニナ、アサリ、ヒメシラトリガイ、サビシラトリガイ (*Macoma contabulata*)、オオノガイ (*Mya arenaria oonogai*)など湾奥の干潟に生息する種が優勢となり、沿岸の岩礁底に生息するタマキビ (*Littorina brevicula*)、エゾタマキビ (*Littorina squalida*)、コベルトフミガイ (*Arca boucardi*)などの種、沖合の砂泥質底に生息するホタテガイ (*Patinopecten yessoensis*)やエゾイシカケガイ (*Clinocardium californiensis*)、河口などの汽水域に生息するヤマトシジミ (*Corbicula japonica*)、カワザンショウガイ (*Assiminea lutea japonica*)、カワグチツボ? (*Fluvicingula nipponica*?)の種などを伴う混合遺骸群集と

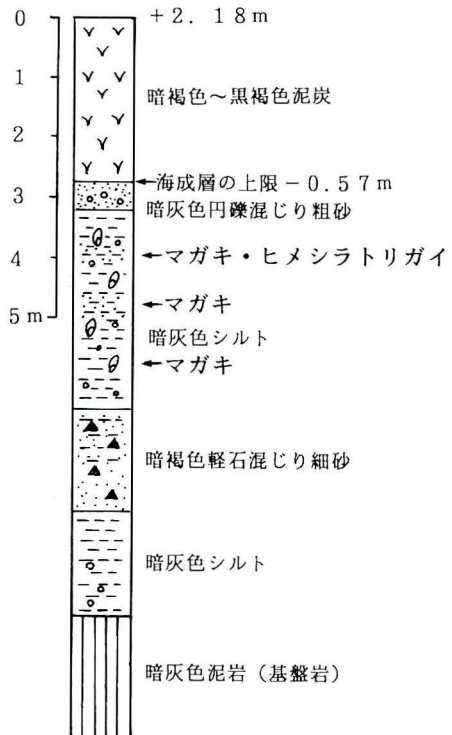


図2. ハッタリ川低地の沖積層ボーリング地質柱状図。
(根室市・北海道開発試験センター, 1990による.)

なっている。その中で干潟群集構成種のマガキをはじめウネナシトマヤガイ、アサリ、ヒメシラトリガイ、オオノガイなどは両殻が合わさり現地性堆積を示す。¹⁴C年代測定試料を使用したアサリは、殻が大きく保存のよいものとした。

3. ¹⁴C年代測定結果の意義

今回の根室市市街地西方のハッタリ川低地より得られた海成沖積層産のアサリの¹⁴C年代測定値は、 5470 ± 110 年前であることが明らかになった。この年代値は約5500年前の縄文海進最盛期を示す。このアサリやマガキと共に産した貝類はこの時期のハッタリ川低地に形成された内湾と、その前面の沿岸に生息していた貝類であることから、約5500年前ごろの根室半島沿岸環境を知ることができる。

表1はハッタリ川低地とノツカマップ川低地の海成沖積層(前田ほか, 1986)から産出した貝類化石を取り上げている。ハッタリ川低地では前述のように巻貝類が9種、二枚貝類が12種の合計21種を確認することができた。これらの種の生態的特徴は、前述のようにマガキを特徴種とした、アサリ、ウネナシトマヤガイ、ヒメシラトリガイ、サビシラトリガイ、オオノガイ、ホソウミニナ、アラムシロガイ (*Hinia festiva*)など干潟群集構成種が優勢となる。特に、マガキはその産状からみ

表 1. 根室市ハッタリ川低地とノックマップの海成沖積層から産出した貝類化石リスト .

巻貝類 GASTROPODA		ハッタリ川ノックマップ ^o	
タマキビ <i>Littorina brevicula</i> (Philippi)	r	r	
エゾタマキビ <i>Littorina squalida</i> (Broderip et Sowerby)	va	—	
クロタマキビ <i>Neritremma sitkana</i> (Philippi)	—	r	
カワザンショウ <i>Assiminea lutea japonica</i> v. Martens	r	—	
カワグチツボ? <i>?Fluviocingula nipponica</i> Kuroda et Habe	r	—	
ホソウミニナ <i>Batillaria cumingii</i> (Crosse)	va	r	
エゾタマガイ <i>Tectonatica janthostomoides</i> Kuroda et Habe	r	—	
オオチジミボラ <i>Nucella freycineti alabaster</i> Pilsbry	—	r	
コウダカマツムシ <i>Mitrella tenuis</i> (Gaskoin)	—	r	
アラムシロガイ <i>Hinia festiva</i> (Powys)	c	—	
クロスジムシロガイ <i>Reticunassa fratercula</i> (Dunker)	—	r	
マルテンスマツムシ <i>Indomitrella martensi</i> (Lischke)	r	—	
ムギガイ <i>Mitrella bisincta</i> (Gould)	r	—	
<hr/>			
二枚貝類 PELECYPODA			
コベルトフネガイ <i>Arca boucardi</i> Jousseaume	r	r	
ホトトギス <i>Musculus senhousei</i> (Benson)	r	—	
ホタテガイ <i>Patinopecten yessoensis</i> (Joy)	r	—	
ナミマガシワ <i>Anomia chinensis</i> Philippi	r	—	
マガキ <i>Crassostrea gigas</i> (Thunberg)	va	a	
ヤマトシジミ <i>Corbicula japonica</i> Prime	r	c	
ウネナシトマヤガイ <i>Trapezium liratum</i> (Reeve)	va	—	
エゾイシカゲガイ <i>Clinocardium californiensie</i> (Deshayes)	r	—	
エゾヌメガイ <i>Callithaca (Protocalithaca) adamsi</i> (Reeve)	—	r	
アサリ <i>Ruditapes philippinarum</i> (Adams et Reeve)	c*	a	
ヒメシラトリガイ <i>Macoma incongrua</i> (v. Martens)	c	c	
サビシラトリ <i>Macoma contabilata</i> (Deshayes)	r	—	
オオノガイ <i>Mya arenaria oonogai</i> Makiyama	r	c**	

産出頻度 va : 非常に多い, a : 多い, c : 普通, r : 少ない

* 5470 ± 110 y. B. P. (GaK-16994) ** 5190 ± 200 y. B. P. (JGS142)

てハッタリ川低地の内湾干潟でカキ礁を形成していたと推測される。このカキ礁は岩礁的な環境を呈し、そこにはタマキビ、エゾタマキビ、コベルトフニガイ、ナミマガシワ (*Anomia chinensis*)などの種も分布した。一方、沖合の砂泥質底に生息するホタテガイやエゾイシカゲガイ、河口などの汽水域に生息するヤマトシジミ、カワザンショウガイ、カワグチツボ?などの種は、片殻であったり、その保存状態もあまり良くなく、遺骸として運ばれ本地点で干潟群集構成種と一緒にになって異地堆積したものと考えられる。したがって、干潟群集を主体とする混合遺骸群集となっている。

その中で注目すべきは、現在の北海道では全く生息していないウネナシトマヤガイ、北海道南部以南に生息するサビシラトリガイをはじめ、アラムシロガイやムギガイ、マルテンスマツムシなど温暖種を産出したことである。すなわち、本地点で温暖種の占める割合は、判明した21種のうち少なくとも5種となり、23%以上に達している。このことは、多種におよぶ温暖種の生息できる温暖な海洋環境が、根室半島でも確實に存在したことを示すものである。この点を支持する資料としては、近接する温根沼につくられた縄文時代の温根沼貝塚から、現在の根室湾では生息していない温暖種のカガミガイが出土している(児玉・大場, 1956)。この貝塚は縄文前期に形

成されていることから、その時期が今回明らかになった¹⁴C年代測定値の約5500年前と一致する。

4. 道東海岸にみられる縄文海進最盛期の温暖化

道東海岸における縄文海進最盛期の温暖化を示す資料は、最近の研究でかなり多くなってきた。根室半島では温根沼大橋の掛け替えに伴う地質ボーリング資料より得られたウネナシトマヤガイとその¹⁴C年代測定値、道東海岸では厚岸(松島, 1992)、釧路湿原(山代, 1987; 1990; 松島・山代, 1992)やバシクル沼(松島, 1982b)、オホツク海沿岸ではクッチャロ湖(大島ほか, 1972; 松島, 1982a; 前田ほか, 1994)、常呂(海津, 1983; 前田ほか, 1994)、網走(松島, 1984; 前田ほか, 1994)など、道東海岸からオホツク海沿岸の広い範囲で得られている。

例えば、温根沼大橋ではウネナシトマヤガイが約7100年前に出現し約5500年前まで生息していたことが明らかにされている(松島, 1992)。釧路湿原ではハッタリ川低地で産出した温暖種以外に、ハマグリ(*Meretrix lusoria*)、シオフキ(*Mactra veneriformis*)、アカガイ(*Scapharca broughtonii*)、ウチムラサキ(*Saxidomus purpuratus*)、アズマニシキ(*Chlamys farreri nipponensis*)などさらに数多くの温暖種が約6900年前から約5300年前に生息していた(松島・山代, 1992)。そして、釧



図3a. ハッタリ川低地の調査地全景
(下流から上流を望む).



図3b. ハッタリ川低地の下水道工事現場
(ハッタリ川左岸).



図3c. 下水道工事で掘り出された泥に含
まれているマガキとアサリ化石.

路溝原東部の台地につくられた縄文早期から前期の貝塚遺跡からも、ハマグリ、シオフキ、カガミガイなどの貝類が出土しており、これらの貝類は当時の縄文人の食料となっていた。パシクル沼では約5800年前に形成されたカキ礁が明らかになり、そこにはウネナシトマヤガイが多数生息していた。一方、オホーツク海沿岸ではクッチャロ湖周辺の資料が多く、

湖畔の低地では約5900年前から約5000年前まで温暖種が広く生息していた。ここでも縄文早期の貝塚からシオフキ、アカニシ、ウネナシトマヤガイが出土している(松島, 1982a)。常呂では戦後の早い時期から調査が行われ、縄文貝塚と海成沖積層より温暖種の産出が報告されている(大嶋, 1968; 赤松, 1969; 遠藤・上杉, 1972など)。最近明らかになった年代では

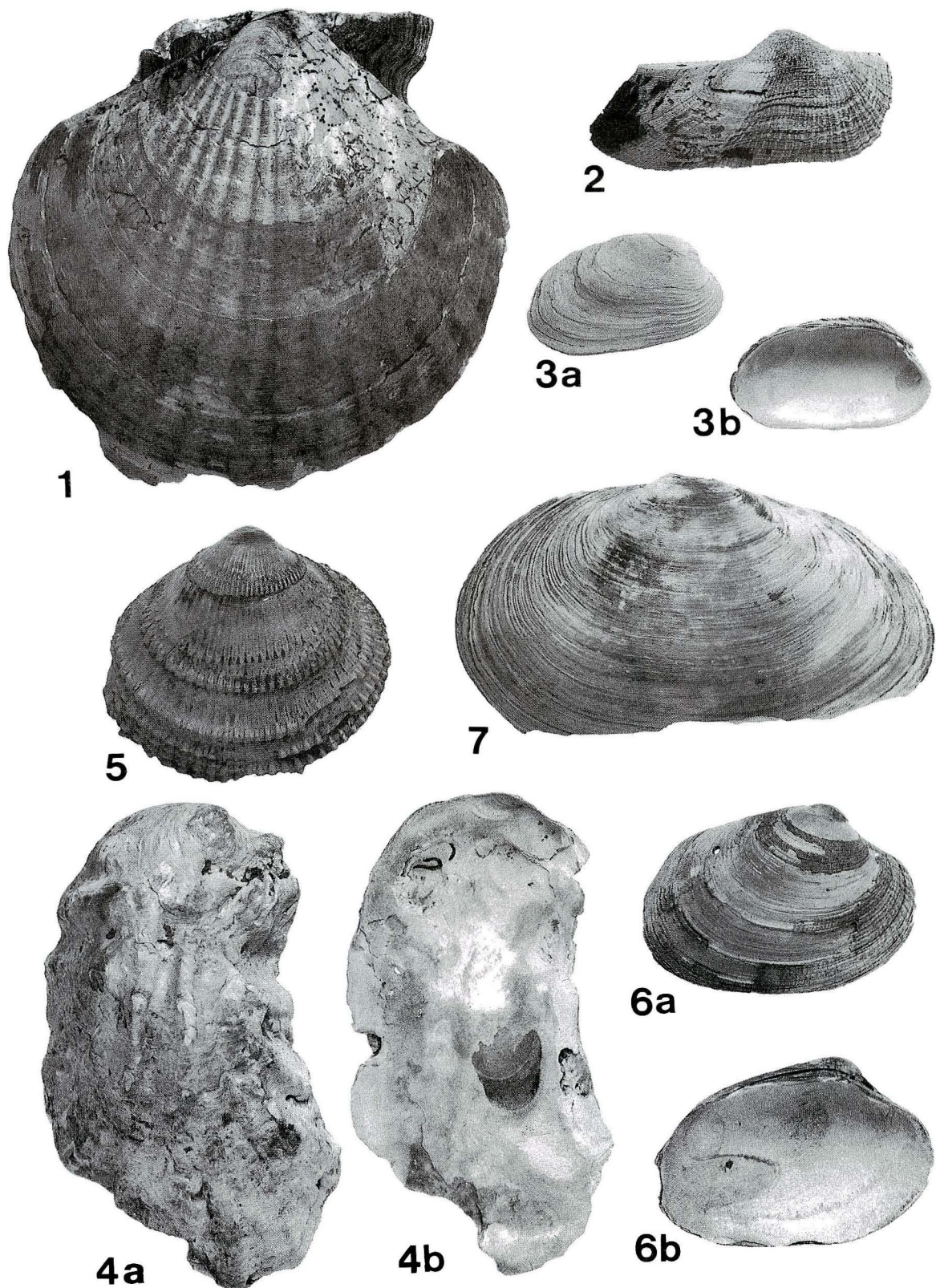


図4. ハッタリ川低地の海成沖積層から産出した貝類化石 I. (すべて×0.80)

1 : ホタテガイ *Patinopecten yessoensis* (Joy) ; 2 : コベルトフネガイ *Arca boucardi* Jousseaume ; 3 : ウネナシトマヤガイ *Trapezium liratum* (Reeve) ; 4 : マガキ *Crassostrea gigas* (Thunberg) ; 5 : エゾイシカゲガイ *Clinocardium californiensie* (Deshayes) ; 6 : アサリ *Ruditapes philippinarum* (Adams et Reeve) ; 7 : オオノガイ *Mya arenaria* Makiyama.

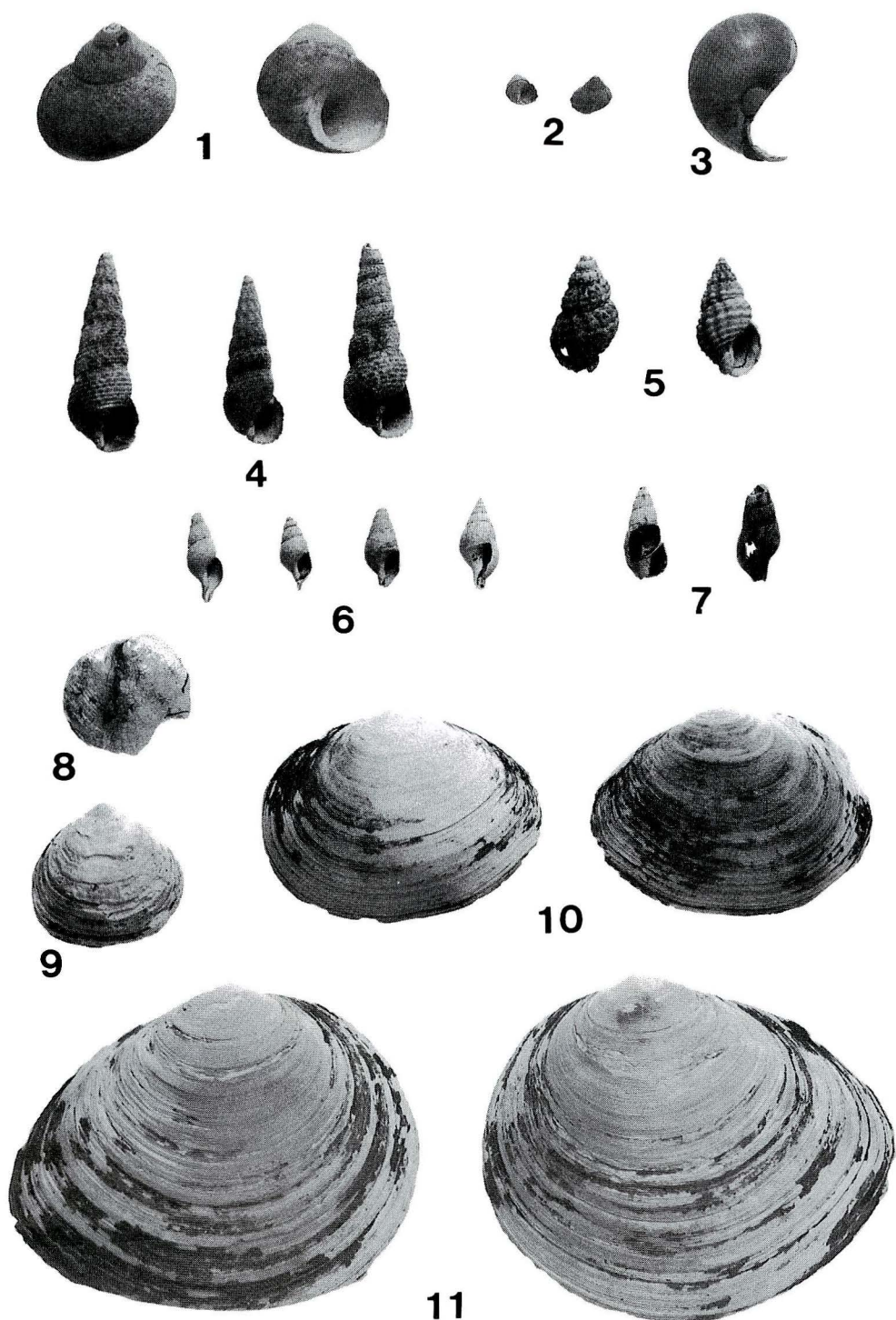


図5. ハッタリ川低地の海成沖積層から産出した貝類化石 II. (すべて現寸大)

1 : エゾタマキビ *Littorina squalida* (Broderip et Sowerby) ; 2 : タマキビ *Littorina brevicula* (Philippi) ; 3 : エゾタマガイ *Tectonatica janthostomoides* Kuroda et Habe ; 4 : ホソイボウミニナ *Batillaria cumingii* (Crosse) ; 5 : アラムシロガイ *Hinia festiva* (Powys) ; 6 : ムギガイ *Mitrella bisincta* (Gould) ; 7 : マルテンスマツムシ *Indomitrella martensi* (Lischke) ; 8 : ナミマガシワ *Anomia chinensis* Philippi ; 9 : ヤマトシジミ *Corbicula japonica* Prime ; 10 : ヒメシラトリガイ *Macoma incongrua* (v. Martens) ; 11 : サビシラトリガイ *Macoma contabulata* (Deshayes) .

常呂土佐で約5800年前にハマグリ, サビシラトリ, ウネナシトマヤガイがかなり多く分布していたこと。その後はウネナシトマヤガイだけが約3200年前から約2500年前にも生息していたことが分かってきた(海津, 1983; 前田ほか, 1994)。網走では網走川沿岸低地や河底より資料が得られており、約5300年前を示す大規模なカキ礁に伴って多量のウネナシトマヤガイが産出する。さらに、マガキの殻に固着する石サンゴ類のシオガマサンゴも見つかっている(松島, 1988)。なお、網走川河口にある約1000年前のオホーツク文化期のモヨロ貝塚では、ウネナシトマヤガイだけが寒流系種の貝に混じって出土する。

このような資料からみて、根室半島沿岸における約5500年前は、ウネナシトマヤガイをはじめサビシラトリガイ、アラムシロガイ、ムギガイ、マルテンスマツムシなどの種が暖流にのって北上し、本地域まで分布域を拡げ生息できる程の温暖な海洋環境の存在したことがはっきりした。その暖化の程度は、松島・大嶋(1974)や松島(1984)が指摘しているように、温暖種の生態的・生物地理的な特徴により、現在の陸奥湾周辺から下北半島程度の海況となっていたと推定できる。しかし、釧路湿原や常呂平野で確認されているようなハマグリ、シオフキ、アカガイ、ウチムラサキなどの多くの温暖種が群集として生息できるほど温暖な海況環境にまで達していなかった。

5. 根室半島における温暖種の消滅

温暖種の消滅は、生息環境の悪化に起因することが多い。特に海水温の低下は、温暖種の消滅にとって重大な要因となる。一般に、縄文海進最盛期以降の海水温の低下と海面の低下が指摘されている(鎮西ほか, 1980; 鎮西ほか, 1984; 松島, 1984; 太田ほか, 1990 ほか)。根室半島沿岸における温暖種の消滅は、約5200年前にはじまっていたと考えられる。この点は根室市街地東方の豊里ノッカマップ川低地の貝化石群が示している(前田ほか, 1986)。ノッカマップ川低地の海成沖積層産出貝化石は、表1に示すようにハッタリ川低地で産出したウネナシトマヤガイをはじめとする温暖種がまったく見られず、すべて現在の本地域で分布する貝類で占められる。このような環境変化の起こった時期は、ノッカマップ川より得た貝化石の¹⁴C年代測定値(5190±200年前)が示すように約5200年前となる。この年代は日本列島における縄文海進最盛期以降の温暖種消滅時期の最も早いものであり(松島, 1984), 高緯度ほど海水温の低下が早くはじまったことを示唆するものである。そして、温暖種が一挙に消滅していくことから判断して海水温低下は、かなり急激であったことを物語る。約5200年前以降の沿岸海況を知る資料には、根室半島に残されている貝塚出土の貝類がある。その中でオホーツク文化期のオンネモト遺跡(金子, 1974)やトーサムボロ遺跡(西田ほか, 1992)の貝類は、良く調べられており、内湾に生息するマガキ、オオノガイ、アサリとか、沿岸に生息するホタテガイ、ウバガイ、エゾタマガイ、ヒメエゾボラ、チジミボラ、エゾイシカケガイなど本地域ではごく普通に見られる種から

なっている。現在の沿岸海況の形成は、大胆に推定すると約5200年前まで逆のぼってはじまつたと考えられる。

6.まとめ

(1) 北海道根室市ハッタリ川低地の海成沖積層から産出した貝化石は、マガキ、ウネナシトマヤガイなど二枚貝類が12種、タマキビ、エゾタマキビなど巻貝類が9種の合計21種である。その中でアサリを用いて¹⁴C年代測定を行った結果、5470±110年前の測定値が得られた。この年代値は縄文海進最盛期を示す。なお、本低地で明らかになった海成層の上限高度は-0.57mである。

(2) 明らかになった21種の中には、ウネナシトマヤガイ、サビシラトリガイ、アラムシロガイ、ムギガイ、マルテンスマツムシなど現在の根室湾沿岸には生息しない温暖種が確認された。これらの温暖種の生態的・生物地理的な特徴から推定される約5500年前の海況は、現在の下北半島程度であったといえよう。

(3) 本地域に生息していた温暖種が消滅した時期は、約5200年前となり縄文海進最盛期末より海水温低下のはじまつたことがわかった。

文 献

- 赤松守男, 1969. 北海道における貝塚の生物群集—特に縄文海進に関連して—. 地球科学, 23(3): 107-117.
- 鎮西清高・大場忠道・小池裕子・松島義章・北里 洋, 1980. 貝塚産貝殻の酸素同位体組成の時代的変遷と先史時代の古環境. 自然科学の手法による遺跡・古文化財等の研究, pp. 103-117. 文部省科学研究費特定研究「古文化財」総括班.
- 鎮西清高・岡田尚武・尾田太良・大場忠道・北里 洋・小泉 格・酒井豊三郎・谷村好洋・藤岡換太郎・松島義章, 1984. 本州太平洋岸における最終氷期の海況変遷 渡辺直径編, 古文化財に関する保存科学と人文・自然科学, pp. 441-457. 同朋舎出版, 京都.
- 遠藤邦彦・上杉 陽, 1972. オホーツク海沿岸トコロ海岸平野の地形・地質. 東京大学文学部編, 常呂. pp. 493-504. 東京大学文学部, 東京.
- 金子浩昌, 1974. オンネモト遺跡出土の動物遺存体および未製骨角器. 根室市教育委員会編, オンネモト遺跡, pp. 117-151. 根室市教育委員会, 根室市.
- 児玉作左衛門・大場利男, 1956. 根室国温根沼遺跡の発掘について. 北方文化研究報告, 11: 75-145.
- 前田保夫・松島義章・松本英二・松田 功・居平昌士, 1986. 約5千年前以降における根室半島ノッカマップ付近の自然環境の変遷. 根室市博物館開設準備室紀要, (1): 3-22.
- 前田保夫・松田 功・中田正夫・松島義章・松本英二・佐藤祐司, 1994. 完新世における北海道オホーツク海沿岸の海面変化—海面高度の観測値と理論値について—. 山形大学紀要(自然科学), 13(3): 205-229.
- 松島義章, 1982a. 北海道クッチャロ湖畔の海成沖積層の¹⁴C年代とそれに関連する問題. 神奈川県立物館研究報告(自然科学), (13): 51-66.
- 松島義章, 1982b. 北海道東海岸, パシクリ沼の沖積層から産出した貝殻の¹⁴C年代. 釧路市立郷土博物館紀要, (9): 1-8.
- 松島義章, 1984. 日本列島における後氷期の浅海性貝類群集—特に

- 環境変遷に伴うその時間・空間的変遷－. 神奈川県立博物館研究報告(自然科学), (15): 37-109.
- 松島義章, 1988. 貝類からみた日本海沿岸の変遷 とくに北海道沿岸を例として. 採集と飼育, 50(2): 67-71.
- 松島義章, 1992. 完新世の北海道東部海岸にみられる暖流系種の消長. 日本古生物学会第141回例会講演予稿集, p. 11.
- 松島義章・大嶋和雄, 1974. 縄文海進における内湾の軟体動物群集. 第四紀研究, 13(3): 135-159.
- 松島義章・山代純一, 1992. 北海道釧路湿原における海成沖積層の¹⁴C年代. 神奈川県立博物館研究報告(自然科学), (21): 37-43.
- 根室市・北海道開発試験センター, 1990. 根室総合運動公園軟弱地盤解析調査業務報告書, p. 40.
- 西田 茂・松島義章・川上 淳, 1992. 根室市ヒリカヲタ遺跡・トーサムボロ遺跡採集の試料. 根室市博物館開設準備室紀要, (6): 33-39.
- 大嶋和雄, 1971. 北海道サロマ湖の後氷期の地史. 地質調査所月報, 22(11): 615-627.
- 大嶋和雄・山口昇一・佐藤博之, 1972. 北海道クッチャロ湖畔の沖積統貝殻. 地質学雑誌, 78(3): 129-135.
- 太田陽子・海津正倫・松島義章, 1990. 日本における完新世相対的海面変化とそれに関する問題—1980～1988における研究の展望—. 第四紀研究, 29(1): 31-48.
- 海津正倫, 1983. 常呂川下流低地の地形発達史. 地理科学, 38: 1-10.
- 山代純一, 1987. 北海道釧路町岩保木及び釧路市武佐の沖積層貝化石について(予報). 釧路市博物館紀要, (12): 31-38.
- 山代純一, 1990. 釧路湿原から産出した沖積層貝化石. 釧路市博物館館報, (322): 9-11.

On the Genus *Chlorogomphus* (Anisoptera : Chlorogomphidae) of Indochina
with Descriptions of Six New Species and Little Known Species

Haruki KARUBE

Kanagawa Prefectural Museum, Naka-ku, Yokohama, Kanagawa 231, Japan

インドシナのミナミヤンマ属の覚え書き
— 6新種および希少種の記載 —

苅部治紀

神奈川県立博物館

インドシナにおけるミナミヤンマ属は、これまでごくわずかな記録があるだけであったが、近年、筆者らの調査によって、各地からかなりの標本が収集されている。

今回は、この中から *Ch. yokoi* sp. nov. (タイ), *Ch. albomarginatus* sp. nov. (ベトナム), *Ch. nakamurai* sp. nov. (ベトナム), *Ch. sachiyiae* sp. nov. (ベトナム), *Ch. miyashitai* sp. nov. (ラオス), *Ch. takakuwai* sp. nov. (ベトナム) の6新種を記載し、さらに原記載以来80年ぶりの記録であり、初めてオスが知られる *Ch. auratus* Martin (ベトナム) を再記載した。また、*Ch. nasutus* Needham は、ベトナム国内から初めて記録されるものである。

Abstract. Six new species of the genus *Chlorogomphus* are described: *Ch. yokoi* sp. nov. from N. Thailand, allied to *Ch. arooni*, *Ch. albomarginatus* sp. nov. and *Ch. nakamurai* sp. nov. from N. Vietnam, all of which are similar to each other at first sight but consist an independent species group respectively; *Ch. sachiyiae* sp. nov. from N. Vietnam, belonging to the same group of *Ch. kitawakii* from S. China, and *Ch. miyashitai* sp. nov. from NE Laos; *Ch. takakuwai* sp. nov. from N. Vietnam, allied to *Ch. selysi* from India. In addition, *Ch. auratus* is redescribed after interval of about eighty years since the original description, and the male is first recorded.

Key Words: *Chlorogomphus*, Indochina, new species

Acknowledgements

I wish to express my hearty thanks to Dr. Yasuaki Watanabe, Laboratory of Entomology, Tokyo University of Agriculture and Dr. D. A. L. Davies of Cambridge for their constant guidance, to Mr. Masatoshi Takakuwa of the Kanagawa Prefectural Museum of Natural History for his kindness in reading the original manuscript, and Mr. Itsuro Kawashima for his kind help in drawing whole body figures used in this paper. Thanks are also due to Messrs. Stephen Brooks of the Natural History Museum, Kazuma Kitagawa, Shinji Nagai, Tetsuo Miyashita, Shin-Ichi Nakamura, and Masato Yokoi and Miss Sachio Nirasawa, for their kindness in supplying with interesting materials and in helping me in various ways.

* All the holotypes designated in this paper are preserved in the Kanagawa Prefectural Museum of Natural History.

Key to the male of Indochina species of the genus *Chlorogomphus*

- | | |
|--|---------------------------|
| 1. Triangles of hind wing rectangular | 2 |
| —. Triangles of hindwing oblong | 5 |
| 2. Frons strongly protruded anteriad | 3 |
| —. Frons almost flat or slightly protruded anteriad | 4 |
| 3. Superior appendage flat and slender, shaped as pincers.
Inferior appendage shallowly excavated | <i>sachiyiae</i> sp. nov. |
| —. Superior appendage robust with distinct lateral spines. | |

Inferior appendage deeply and triangularly excavated———	
nasutus	
4. Superior appendage longer than the inferior, which is shallowly excavated———	takakuwai sp. nov.
—. Superior appendage shorter than the inferior, which is deeply excavated———	miyashitai sp. nov.
5. Abdominal segments 4-10th without any markings. Superior appendage short and robust. Inferior appendage short, with many spines at apex———	
nakamurae sp. nov.	
—. Abdominal segments 4-7th with yellow markings———	6
6. 10th abdominal segment triangularly protruded———	
apicad———	7
—. 10th abdominal segment moderate. Superior appendage shorter than inferior, with lateral spines.———	
albomarginatus sp. nov.	
7. Superior appendage very short. Inferior appendage stick-shaped, with many spines———	
yokoii sp. nov.	
—. Superior appendage longer than inferior appendage, which is expanded at middle and provided with two big spines at apex———	
auratus	

Key to the female of Indochina species of the genus <i>Chlorogomphus</i>	
1. Triangles of hind wing rectangular or equilateral———	2
—. Triangles of hindwing oblong———	5
2. Eyes widely separated. Abdominal 7th segment without any marking———	3
—. Eyes moderately separated. Abdominal 7th segment with yellow marking———	4
3. Body size middle. Wings slender. Tenth ventral lobe not exceeding paraproct———	sachiyoae sp. nov.
—. Body size large. Wings broad. Tenth ventral lobe clearly exceeding paraproct———	nasutus
4. Body size middle. Labrum with yellow markings. Seventh yellow marking spread along lateral side———	
takakuwai sp. nov.	
—. Body size large. Labrum without yellow markings. Seventh yellow marking like as ring———	
miyashitai sp. nov.	
5. Wings very broad, covered with black markings at about basal half———	6
—. Wings broad, tinged with golden yellow———	auratus
6. Eyes very widely separated. Vertex with a pair of protuberance———	nakamurae sp. nov.
—. Eyes widely separated. Vertex without protuberances———	albomarginatus sp. nov.

Chlorogomphus auratus Martin, 1910

(Figs. 1-11)

Chlorogomphus auratus Martin, 1910, Bull. Soc. ent. Fr., 66; Fraser, 1929, Mem. Indian Mus. 9 (3) : 147-148.*Male.* Abdomen (incl. appendage). 54.9-58.1mm in length. Hindwing 47.9-53.5mm in length, with maximum width 16.3-17.8mm.

Head largely black; labium whitish yellow; labrum black; anteclypeus black, with upper and lower edges brownish; postclypeus yellow except for black lower edge; ridge of antefrons broadly yellow; eyes almost adjacent, the distance 0.5mm; vertex eaves-shaped; occiput black, subconical.

Prothorax black, with anterior margin yellow. Pterothorax black with yellow markings; antehumeral stripe narrow, gently and gradually broadened dorsad; humeral stripe as wide as dorsal apex of the former; anterior 3/4 of metepisternum yellow; lower edge of metepimeron and metapoststernum yellow.

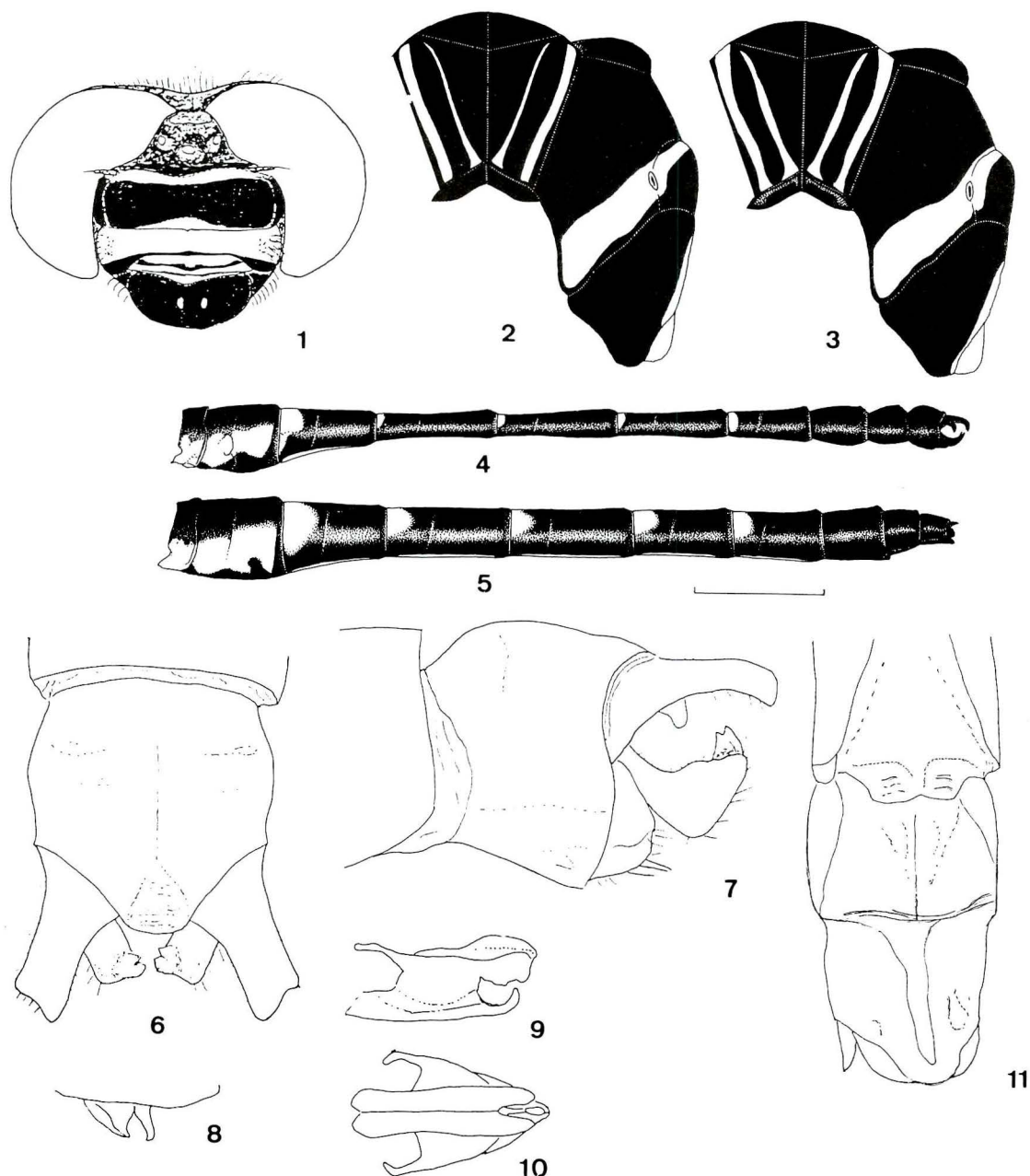
Wings nearly hyaline, with brownish marks at each apex; median space with 2 cross veins; triangles 3:3/3:3, 4:4/4:4, 4:3/3:3, 4:4/4:4, that of fore: basal: costal: distal = 1:1.3:1.3, that of hind: basal: costal: distal = 1:0.8:1.2; anal loop 18-21-celled; nodal index: 15-28:29-16/18-23:23-18, 16-25:26-17/20-23:23-21, 17-28:29-17/20-21:23-22, 19-29:31-20/22-24:25-23; pterostigma black, 4mm in length and covered 4-celles in the fore, 4.2mm in length 3.5-cells in the hind.

Abdomen black, symmetrically with yellow markings as follows: spot at ventral half of 1st, broad, slightly oblique band running from antero-ventral part to middle part of posterior margin, which is connected with the former spot at anterior margin, stripe along ventral edge of 3rd, each antero-dorsal spot of 3rd to 7th, which is a little separated from one of the opposite site, the 3rd one being the largest and prolonged near ventral edge along anterior margin and 7th one being somewhat larger than the preceding 3; 8-10th entirely black; 10th broadly triangularly lobed at apex, the lobe being shallowly concave at median part and roundedly inclined downwards in apical part.

Caudal appendage black. Superior appendage widely and deeply furcate, the furcation becoming thinner from base to basal 1/3 and a little curved ventrad; lateral projection situated near apex. Inferior appendage robust, bilobed, rapidly thickened towards the middle in lateral view, the lobes strongly prolonged inwards and each with two spines at inner part of apex.

Accessory genitalia with anterior lamina rapidly becoming thinner towards apex; hamulus posterioris thick, with apex a little pointed anteriad.

Penis with vesicle shallowly, widely, longitudinally grooved at middle; 2nd strongly curved ventrad, with spine which is about 1/2 length of 3rd; 4th triangular, with a pair of



Figs. 1-11. *Chlorogomphus auratus* Martin.

2, 4, 6-10: male; 1, 3, 5, 11: female; 1: head in frontal view, 2, 3: thorax; 4, 5: abdomen; 6: caudal appendage in dorsal view; 7: same in lateral view; 8: accessory genitalia in lateral view; 9: last segment of penis in lateral view; 10: same in ventral view; 11: apical segments of abdomen in ventral view.

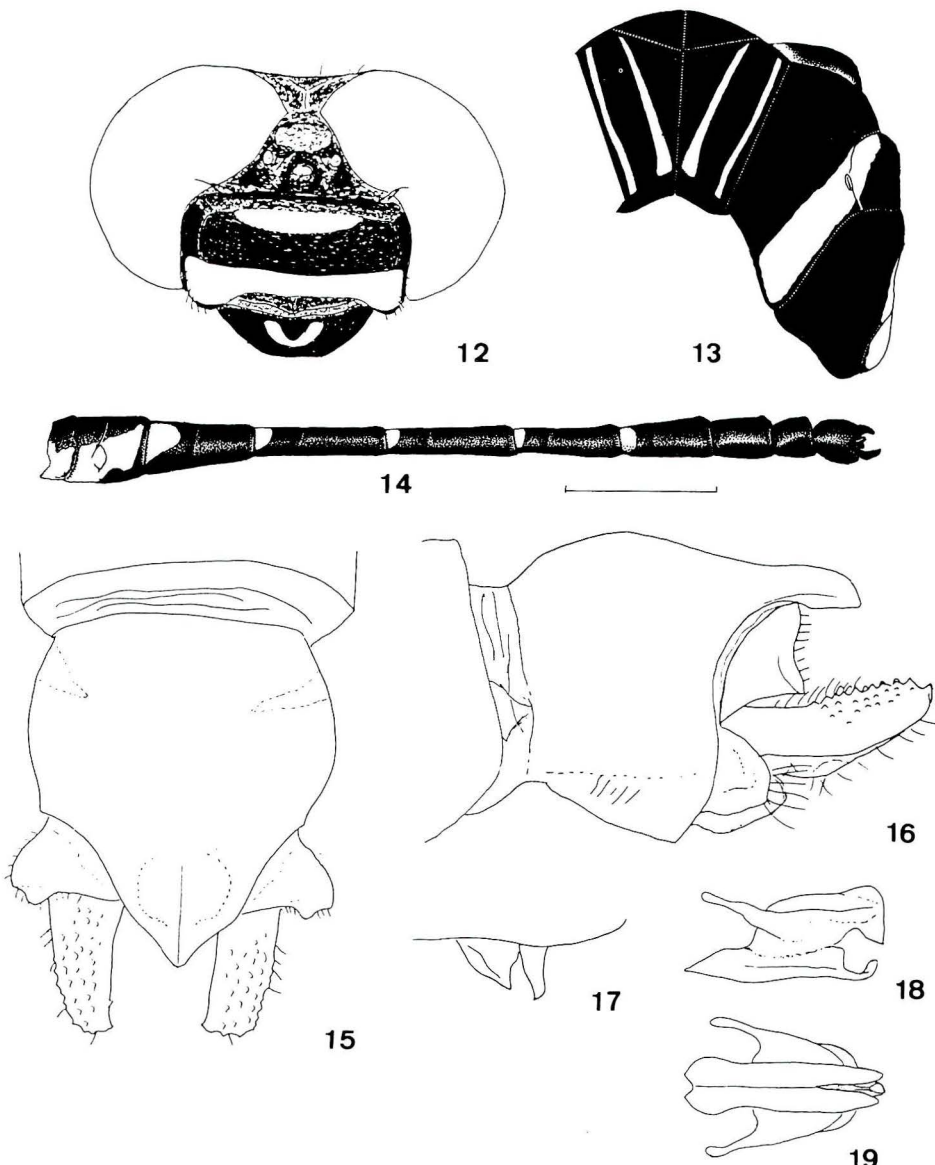
projections which are about 1/3 length of 4th, with each apex of ventral plate robust which is strongly reflexed upwards, and with dorsal part apparently exceeding the apex of ventral plate, longitudinally grooved in anterior half, with a pair of distinct raisings along the groove, and somewhat obliquely truncate with slight excavity at apex in lateral view.

Female. Abdomen (incl. appendage) 59.5-65.2mm in length. Hindwing 54.7-60.3mm in length, with maximum width 19.7-22.5mm.

Maculate pattern similar to that of male, though more developed.

Head broader than in male; eyes more widely separated; vertex projected as eaves-shape, flat in dorsal part.

Wings golden yellow, often with brownish markings; each apex of wings with semicircular spot which almost covers distal area from pterostigma (some specimens without this marking or with broad transverse bands near node); median space with 2 cross veins; triangles 4:3/6:5, 4:4/5:5, 6:5/6:6, 4:4/4:



Figs. 12-19. *Chlorogomphus yokoi* sp. nov.

12: head ; 13: thorax ; 14: abdomen ; 15: caudal appendage in dorsal view ; 16: same in lateral view ;
17: accessory genitalia in lateral view ; 18: last segment of penis in lateral view ; 19: same in ventral view.

5,6 : 6/6 : 6, that of fore : basal : costal : distal = 1 : 1.3 : 1.4, that of hind : basal : costal : distal = 1 : 0.7 : 1.1 ; anal loop 20-27 cells (38 celles in one specimen) ; nodal index : 19-33 : 34-21/22-27 : 28-22, 18-31 : 31-17/19-24 : 25-19, 19-27 : 28-18/19-24 : 25-23, 18-30 : 29-19/21-23 : 23-22, 16-27 : 28-17/19-22 : 22-20 ; pterostigma black, 4.4mm in length and covering 4.5-cells in the fore, 4.6mm in length, and 4.5 cells in the hind.

Abdomen with marking pattern same in male ; 2nd with broader oblique band and with a longitudinal median spot at apical 1/3 of dorsum ; 3rd to 7th each with larger triangular spot at base and with stripe along ventral edge.

Cerci a little shorter than 10th. Valvula valvae broadly

trapezoidal, with apex slightly emarginate at middle. Ventral lobe of 10th faintly exceeding paraproct.

Distribution. N. Vietnam.

Materials examined. Mt. Tamdao, near Hanoi, N. Vietnam : 2 ♂♂ 2 ♀♀, 10. VII- VIII. 1990, Sinji Nagai leg ; 1 ♀, 30. V. 1993, H. Karube leg ; 1 ♂ 1 ♀, 31. V. 1993, H. Karube leg ; 1 ♂ 1 ♀, 19. V- 2. VI. 1993, native leg ; 3 ♂♂ 2 ♀♀, 3. V. 1994, H. Karube and S. Nirasawa leg.

Notes. Fraser, 1929 regarded this species as a member of group of *magnificus*, but Asahina, 1981 treated as a species allied to *aronni*. It became clear that this species surely belongs to the group of *aronni* by the present study including male

specimens, the characters of which are first described in this paper.

Chlorogomphus yokoi sp. nov.

(Figs. 12-19)

Male. Abdomen (incl. appendage) 55.8mm in length. Hindwing 47.1mm, with maximum width 15.5mm.

Head black with yellow markings ; labium brownish yellow ; labrum black with yellow V-shaped mark at the middle ; anteclypeus black ; postclypeus yellow, with lower edge black ; antefrons black, with yellow band at upper edge ; eyes almost meeting, the distance 0.8mm ; vertex swollen as eaves-shape, with dorsal part almost flat ; occiput black and pyramidal.

Prothorax black, with margins yellow. Pterothorax black with yellow marks ; antehumeral stripe gradually becoming broader towards upper apex ; humeral stripe thin, about half narrower than the upper apex of the former ; mesinfraepisternum black ; metepisternum largely yellow, anterior part of metinfraepisternum yellow, which is connected with the former ; lower edge of metepimeron and metapoststernum yellow.

Wings hyaline, with brownish marks at each apex ; median space with two cross veins ; triangles 3 : 3/3 : 3, that of the fore : basal : costal : distal = 1 : 1.1 : 1.1, that of the hind : basal : costal : distal = 1 : 0.8 : 1.1 ; anal loop 13/13-celled ; nodal index : 13 : 24-21 : 12/15 : 17-16 : 17 ; pterostigma of fore wings 3.8mm in length and covering 3.5 cells in the fore, 4.1mm in length and 3.5 cells in the hind.

Abdomen black with yellow markings ; 1st segment with ventral 1/3 yellow ; 2nd with broad oblique band running from antero-ventral area to postero-dorsal area and connected with the former yellow mark ; 3rd to 7th each with a pair of yellow spots at antero-dorsal border, of which the 3rd ones are triangularly expanded and almost cover basal 1/3, and of which the 7th ones slightly larger than the preceding 2 ; 8-10th entirely black ; 10th rounded at sides, broadly triangularly projected posteriad, the projection dully pointed at the tip in dorsal view and with a longitudinal cicatrix at apical 3/4.

Caudal appendage black. Superior appendage very short, triangularly protruded laterad, with two vague projections at apex. Inferior appendage slender, very faintly curved inwards in dorsal view, spindle-shaped in lateral view, slightly curled inwards, gradually curved upwards and thinned in apical half ; surface densely granulate in more than apical half, the granules rather subconical.

Accessory genitalia with anterior lamina robust but rapidly tapered near apex ; hamulus posterioris straight and thick, thinned in apical half, with a little pointed anteriad at apex.

Penis with vesicle solid, shallowly, widely, longitudinally grooved at middle ; 2nd strongly curved ventrad, with spine which is about 1/3 times as long as 3rd ; 4th triangular, with a

pair of projections which are about 1/2 length of 4th, with ventral plate deeply bilobed, each the lobe being somewhat robust and nearly vertically reflexed near apex, with dorsal part slightly exceeding the apex of ventral plate, longitudinally grooved in anterior 1/4, with a pair of distinct raisings along the groove, and vertically truncate and acutely angulately projected downwards at apex in lateral view.

Female. Unknown.

Distribution. N. Thailand.

Type materials. Holotype, ♂, Nan, N. Thailand, 24. IV. 1992, native leg.

Notes. This new species very closely related to *Chlorogomphus arooni* from Peninsula Thailand, but easily distinguished from that by the male anal appendage.

Chlorogomphus albomarginatus sp. nov.

(Figs. 20-30)

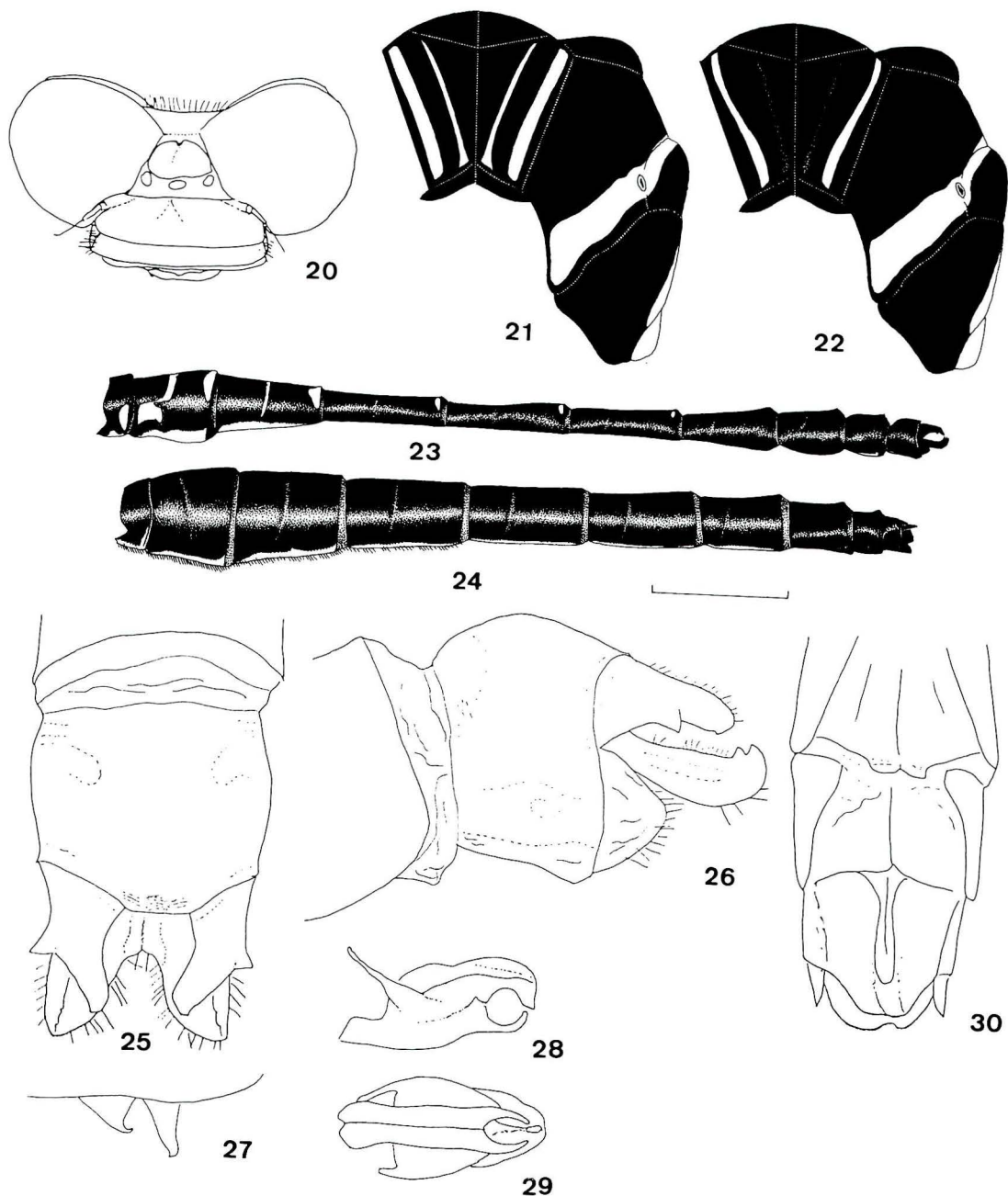
Male. Abdomen (incl. appendage) 66.3-69.7mm in length. Hindwing 48.6-48.9mm in length. maximum width of hind 14.2-14.8mm.

Head black with yellow markings ; labium brownish white, with border brownish ; labrum black ; anteclypeus black ; postclypeus yellow, with a pair of black spots at lateral 1/3, and with longitudinal black stripe which is broken at the middle ; antefrons black, with a yellow band at upper and lateral edges ; the distance between eyes 0.6mm ; vertex swollen, eaves-shaped ; occiput subconical at upper margin.

Prothorax black, with anterior and lower edges yellow. Pterothorax black, symmetrically with yellow marks as follows : antehumeral stripe which is slightly spread at the dorsal end, humeral stripe which is a little broader than the widest part of the former, fascia consist of postero-ventral edge of mesepimeron, anterior area of metinfraepisternum and anterior 2/3 of metepisternum, and fascia consist of lower edge of metepimeron and all part of metapoststernum.

Wings hyaline, apex decorated with semicircular brownish marks from R1 over IR3 ; each median space with 2 : 2/2 : 2, 3 : 3/3 : 3 ; triangles 4 : 4/4 : 4, 4 : 5/5 : 5, that of fore : basal : costal : distal = 1 : 1.46 : 1.53, that of hind : basal : costal : distal = 1 : 0.9 : 1.1. Anal loop 20/20, 25/24 ; nodal index : 18-29 : 29-17/21-20 : 23-20. 19-30 : 27-18/26-24 : 24-24 ; pterostigma black, 4.5mm in length, covering 4 cells in the fore, 5.2mm in length and 4.5 cells in the hind.

Abdomen robust, black with yellow markings ; 1st segment with small ventral spot and postero-ventral, elongate elliptical spot, these two being barely connected with each other at ventral corner ; 2nd segment decorated with 4 maculations : spot on and over auricle, somewhat oblique, short band at medio-dorsal part, dorso-apical elliptical spot and long mark along ventral edge, the 2nd being clearly separated from the



Figs. 20-30. *Chlorogomphus albomarginatus* sp. nov.

21, 23, 25-29: male; 20, 22, 24, 30: female; 20: head in dorsal view; 21, 22: thorax, 23, 24: abdomen; 25: caudal appendage in dorsal view; 26: same in lateral view; 27: accessory genitalia in lateral view; 28: last segment of penis in lateral view; 29: same in ventral view; 30: apical segments of abdomen in ventral view.

mark of opposite site, and the 3rd being barely so; 3rd with 3 maculations, of which the median stripe is extremely thinly connected with the opposite, with apical spot and long mark along ventral edge; 4th to 6th each with apical small spot; 7 to 10th black.

Caudal appendage black. Superior appendage robust, shorter than the inferior, pincers-shaped with stout lateral spine at about basal half; apex bent outside in dorsal view. Inferior appendage slightly broadened towards behind middle in lateral

view, parallel-sided, bilobed with inner margins rounded; each apex with two spines on dorsal part, the apical one of which is rather larger than the anterior.

Accessory genitalia with anterior lamina rapidly thinner towards apex, which is thin and strongly hooked dorsad; hamulus posterioris slender, with apex a little pointed anteriad.

Penis with vesicle squarely, moderately grooved medially, and squarely projected ventrad; 2nd curved ventrad, with spine about half shorter than the 3rd; 4th bell-shaped, with a pair

of long straight projections about half shorter than 4th, with apices of ventral plate shaped as pincers and reflexed upwards ; dorsal part slightly longer than ventral plate, nearly truncate at apex and protruded as bill ventrad in lateral view, and longitudinally grooved medially in anterior half, with a pair of raisings along the groove not so developed.

Female. Abdomen (incl. appendage) 58.6mm in length. Hindwing 55.1mm in length with maximum width 23.4mm.

Maculations of head and thorax similar to male, but wings and abdomen very different.

Head coloration as in male ; vertex gently protruded, with a pair of callosities on the raising ; occiput flat ; eyes more widely separated (1.1mm).

Pterothorax with color pattern as in male ; antehumeral stripe almost disappeared ; humeral stripe slightly slenderer than in male.

Wings short and broad. Fore wing decorated with blackish marking in basal about 2/3, the apical margin being oblique, exceeding 1/3 of the distance between pterostigma and node and reaching pterostigma through costal space, with vague milky white mark at middle along apical margin of the former blackish marking. Hind wing with blackish marking in basal about 1/2, the apical margin oblique and hardly reaching pterostigma through costal space, with basal hyaline mark as a comma-shaped bead, and with a vague milky white band along apical margin of the former blackish marking ; triangles 5 : 7 : 5 : 4, that of fore : basal : costal : distal = 1 : 1.2 : 1.1, that of hind : basal : costal : distal = 1 : 0.7 : 1.1 ; anal loop 31/34-celled. Nodal index : lost-30 : 30-17/20-22 : 22-20 ; pterostigma black, 5.1mm in length, and covering 4.5 cells in the fore, 5.6mm in length, and 6 cells in the hind.

Abdomen robust, especially in basal 3 segments, without markings excepting yellow sternite.

Cerci minute, about 2/3 times as long as 10th segment. Valvula valvae trapezoidal. Tenth ventral lobe slightly exceeding paraproct.

Distribution. N.Vietnam.

Type series. Holotype, ♂, Mt. Tamdao, near Hanoi, N. Vietnam, 31. V. 1993, H. Karube leg. Allotype, 1 ♀, same locality as the holotype, 19. V- 2. VI. 1991, Native leg. Paratype : 1 ♂, same locality as the holotype, 3. V. 1994. H. Karube leg.

Notes. Female of this new species strangely resembles to *Ch. nakamurae* at first sight, but is obviously distinguished from that by the characters of head, appendage, etc.

Chlorogomphus nakamurae sp. nov.

(Figs. 31-41)

Male. Abdomen (incl. appendage) 56.5-58.8mm in length. Hindwing 50.3-51.4mm in length, with maximum width 17.3-

17.9mm.

Head black ; labium brownish white with margin brown ; labrum black ; anteclypeus black ; postclypeus black, with a pair of yellow Y-shaped spots on the middle ; antefrons black, with broad yellow band at anterior 1/3 of dorsal part, which is not reaching lateral edge ; the distance between eyes 0.9mm ; vertex swollen, with U-shape notch at dorsal part ; occiput black, with apical ridge swollen.

Prothorax black with anterior margin narrowly yellow. Pterothorax black with yellow marks : antehumeral stripe thin, slightly broadened towards lower apex ; humeral stripe thin, rather broader than the former, not reaching mesinfraepisternum ; anterior 3/4 of metepisternum and anterior border of metinfraepisternum yellow, the marking being tapered ventrad ; ventral margin of metepimeron and metapoststernum yellow.

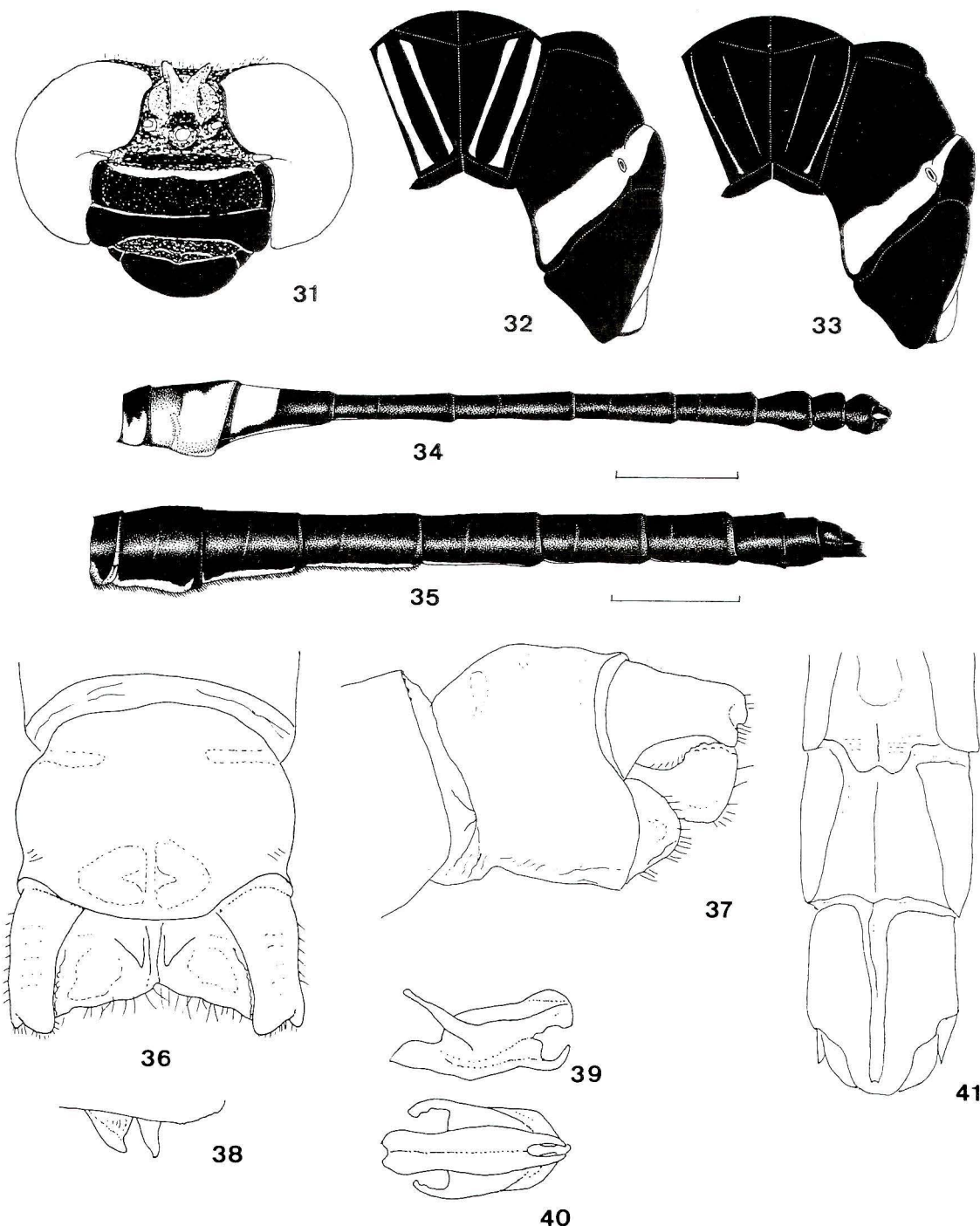
Wings hyaline, with apex blackish marks ; median space with 3 or 2 cross veins of the fore and 2 cross veins of the hind ; triangles 4 : 4/3 : 4, 3 : 2/4 : 4, 3 : 3 : 3 : 4, 3 : 3/2 : 3, 3 : 3 : 3 : 3, that of the fore : basal : costal : distal = 1 : 1 : 3.1, that of the hind : basal : costal : distal = 1 : 0.8 : 1.2 ; anal loop 16~19-celled ; nodal index : 18-30 : 27-18/23 : 22 : 24 : 23, 17-27 : 25 : 16/19-21 : 22-20, 20-30 : 29-19/25-23 : 21 : 22, 18-32 : 34-19/21-23 : 26-21, 19-29 : 29-17/22-22 : 23-22 ; pterostigma black, 4.7mm in length, and covering 3.5 cells in the fore, 50.5mm in length and 4.5-cells in the hind.

Abdomen slightly thickened at apical 3 segments, black with yellow markings : 1st segment with large ventral spot ; 2nd segment largely yellow, with black dorsal spot ; 3rd yellow at basal 1/2, with ventral margin yellow (these three yellow maculations forming very broad yellow band) 4th to 10th entirely black.

Caudal appendage black. Superior appendage robust and short, faintly curved inwards, with obliquely truncated at apex, with ventral spine near apex. Inferior appendage very short and robust, with a pair of acute projections on the middle, broadly truncate as dull V-shape at apex in dorsal view ; apical 1/2 rapidly thickened and reflexed upwards, with many minute conical granules on surface.

Accessory genitalia with anterior lamina rapidly thinner towards apex, deeply depressed except arounding, with apex not so pointed ; hamulus posterioris slender and rather straight, with apex hardly pointed.

Penis with vesicle deeply, narrowly, longitudinally and roundedly grooved at the middle, triangularly protruded ventrad in lateral view ; 2nd curved ventrad, with spine about 1/3 length of 3rd ; 4th longitudinally pentagonal, with a pair of long, twisted projections which are about 2/3 length of 4th, with ventral plate pincer-shaped, somewhat abruptly reflexed upwards at each apex, with dorsal part very faintly exceeding



Figs. 31-41. *Chlorogomphus nakamurae* sp. nov.

32, 34, 36-40: male; 31, 33, 35, 41: female; 31: head in frontal view; 32, 33: thorax; 34, 35: abdomen; 36: caudal appendage in dorsal view; 37: same in lateral view; 38: accessory genitalia in lateral view; 39: last segment of penis in lateral view; 40: same in ventral view; 41: apical segments of abdomen in ventral view.

apex of ventral plate, longitudinally grooved medially in anterior 1/4, and roundedly truncate at apex in lateral view.

Female. Abdomen (incl. appendage) 61.9mm in length. Hindwing 59.9mm in length, with maximum width 24.4mm.

Head broad, largely black; labium brownish white; labrum black; anteclypeus black; postclypeus very broad, entirely

black; ridge of antefrons a little light-coloured; vertex with a pair of interesting protuberances posteriad, which is very big and long and reaches border of occiput; occiput connected with vertex, wide and narrow; eyes very widely separated, distance between eyes 2.6mm, the most nearest point situated at border of occiput.

Prothorax black, yellow at posterior and lateral edges. Pterothorax robust, black with yellow marks : antehumeral stripe very narrow, absent on upper and lower part, humeral stripe narrow, disappeared on ventral part, anterior half of metepisternum yellow, and post-ventral edge of metepimeron and metapoststernum yellow.

Wings broad ; each basal half covered with blackish mark except basal corner, this mark being marginate by milky white band, and extending a little over node ; apex with small blackish spot ; median space : 3 : 2/2 : 3, 2 : 2/3 : 2 ; triangles 5 : 5/5 : 5, 6 : 6/5 : 6, 5 : 6/5 : 5, that of fore : basal : costal : distal = 1 : 1.3 : 1.4, that of hind : basal : costal : distal = 1 : 0.7 : 1.1 ; anal loop 32/31-celled, 37/39, 35/31 ; nodal index : 20-29 : 31-18 : /23-22 : 22-22, 20-29 : 32-20/21-24 : 23-22, 20-31 : 32-20/22-25 : 24-23 ; pterostigma black, 3.7mm in length and covering 3.5-cells in the fore, 4.1mm in length and 3-cells in the hind.

Abdomen robust, nearly blackish ; each ventral edge of 1st to 7th segments, yellow line, which is gradually becoming thinner towards apex.

Cerci minute, about 1/2 shorter than 10th segment. Valvula valvae trapezoidal. Tenth with ventral lobe, slightly exceeding paraproct at apex.

Distribution. N. Vietnam.

Type series. Holotype, ♂, Cuc Phoung, near Hanoi, N. Vietnam, 29. V. 1993, H. Karube leg. Allotype, ♀, same locality as the holotype, 28. V. 1991, S. Nakamura leg. Paratypes : 6 ♂♂, same data as holotype ; 5 ♂♂ 2 ♀♀, same locality as the holotype, 30. IV. 1994, H. Karube leg ; 1 ♂, same locality as the holotype, 1. V. 1994, H. Karube leg.

Notes. This species was found only along a fine stream in lime stone tablelands, which flows the distance of about 100m through the forest and then is inhaled below a cliff. Male has a habit of patrolling on the upper stream in dark forest, and female lays eggs into small muddy pools near the source stream.

Chlorogomphus sachioae sp. nov.

(Figs. 42-52)

Male. Abdomen (incl. appendage) 67.6mm in length. Hindwing 45.1mm in length, with maximum width 14.8mm.

Head black with yellow markings, with frons triangularly protruded ; labium whitish yellow ; labrum black ; anteclypeus black, with lower edge yellow ; postclypeus yellow ; ridge of antefrons with triangular yellow band ; eyes almost meeting, the distance 0.5mm ; vertex eaves-shaped ; occiput small, subconical.

Prothorax black, with anterior margin yellow. Pterothorax black, with yellow marks as follows : antehumeral stripe expanded at the dorsal apex ; humeral stripe about 2.5 times as wide as the former ; mesinfraepisternum with yellow mark which covers posterior half and is connected with humeral

stripe ; outer sides of fore and mid coxae yellow ; metepisternum yellow, except for blackish posterior margin ; metinfraepisternum with large spot at posterior half, which is connected with the former band ; metapoststernum and lower edges of metepimeron yellow.

Wings hyaline ; each median space with two cross veins ; triangles 2 : 4/3 : 2, that of fore : basal : costal : distal = 1 : 1.4 : 1.2, that of hind : basal : costal : distal = 1 : 1.3 : 1.4. Anal loop 11/12 ; nodal index : 12-21 : 25-12/13-19 : 20-15 ; pterostigma black, 3.7mm in length and covering 3.5-cells in the fore, 4.1mm in length and 3-cells in the hind.

Abdomen slender and long, black with yellow markings as follows : large spot at ventral half of 1st segment, two bands in 2nd, one is oblique, runs from antero-ventral margin to mediadorsal area, is connected with the former spot at anterior margin, rapidly becomes thinner at the upper part and does not reach the dorsal top, another band just before 3rd is about 1/6 width of 2nd and rectangularly prolongs behind 1st along ventral edge, very thin ring at middle of 3rd, each dorso-apical spot of 3rd to 6th, of which 5th one almost disappears and 6th one is the largest.

Caudal appendage black, rather slender. Superior appendage curved inwards, with stout oblique ventral spine at basal 3/5 ; apex asymmetrically bilobed in dorsal view, with outer process triangularly protruded ventrad. Inferior appendage slightly longer than the superior, thickened before apex in lateral view, and somewhat curved upwards at apex, with 2 minute spines on dorso apical area ; apex obliquely truncate with emarginate middle part in dorsal view.

Accessory genitalia with anterior lamina tapered towards apex, which is curved posteriad ; hamulus posterioris long, waved and thick, with apex a little pointed anteriorly.

Penis delicate ; vesicle very shallowly excavated medially ; 2nd strongly curved ventrad, with spine which is about 1/2 times as long as 3rd ; 4th triangular, with a pair of projections which are about 1/3 length of 4th, with each lobe of ventral plate straight and slender, weakly reflexed upwards at apex, with dorsal part a little longer than ventral plate, nearly truncate at apex, with median groove running in anterior 1/3.

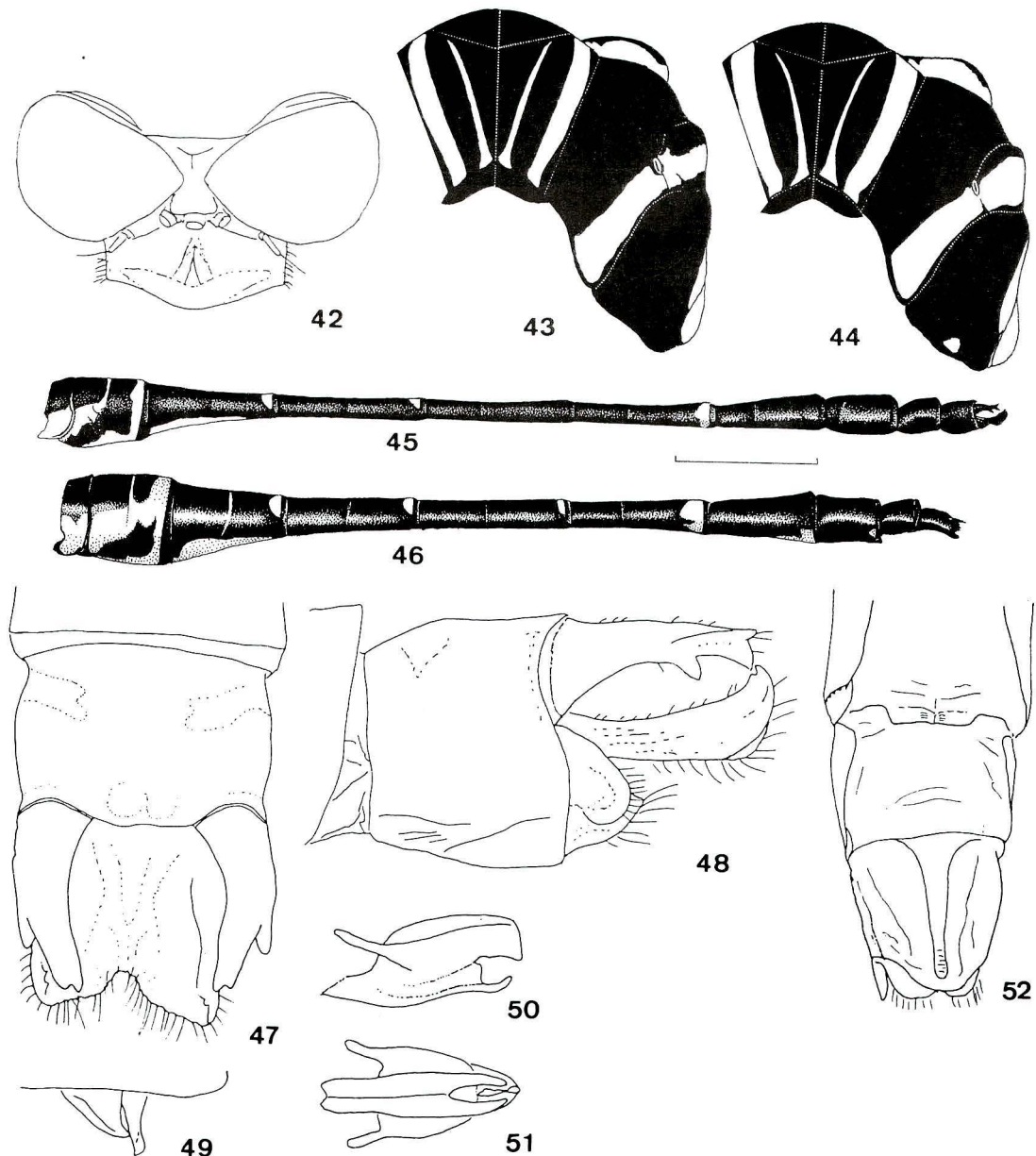
Female. Abdomen (incl. appendage) 61.7mm in length. Hindwing 48.3mm in length, with maximum width 15.8mm.

Maculations almost similar to those of male.

Head with coloration as in male ; frons gently protruded forwards ; occiput flat ; eyes more widely separated (1.1mm) .

Pterothorax with color pattern as in male.

Wings hyaline ; triangles 3 : 4/3 : 3, that of fore : basal : costal : distal = 1 : 1.7 : 1.6, that of hind : basal : costal : distal = 1 : 1.2 : 1.3 ; anal loop 16/17-celled, nodal index : 13-23 : 23-14/18-18 : 17-16 ; pterostigma black, 4.1mm in length and covering 3.5 cells in the fore, 4.5mm in length and 3.5 cells in the hind.



Figs. 42-52. *Chlorogomphus sachiyuae* sp. nov.

42, 43, 45, 47-51: male; 44, 46, 52: female; 42: head in dorsal view; 43, 44: thorax; 45, 46: abdomen; 47: caudal appendage in dorsal view; 48. same in lateral view; 49: accessory genitalia in lateral view; 50: last segment of penis in lateral view; 51: same in ventral view; 52: apical segments of abdomen in ventral view.

Abdominal markings similar to those of male; yellowish maculations of 2nd more developed, of which the oblique band is connected with apical ring; 5th apical spot distinct.

Cerci minute, about 2/3 times as long as 10th segment. Valvula valvae widely trapezoidal. Tenth ventral lobe not exceeding paraproct.

Distribution. N. Vietnam.

Type material. Holotype, ♂, Mt. Tamdao, near Hanoi, N. Vietnam, 2. V. 1994, H. Karube leg. Allotype, ♀, same locality as the holotype, 8. V. 1994, native leg.

Notes. This new species closely resembles to *Ch. sp.* from S. China (will be described by Karube). These two belong to same group.

Chlorogomphus nasutus Needham, 1930

(Figs. 53-62)

Chlorogomphus nasutus Needham, 1930, Zool. sinica, (A) 11 (1): 97; Fraser, 1933, Mem. Indian Mus., 9: 205-260; Klots, 1947, Amer. Mus. Novit., 1341: 3-4; Chen, 1950, Q. Jl. Taiwan Mus., 3: 142; Asahina, 1961, Tombo, 4: 3-

5 ; Asahina, 1966, Ent. Medd., 27 : 225 ; Asahina, 1978, Kontyu, 46 : 15 ; Asahina, 1978, Tombo, 21 : 7-9.

Male. Abdomen (incl. appendage) 63.5-67.2mm in length ; hindwing 48.1-52.2mm in length, with maximum width 14.6-15.8mm.

Head with antefrons distinctly triangularly protruded anteriad and black with yellow marks ; labium brownish yellow ; labrum black ; anteclypeus black with upper part yellow ; postclypeus yellow, black at lower edge, faintly with small black spot at about 1/3 from each side ; antefrons black, with apical 1/4 broadly yellow ; eyes almost meeting, the distance 0.5mm ; vertex roundly swollen, with median notch at dorsal part ; occiput black, subconical.

Prothorax black with anterior margin yellow. Pterothorax black with yellow marks as follows : antehumeral stripe tapered ventrad ; humeral stripe about twice as wide as the former, and a little curved inwards ; posterior half of mesinfraepisternum with yellow patch ; coxae entirely yellow ; anterior 2/3 of metepisternum obliquely with yellow band ; lower edge and dorsal small spot of metepimeron yellow ; metapoststernum entirely yellow.

Wings nearly hyaline ; median space with 2 cross veins ; triangles 3 : 4/3 : 3, 2 : 3/3 : 3, 4 : 4/3 : 3, 3 : 4/3 : 3, 4 : 4/3 : 3, that of fore : basal : costal : distal = 1 : 1.3 : 1.4, that of hind : basal : costal : distal = 1 : 1.2 : 1.5 ; anal loop 9-13-celled, sometimes 16-celled ; nodal index : 17-25 : 26-17/22-19 : 21-18, 18-28 : 26-16/18-21 : 22-17, 18-25 : 26-17/21-23 : 23-19, 15-24 : 23-15/19-23 : 21-20, 14-25 : 24-13/16-20 : 19-18 ; pterostigma black, 4mm in length, and covering 4 cells in the fore, 4.2mm in length and 4 cells in the hind.

Abdomen slender and long, black with yellow markings ; 1st segment with ventral patch ; 2nd segment with large spot at antero-ventral part and with apical ring, the former with two stripes, one is prolonged anteriad along ventral edge, another is rectangularly so ventrad ; 3rd with very narrow indistinct ring at medio-dorsal part ; 3rd to 6th each with yellow line at sternite, decorated with a pair of spots at dorso-apical area though very small or sometimes disappearing in 5th, of which a pair of 6th are the largest and are spread at posterior 1/6 ; 7th-10th black.

Caudal appendage black. Superior appendage slightly shorter than the inferior, rapidly becoming thinner towards apex ; lateral spine stout and robust, situated at basal 1/3. Inferior appendage slender, almost parallel-sided, clearly bilobed, deeply and widely emarginated as V-shape at apex, each lobe with two spines at dorsal apex and narrowly rounded at apex in dorsal view.

Accessory genitalia moderate ; anterior lamina gradually becoming thinner towards apex, deeply depressed except for margins ; hamulus posterioris robust, with apex sharply pointed, and curved anteriad at apex.

Penis moderate in shape ; vesicle hemispherical in ventral apex, the projection being very shallowly and longitudinally scooped on ventral surface ; 2nd strongly curved ventrad, with spine about 1/2 length of 3rd ; 4th bell-shaped, with a pair of long projections which are about 0.75 times as long as 4th, with a pair of lobes of ventral plate robust and straight, with apex slightly reflexed upwards ; apex of dorsal part of 4th slightly swollen anteriorly, exceeding ventral plate ; median notch of 4th running in anterior 1/2, with a pair of risings along the notch.

Female. Abdomen (incl. appendage) 69.5-76.7mm in length ; hindwing 54.3-57.5mm in length, with maximum width 18.4-18.8mm.

Maculations similar to those of male, though more spread.

Head broader than in male ; frons faintly protruded ; eyes widely separated (about 1.1mm) ; vertex more expanded, with three small projections on dorsum ; occiput subconical.

Yellow markings of pterothorax larger than in male ; antehumeral stripe narrow, disappeared at lower part ; humeral stripe 3 times as wide as the former.

Wings hyaline ; median space with 2 cross veins ; triangles 4 : 3/4 : 4, 3 : 3/4 : 4, 4 : 4/5 : 5, that of fore : basal : costal : distal = 1 : 1.3 : 1.3, that of hind : basal : costal : distal = 1 : 1.1 : 1.2 ; anal loop 14-20-celled ; nodal index : 16-26 : 27-17/17-22 : 22-20, 17-25 : 24-18/21-21 : 19-20, 14-27 : 28-15/18-22 : 23-20 ; pterostigma black, 4.6mm in length and covering 4 cells in the fore, 4.8mm in length and 4 cells in the hind.

Abdomen expanded in basal three and 7th to 9th segments, cylindrical in 4th to 6th, black with yellow markings as follows : 1st with large spot at ventral part, 2nd with evidently large mark at ventral more than half and a thin stripe at dorsal half as in fig. ; a pair of yellow spots of 3rd to 6th sometimes disappeared in 3rd and 4th, 6th of which are enlarged in apical 1/4.

Cerci about half shorter than 10th segment ; valvula valvae broadly trapezoidal, with middle part of apex sharply pointed. Tenth ventral lobe parabolically protruded at apex, clearly exceeding paraproct at apex.

Distributions. S. China, N. Vietnam.

Materials examined. Mt. Tamdao, near Hanoi, N. Vietnam : 1 ♂ 1 ♀, 20. V. 1991, M. Takakuwa leg ; 2 ♂♂, 30. V. 1993, H. Karube leg. 29 ♂♂ 2 ♀♀, 19. V.-2. VI. 1993, Native leg.

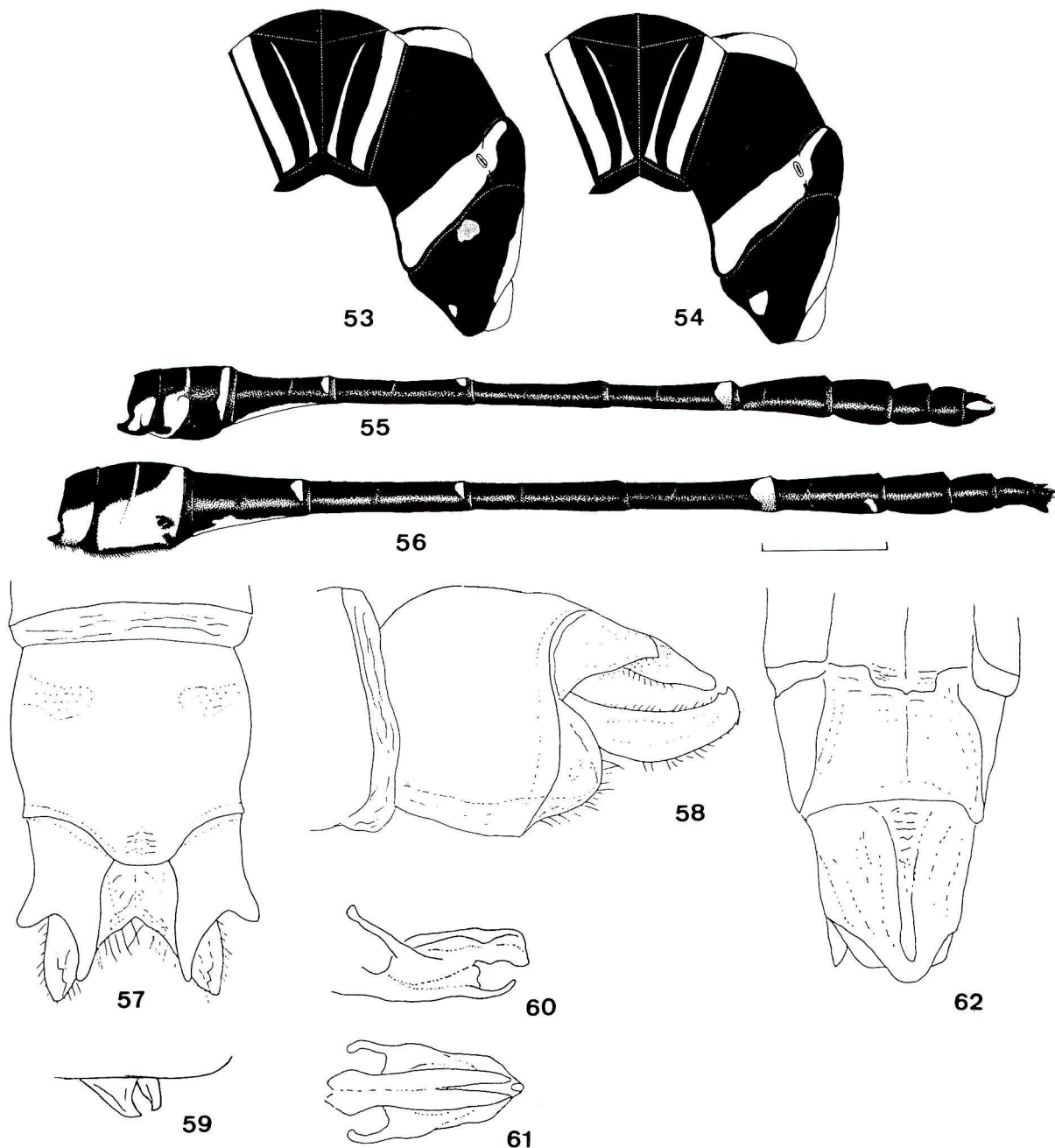
Notes. This is the first record from Vietnam. Vietnamese specimens somewhat differ from those of CS. China in the structure of caudal appendage.

Chlorogomphus miyashitai sp. nov.

(Figs. 63-73)

Male. Abdomen (incl. appendage) 58.1mm in length. Hindwing 42.7mm in length, with maximum width 12.1mm.

Head slightly, triangularly projected anteriorly, black with yellowish markings ; labium pale yellow ; labrum black ;



Figs. 53-62. *Chlorogomphus nasutus* Needham.

53, 55, 57-61: male; 54, 56, 62: female; 53, 54: thorax; 55, 56: abdomen; 57: caudal appendage in dorsal view; 58: same in lateral view; 59: accessory genitalia in lateral view; 60: last segment of penis in lateral view; 61: same in ventral view; 62: apical segments of abdomen in ventral view.

anteclypeus yellow; postclypeus yellow, with a pair of white markings at about 1/3 from each side; antefrons black, with yellow band at upper edge; distance between eyes 0.5mm; vertex swollen, eaves-shaped, with dorsal part almost flat; occiput subconical, yellow with black border.

Prothorax black, with anterior and lateral edges yellow. Pterothorax black with yellow marks as follows: antehumeral stripe expanded at upper end; humeral stripe about 2.5 times as wide as median part of the former, and faintly broadened

and curved inwards under the middle; mesinfraepisternum yellow; mesepimeron with narrow stripe at anterior part, which is broadened ventrad and broken at middle and upper part; metepisternum with broad band at posterior 3/4; metinfraepisternum with spot at anterior half; metepimeron with two narrow stripes, one is situated at anterior 1/3 and somewhat broadened towards dorsal apex, and another is so at lower edge; metapoststernum largely yellow.

Wings hyaline; each median space with 2 cross veins;

triangles 2 : 2/2 : 2, that of the fore : basal : costal : distal = 1 : 1.4 : 1.4, that of the hind : basal : costal : distal = 1 : 1.3 : 1.5 ; anal loop 9-celled ; nodal index : 13-24 : 23-13/16-18 : 21-17 ; pterostigma black, 2.9mm in length and covering 3 cells in the fore, 2.9mm in length and 2.5 cells in the hind.

Abdomen slender, black, symmetrically with yellow markings as follows : large spot at ventral half of 1st, antero-ventral large marking and annulate fascia just before apical margin of 2nd (two border at lower part), the former being prolonged dorsad and connected with the maculation of opposite side, antero-ventral spot of 3rd, each apical spot of 3rd to 7th, of which the 7th one is the largest and about 1/6 width of 7th segment, and each ventral patch of 6th to 9th, of which the 6th and 9th ones are very small ; 8th to 10th black.

Caudal appendage black. Superior appendage slightly longer than the inferior, slender parallel-sided but slightly curved inwards at inner margin, thinned at about apical half ; ventral spine short and robust, situated at basal 1/2 ; each apex faintly emarginate in dorsal view. Inferior appendage parallel-sided, bilobed, swollen ventrally behind the middle, with two spines at dorso-apical area in lateral view, semicircularly excavated apically on dorsum ; apex somewhat bilobed with sinuate middle, with each lobe triangularly pointed at the tip.

Accessory genitalia with anterior lamina rapidly thinned towards apex and acutely reflexed upwards ; hamulus posterioris slender, waved, with apex pointed anteriad.

Penis with vesicle notched ventrally at median part, squarely projected ventrad in lateral view ; 2nd curved ventrad, with spine which is about 2/3 length of 3rd segment ; 4th slenderly triangular, with a pair of long projections which are about 2/3 of 4th, with ventral plate very deeply divaricate at apical half, with rather deeply reflexed upwards, with dorsal part longer than ventral plate, grooved medially in anterior 2/3 and somewhat obliquely truncate and broadly protruded ventrad at apex in lateral view.

Female. Abdomen (incl. appendage) 62.5mm in length ; hindwing 47.8mm in length, with maximum width 15.6mm.

Maculations similar to those of male.

Head black with yellow markings ; labium whitish yellow ; labrum black, with a pair of yellow markings at middle ; anteclypeus black, with yellow patch at the medio-dorsal part ; postclypeus yellow on all over ; lateral and dorsal ridges of antefrons yellow ; vertex eaves-shaped with median notch ; occiput piramidal and yellowish ; distance between eyes 0.8mm.

Prothorax black, posterior and lateral edges marginated with yellow. Pterothorax black with yellow ; antehumeral stripe narrow and disappeared at lower part ; humeral stripe waved near the middle.

Wings hyaline, tinged with brown ; median space with cross veins : 2 : 2/3 : 2 ; triangles 3 : 3/4 : 4, that of fore : basal : costal :

distal = 1 : 1.8 : 1.6, that of hind : basal : costal : distal = 1 : 1.2 : 1.4 ; anal loop 15/16, nodal index : 12-23 : 23-12/13-18 : 19 : 14 ; pterostigma black, 3.3mm in length and covering 3.5 cells in the fore, 3.8mm in length and 3 cells in the hind.

Abdominal maculations somewhat different from those of male : 2nd with broad oblique yellow band from antero-ventral margin just before postero-dorsal margin, with ventral edge black ; 3rd without ventral patch ; 7th maculation prolonged anteriad along lateral margin.

Cerci about 1/2 shorter than 10th segment. Valvula valvae trapezoidal. Tenth ventral lobe exceeding paraproct at apex.

Distribution. NE Laos.

Type series. Holotype, ♂, Xien Kwang, NE. Laos, 4. IV. 1993, T. Miyashita leg. Allotype, ♀, same locality as the holotype, 22. VI. 1993, T. Miyashita leg.

Notes. This new species closely relates to *Ch. selysi*, but easily distinguished by the short superior appendage.

Chlorogomphus takakuwai sp. nov.

(Figs.74-84)

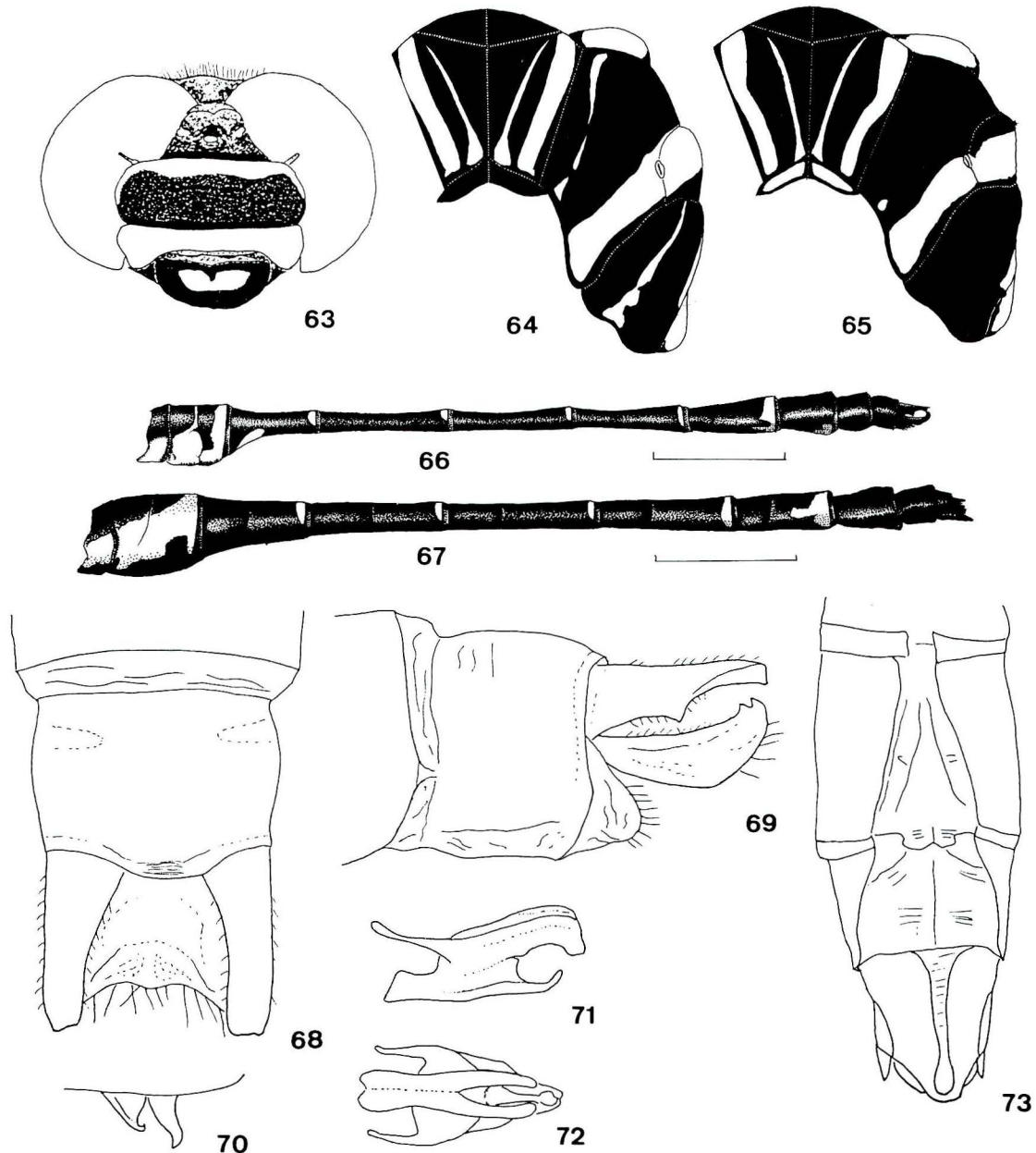
Male. Abdomen (incl. appendage) 66.3-69.7mm in length. Hindwing 48.6-48.9mm in length, with maximum width 14.2-14.8mm.

Head triangularly prolonged anteriorly, black with yellow markings ; labium pale yellow, with anterior border brownish ; labrum black ; anteclypeus yellow, with each side black ; postclypeus yellow, with ventral border black ; antefrons black, with upper edge yellow ; distance between eyes 0.4mm ; vertex swollen, eaves-shaped ; occiput subconical.

Prothorax black, with anterior and lower edges yellow. Pterothorax black with yellow marks ; antehumeral stripe rather broad, expanded at upper apex ; humeral stripe about as wide as upper part of the former, and faintly broadened and curved outwards under the middle ; mesinfraepisternum with short fascia at upper part ; metepisternum yellow except for black fascia along posterior margin, the yellow band being about 4 times as wide as the marginal black one and truncately broken below metastigma ; metinfraepisternum with large spot at middle ; metepimeron with short fascia at upper part ; ventral edge of metepimeron and ventral half of poststernum black.

Wings hyaline with brownish apices ; each median space with 2 cross veins ; triangles 3 : 2/3 : 3, 2 : 3/2 : 2, 2 : 3/2 : 2, 2 : 2/2 : 2, that of the fore : basal : costal : distal = 1 : 1.5 : 1.5 ; that of the hind : basal : costal : distal = 1 : 1.3 : 1.5 ; anal loop 8-11-celled ; nodal index : 15-25 : 24-15/18-20 : 19-19, 14-25 : 25-14/18-20 : 20-18, 15-25 : 24-17/18-19 : 20-20, 16-23 : 24-13/19-22 : 19-18 ; pterostigma black, 3.8mm in length and covering 3.5-cells in the fore, 4.1mm in length and 4.5-cells in the hind.

Abdomen slender, black, symmetrically with yellow markings as follows : spot at ventral half of 1st, antero-ventral



Figs. 63-73. *Chlorogomphus miyashitai* sp. nov.

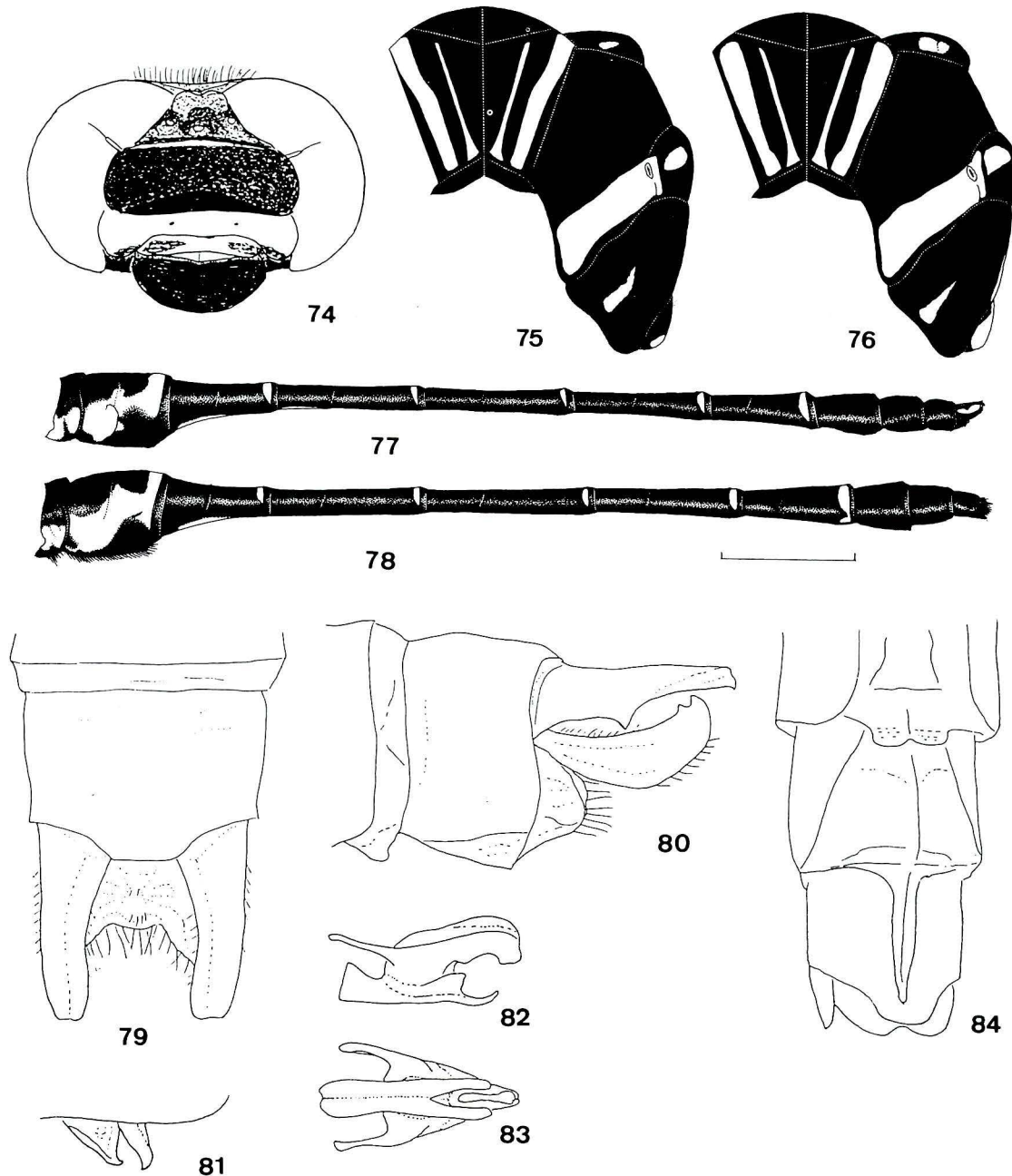
64, 66, 68-72: male; 63, 65, 67, 73: female; 63: head in frontal view; 64, 65: thorax; 66, 67: abdomen; 68: caudal appendage in dorsal view; 69: same in lateral view; 70: accessory genitalia in lateral view; 71: last segment of penis in lateral view; 72: same in ventral view; 73: apical segments of abdomen in ventral view.

and apico-dorsal markings in 2nd, which are connected with each other at middle area, the former being connected with spot of 1st at anterior margin, each ventral fascia of 3rd and 4th, each apical ring of 3rd to 7th, the 7th one of which is the largest; 8th to 10th black.

Caudal appendage black. Superior appendage longer than the inferior, slender and parallel-sided, but slightly curved

inwards at inner margin, with stout ventral spine at basal about 2/5, thinned from there to apex; apex a little emarginate in dorsal view. Inferior appendage thickened below towards the middle in lateral view, bilobed in apical half; apex trapezoidally truncate, slightly protruded at middle; each lobe triangular, with two spines at dorso-apical area.

Accessory genitalia with anterior lamina rapidly tapered

Figs. 74-84. *Chlorogomphus takakuwai* sp. nov.

75, 77, 79-83: male; 74, 76, 78, 84: female; 74: head in frontal view; 75, 76: thorax; 77, 78: abdomen; 79: caudal appendage in dorsal view; 80: same in lateral view; 81: accessory genitalia in lateral view; 82: last segment of penis in lateral view; 83: same in ventral view; 84: apical segments of abdomen in ventral view.

towards apex, which is suddenly reflexed; hamulus posterioris rather robust, with apex a little pointed anteriad.

Penis with vesicle squarely projected ventrad and grooved as a stratovolcano in vertical section; 2nd curved ventrad, with spine which is about 1/2 length of 3rd segment; 4th slenderly triangular, with a pair of long straight projections which are about 1/2 times as long as 4th, with ventral plate very deeply

divaricate in apical about 1/3 and weakly reflexed upward, with dorsal part clearly longer than ventral plate, grooved medially in anterior 2/3 and very faintly obliquely truncate and rather broadly protruded ventrad at apex in lateral view.

Female. Abdomen (incl. appendage) 68.9-69.7mm in length. Hindwing 52.4-55.9mm in length, maximum width 16.7-18.8mm.

- Maculations almost as in male.
- Head color as in male ; vertex protruded with two swellings ; occiput narrow ; eyes more widely separated (1.2mm) .
- Pterothoracic color pattern as in male, but fascia of metinfraepisternum broader.
- Wings hyaline, sometimes decorated with reddish brown marking at each base ; each median space with 2 cross veins ; triangles 4 : 4/4 : 4, 4 : 5/5 : 4, that of fore : basal : costal : distal = 1 : 1.5 : 1.4, that of hind : basal : costal : distal = 1 : 1.1 : 1.3 ; anal loop 15-18-celled ; nodal index : 15-26 : 26-17/20-21 : 23-20, 17-28 : 30-15/20-23 : 22-21. Pterostigma black, 3.8mm in length and covering 3 cells in the fore, 4.1mm in length and 3.5 cells in the hind.
- Abdomen long, with basal 2 and last 3 segments thickened ; coloration as in male, but yellow mark of 7th developed as a ring just before apex.
- Cerci long, as long as 10th segment. Valvula valvae shallowly bilobed. Tenth ventral lobe not exceeding paraproct.
- Distribution.* N. Vietnam.
- Type series.* Holotype, ♂, Mt. Tamdao, near Hanoi, N. Vietnam, 19. V- 2. VI. 1993, native leg. Allotype, 1 ♀, same locality as the holotype, 31. V. 1991, H. Karube leg. Paratypes : same locality as the holotype : 1 ♀, 16.V.1992. M. Takakuwa leg ; 1 ♂, 2.VI.1993, S. Nakamura leg ; 1 ♂ 1 ♀, 19.V-2.VI.1993, native leg.
- Notes.* this new species resembles *Ch. miyashitai*, but is easily distinguished from the latter by the large-sized body and structure of caudal appendage.
- ### References
- Asahina, S., 1956. Dragonflies from West Tien-Mu-Shan, central China. Ent. Medd., 27 : 204-228.
- Asahina, S., 1961. Contributions to the knowledge of the fauna of central China. Tombo, 4: 1-17.
- Asahina, S., 1966. Notes on Chinese Odonata, I. Kontyu, 34: 131-135.
- Asahina, S., 1969. Notes on Chinese Odonata, II. The Odonata of Metasequoia Expedition. Kontyu, 37: 192-201.
- Asahina, S., 1969. South Vietnam Odonata taken by Mr. Y. Inoue. Jap. J. Zool., 16 : 1-18, 27.
- Asahina, S., 1970. Notes on Chinese Odonata, III. Kellog Collection in the California Academy of Sciences. Kontyu, 38 : 198-204.
- Asahina, S., 1978. Notes on Chinese Odonata, VII. Further studies on the Graham collection preserved in the U.S National Museum of Natural History, suborder Anisoptera. Kontyu, 46 : 234-252.
- Asahina, S., 1981. A new *Chlorogomphus* from Thailand (Odonata, Cordulegastridae) . Proc. Jap. Soc. syst. Zool., 20: 35-38.
- Asahina, S., 1986. Revisional notes on Nepalese Assamese dragonfly species of the genus *Chlorogomphus* (Odonata, Cordugastridae) . Cho-Cho, Fukuoka, 9 (1) : 11-26.
- Chen, Chin-Wen, 1950. A review of the genus *Chlorogomphus* Selys of eastern China. Quart. J. Taiw. Mus., 3 : 137-150.
- Fraser, F. C., 1929. A revision of the Fissiliabiodes (Cordulegastridae, Petaliidae and Petaluridae) , I. Mem. Indian Mus., 9 : 69-167.
- Fraser, F. C., 1933. A revision of the Fissiliabiodea (Cordulegastridae, Petaliidae and Petaluridae) , II. Mem. Indian Mus., 9 : 205-206.
- Fraser, F. C., 1940. A new species of *Chlorogomphus* (oder Odonata) . Proc. R. ent. Soc. Lond., (B) 9 : 55-56.
- Klots, E. B., 1947. Chinese dragonflies (Odonata) in the Amer. Mus. Nat. History Amer. Mus. Novit., 1341 : 1-13.
- Lieftinck, M. A., 1954. Handlist of Malaysian Odonata. Treubia, 22 (Suppl.) : xiii + 1-202.
- Lieftinck, M. A., 1960. On the identity of some little known Southeast Asiatic Odonata in European museums described by E. DE Selys Longchamps. memorie Soc. ent. ital., 38 : 229-256.
- Martin, R., 1910. Un nouveau *Chlorogomphus* Selys. Bull. Soc. ent. Fr., 1910 : 65-66.
- Navas, R. R. L., 1936. Nevropteres et insectes voisins. Chine et pays environnants. Neuvieme serie. Notes ent. chin., 3 (4) : 37-62.
- Needham, J. G., 1930. Manual of the dragonflies of China. Zool. Sinica (A) 11 : 1-399.
- Ris, F., 1927. Ein neuer *Chlorogomphus* aus China (Odon) , Ent. Mitt. 16 (2) : 103-105.
- Selys, L., 1854. Syn. des Gomphines. Bull. Acad. Belg. Tom., 21 (2) : 23-112. Apart. Brux. 8. (93 pag.)
- Selys, L., 1857. Mon. Gomphophines (Selys et Hagen) . Men. Soc. de Liege, 11 : 257-720.
- Selys, L., 1873. Appendice aux troisiemes additons et liste des Gomphines, decrites dans les synopsis et ses trois additions. Bull. Acad. r. Belg., (2) 36 : 492-531 (sep.47-87) .
- Selys, L., 1878. Quatriemes additions au synopsis des Gomphines. Bull. Acad. r. Belg., 2 (46) : 408-471, 658-698 (sep. 3-106) .
- Selys, L., 1891. Viaggio de Leonardo Fea in Birmania e regioni vicine xxxii. Odonates. Annali. Mus. civ. Stor. nat., Genova 30= (2) 10 : 433-518.
- St. Quentin, D., 1936. Liberren aus dem disstrikt Dargeering nebst beschreibun gernerneuen *Chlorogomphus*. Art. Konowia, 15 : 102-105.
- Williamson, E. B., 1907. The doragonflies (Odonata) of Burma and lower Siam. 2. Subfamilies Corduleastrinae, Chlorogomphinae, and Gomphinae. Proc. U. S. nat. Mus., 33 (1571) : 267-317.

お知らせ:

神奈川県立博物館の自然部門は1995年1月1日をもって小田原市入生田に移転し、条例上の名称は神奈川県立生命の星・地球博物館になりました。原稿が受理されたのは1994年9月なので、本文中の所属は神奈川県立博物館と表記されています。

Announcement: As of Jan. 1, 1995, Natural History Department of Kanagawa Prefectural Museum moved to 499 Iryuda, Odawara, Kanagawa and its new official name is Kanagawa Prefectural Museum of Natural History.

神奈川県立博物館研究報告（自然科学）24号

平成7年3月25日 印刷

平成7年3月28日 発行

発行者 神奈川県立生命の星・地球博物館

館長 濱田 隆士

〒250 神奈川県小田原市入生田499

電話 (0465)21-1515

FAX (0465)23-8846

印刷所 有限会社 藤尾印刷所

編集担当：木場英久

**BULLETIN OF
THE KANAGAWA
PREFECT. MUSEUM
Natural Science No.24**

KANAGAWA PREFECTURAL MUSEUM OF NATURAL HISTORY
Odawara Kanagawa JAPAN
Mar. 1995